



TECHNISCHE
UNIVERSITÄT
WIEN
Vienna University of Technology

BACHELORARBEIT

**Stabile Implementierung
von HILBERT S2P1**

Ausgeführt am Institut für
Analysis und Scientific Computing
der Technischen Universität Wien

unter der Anleitung von
Ao.Univ.Prof. Dipl.Math. Dr. techn. Dirk Praetorius
Dr. techn. Thomas Führer
Dipl. Ing. Gregor Gantner

durch
Juliana Kainz
e1127254@student.tuwien.ac.at
Worathweg 22
4040 Linz

Inhaltsverzeichnis

1	Einleitung	4
2	Berechnung bestimmter Doppelintegrale mittels	
	Quadratur	5
2.1	Interpolation	6
2.2	Gauß-Quadratur	7
2.3	Berechnung bestimmter Doppelintegrale mittels Quadratur	9
2.4	Approximierende Matrix	19
	2.4.1 Berechnung mit max-min-Kriterium	19
	2.4.2 Berechnung mit min-Kriterium	21
3	Lösungsverfahren und numerische Beispiele	22
3.1	Problemstellung und Lösungsansatz	22
	3.1.1 Randelementmethode	22
	3.1.2 Galerkin-Verfahren	23
	3.1.3 Indirekte Randintegralmethode	28
	3.1.4 Fehlerschätzer	29
	3.1.5 Netzverfeinerung	30
	3.1.6 Lösungsalgorithmus	31
	3.1.7 Adaptiver Algorithmus	31
3.2	Numerische Beispiele	32
	3.2.1 Indirekte Randintegralmethode auf dem Schlitz	33
	3.2.2 Indirekte Randintegralmethode auf dem L-Shape	36
	3.2.3 Indirekte Randintegralmethode auf der Z-Shape	37
4	Vergleich der Implementierungen	42
4.1	Implementierung des V-Operators	43
	4.1.1 mexFunction	44
	4.1.2 computeVP1	45
	4.1.3 computeVij	46
	4.1.4 computeWij	47
	4.1.5 computeWijAnalytic	47
	4.1.6 computeWijSemianalytic	48
	4.1.7 computeWijFullQuadrature	49
	4.1.8 computeVP1P1ij	50
	4.1.9 computeVP1P1ijAnalytic	51
	4.1.10 computeVP1P1ijSemiAnalytic	52
	4.1.11 computeVP1P1ijFullQuadrature	53
	4.1.12 slp	54
	4.1.13 slpIterative	54
	4.1.14 doubleSlp	56
4.2	Implementierung des K-Operators	58
	4.2.1 mexFunction	60
	4.2.2 computeKP1S2	61

4.2.3	computeKij	63
4.2.4	computeKijAnalytic	63
4.2.5	computeKijSwappedAnalytic	65
4.2.6	computeKijSemianalytic	66
4.2.7	computeKijSwappedSemianalytic	67
4.2.8	computeKijFullQuadrature	68
4.2.9	computeKP1S2ij	69
4.2.10	computeKP1S2ijAnalytic	70
4.2.11	computeKP1S2ijSemianalytic	71
4.2.12	computeKP1S2ijFullQuadrature	73
4.2.13	dlp	75
4.2.14	doubleDlp	76
4.2.15	doubleDlpSwapped	77

Literatur

1 Einleitung

In dieser Arbeit beschäftigen wir uns mit der Randelementmethode zur Lösung der homogenen Laplace-Gleichung mit Dirichlet-Randbedingungen

$$\begin{aligned} -\Delta u &= 0 & \text{in } \Omega \subset \mathbb{R}^2 \\ u &= g & \text{auf } \Gamma := \partial\Omega, \end{aligned}$$

wobei $\Delta u := \partial_{x_1}^2 u + \partial_{x_2}^2 u$ den Laplace-Operator bezeichnet und $\Omega \subset \mathbb{R}^2$ eine beschränkte Teilmenge von \mathbb{R}^2 mit polygonalem Rand Γ ist.

Im Rahmen der Berechnung zerlegen wir den Rand in affine Randstücke $T_j = [\mathbf{a}, \mathbf{b}]$ wobei $\mathbf{a}, \mathbf{b} \in \mathbb{R}^2$ Punkte in der Ebene sind und $[\mathbf{a}, \mathbf{b}]$ die konvexe Hülle der Punkte \mathbf{a}, \mathbf{b} bezeichnet. Für solche affinen Randstücke beschäftigen wir uns in Abschnitt 2 mit der Approximation von Integralen der Form

$$A_{jk}^{(\ell m)} = \int_{T_j} \int_{T_k} \kappa(\mathbf{x}, \mathbf{y}) \zeta_j^\ell(\mathbf{x}) \zeta_k^m(\mathbf{y}) ds_{\mathbf{y}} ds_{\mathbf{x}} \quad (1.1)$$

für Polynome $\zeta_j^\ell(\mathbf{x}), \zeta_k^m(\mathbf{y})$ vom Grad $\ell, m \in \mathbb{N}_0$ mit Träger auf den affinen Randstücken T_j, T_k . Für die Kernfunktion κ interessieren uns dabei Funktionen mit Singularitäten auf der Diagonalen, also für $\mathbf{x} = \mathbf{y}$. Im Speziellen werden wir die in Abschnitt 2 bewiesenen Resultate auf die Funktionen $\log|\mathbf{x} - \mathbf{y}|$ und $(\mathbf{y} - \mathbf{x})/|\mathbf{x} - \mathbf{y}|^2$ anwenden. Um das Doppelintegral aus (1.1) zu berechnen beschäftigen wir uns mit zwei unterschiedlichen Approximationsvarianten. Eine Möglichkeit ist, nur das äußere Integral über das kürzere der beiden Randstücke T_j, T_k durch Quadratur zu ersetzen. Alternativ können auch beide Integrale durch Quadratur ersetzt werden. Unter Voraussetzung bestimmter Zulässigkeitsbedingungen können wir zeigen, dass der angenäherte Wert bezüglich des gewählten Quadraturgrades exponentiell schnell gegen das exakte Integral konvergiert. Danach betrachten wir die Matrix $\mathbf{A}^{(\ell m)} \in \mathbb{R}^{n \times n}$ deren Einträge durch (1.1) festgelegt sind. Diese Matrix kann zum einen durch das *max-min-Kriterium* und zum anderen durch das *min-Kriterium* approximiert werden. Die Kriterien werden später genauer definiert. Im Prinzip sagen sie aus, dass in Abhängigkeit davon, welche Zulässigkeitsbedingungen gefordert werden, die Einträge $\mathbf{A}_{jk}^{(\ell m)}$ exakt oder approximativ berechnet werden. Dabei wird beim min-Kriterium maximal ein Integral durch Quadratur ersetzt, wohingegen beim max-min-Kriterium auch beide Integrale approximativ berechnet werden können. Für beide Kriterien zeigen wir, dass die approximativ berechnete Matrix $\mathbf{A}_p^{(\ell m)}$ bezüglich der Frobenius Norm für wachsenden Quadraturgrad exponentiell schnell gegen die exakte Matrix $\mathbf{A}^{(\ell m)}$ konvergiert.

In Abschnitt 3 erklären wir die Randelementmethode für die homogene Laplace-Gleichung mit Dirichlet-Randbedingungen. Hierfür gibt es zwei Möglichkeiten, die exakte Lösung zu berechnen. Eine Variante ist der direkte Ansatz über die Repräsentationsformel, die andere Möglichkeit ist die sogenannte indirekte Randintegralmethode. Um approximativ zu lösen, verwenden wir für beide Methoden das Galerkin-Verfahren. Im Zuge dieses numerischen Verfahrens müssen wir bestimmte Matrizen aufbauen, wozu wir die in Abschnitt 2 bewiesenen Resultate anwenden. Anschließend erklären wir noch einen Algorithmus, um ein vorgegebenes Startnetz adaptiv zu verfeinern und somit den Approximationsfehler zu optimieren. Anhand verschiedener numerischer Beispiele untersuchen wir dann die Verbesserungen, die eine Berechnung der benötigten Matrizen mittels max-min-Kriterium im Vergleich zum min-Kriterium bringt.

Zuletzt möchten wir noch in Abschnitt 4 auf die genaue Implementierung der benötigten Matrizen eingehen.

2 Berechnung bestimmter Doppelintegrale mittels Quadratur

Ziel dieses Abschnitts ist die Approximation des Integrals

$$A_{jk}^{(\ell m)} = \int_{T_j} \int_{T_k} \kappa(\mathbf{x}, \mathbf{y}) \zeta_j^\ell(\mathbf{x}) \zeta_k^m(\mathbf{y}) ds_{\mathbf{y}} ds_{\mathbf{x}} \quad (2.1)$$

für Polynome $\zeta_j^\ell(\mathbf{x})$, $\zeta_k^m(\mathbf{y})$ vom Grad $\ell, m \in \mathbb{N}_0$ auf den affinen Randstücken T_j, T_k . Dabei werden jedoch gewisse Bedingungen an T_j, T_k und den Integranden $\kappa : \mathbb{R}^2 \times \mathbb{R}^2 \rightarrow \mathbb{R}$ vorausgesetzt. Zur Approximation gibt es mehrere Möglichkeiten. Eine Variante ist, nur das äußere Integral durch Gauß-Quadratur zu ersetzen, im Gegensatz zur zweiten Variante, bei der beide Integrale durch Quadratur ersetzt werden. In diesem Abschnitt möchten wir zeigen, dass unter den erwähnten Voraussetzungen die exponentielle Konvergenz des Approximationsfehlers garantiert wird.

Bevor wir uns jedoch der Berechnung von konkreten Doppelintegralen mittels Quadratur widmen, möchten wir noch einige grundlegende Begriffe definieren, die wir in dieser Arbeit benötigen. Da im wesentlichen über zwei Strecken in der euklidischen Ebene integriert wird, möchten wir zunächst diesen Begriff genau definieren:

Definition 2.1. Seien $\mathbf{a}, \mathbf{b} \in \mathbb{R}^2$ mit $\mathbf{a} \neq \mathbf{b}$. Dann heißt

$$T := [\mathbf{a}, \mathbf{b}] := \left\{ \frac{1}{2}(\mathbf{a} + \mathbf{b} + \lambda(\mathbf{b} - \mathbf{a})) : \lambda \in [-1, 1] \right\}$$

affines Randstück von \mathbf{a} und \mathbf{b} .

Im folgenden werden wir auch oft eine Parametrisierung eines affinen Randstücks brauchen. Die obige Definition legt für eine solche Parametrisierung schon eine Möglichkeit fest. Da wir im späteren Verlauf dieser Arbeit bestimmte Doppelintegrale betrachten, bei denen eine Funktion über zwei (meistens ungleiche) affine Randstücke integriert wird, möchten wir auch noch die gekoppelte Parametrisierung definieren.

Definition 2.2. Seien $\mathbf{a}_j, \mathbf{b}_j, \mathbf{a}_k, \mathbf{b}_k \in \mathbb{R}^2$ mit $\mathbf{a}_j \neq \mathbf{b}_j$ und $\mathbf{a}_k \neq \mathbf{b}_k$. Seien weiters $T_j = [\mathbf{a}_j, \mathbf{b}_j]$, $T_k = [\mathbf{a}_k, \mathbf{b}_k]$ zwei affine Randstücke. Für das affine Randstück T_j sei die zugehörige Parametrisierung γ_j festgelegt durch

$$\gamma_j : [-1, 1] \rightarrow T_j : \lambda \mapsto \frac{1}{2}(\mathbf{a}_j + \mathbf{b}_j + \lambda(\mathbf{b}_j - \mathbf{a}_j)).$$

Analog definiert man γ_k als Parametrisierung für T_k . Auf $T_j \times T_k$ sei die gekoppelte Parametrisierung definiert durch

$$\gamma_{jk} : [-1, 1]^2 \rightarrow T_j \times T_k : (x, y) \mapsto (\gamma_j(x), \gamma_k(y)).$$

Im folgenden verwenden wir manchmal den Abstand zwischen zwei Punkten im \mathbb{R}^2 . Dieser Abstand ist durch die euklidische Norm gegeben, für welche wir nur $|\cdot|$ schreiben. Für unsere Berechnung brauchen wir auch den Durchmesser bzw. die Länge eines affinen Randstücks und den Abstand zwischen zwei Randstücken.

Definition 2.3. Seien $\mathbf{a}_j, \mathbf{b}_j, \mathbf{a}_k, \mathbf{b}_k \in \mathbb{R}^2$ mit $\mathbf{a}_j \neq \mathbf{b}_j$ und $\mathbf{a}_k \neq \mathbf{b}_k$. Seien weiters $T_j = [\mathbf{a}_j, \mathbf{b}_j]$, $T_k = [\mathbf{a}_k, \mathbf{b}_k]$ zwei affine Randstücke. Der Durchmesser bzw. die Länge von T_j sei gegeben durch

$$\text{diam}(T_j) = |\mathbf{b}_j - \mathbf{a}_j|.$$

Der Abstand zwischen T_j und T_k sei definiert durch

$$\text{dist}(T_j, T_k) := \min \{|\mathbf{x} - \mathbf{y}| : \mathbf{x} \in T_j, \mathbf{y} \in T_k\}.$$

2.1 Interpolation

In diesem Abschnitt möchten wir die Chebyshev-Interpolation auf einem Intervall $[-1, 1]$ definieren.

Definition 2.4. Seien $z_0, \dots, z_p \in [-1, 1]$ paarweise verschiedene Knoten und y_0, \dots, y_p die zugehörigen Funktionswerte. Die Lagrange'sche Interpolationsaufgabe lautet dann folgendermaßen: Finde ein Polynom q vom Grad p sodass

$$q(z_i) = y_i \quad \text{für alle } i = 0, \dots, p.$$

Die Lagrange-Polynome zu den Knoten $z_0, \dots, z_p \in [-1, 1]$ seien definiert durch

$$L_j(x) = \prod_{\substack{i=0 \\ i \neq j}}^p \frac{x - z_i}{z_j - z_i}.$$

In [4, Theorem 1.6] ist gezeigt, dass die Lagrange'sche Interpolationsaufgabe eine eindeutige Lösung hat, die durch

$$q = \sum_{j=0}^p y_j L_j$$

gegeben ist. Für eine Funktion $u : [-1, 1] \rightarrow \mathbb{R}$ können wir nun den Interpolationsoperator \mathcal{I}_p definieren:

$$\mathcal{I}_p u := \sum_{j=0}^p u(z_j) L_j.$$

Außerdem sei die Lebesgue-Konstante gegeben durch

$$\Lambda_p := \max_{x \in [-1, 1]} \sum_{j=0}^p |L_j(x)|.$$

Bemerkung 2.5. Wie man leicht sieht, ist der Interpolationsoperator ein linearer Operator.

Da wir im späteren Verlauf dieser Arbeit immer wieder den Interpolationsfehler betrachten werden, möchten wir die Wahl der Knoten z_0, \dots, z_p dahingehend optimieren, dass

der Interpolationsfehler minimal wird. Hierzu betrachten wir folgende einfache Fehlerabschätzung aus [4, Theorem 1.17] für $u \in \mathcal{C}^{p+1}([-1, 1])$:

$$\|u - \mathcal{I}_p u\|_{L^\infty([-1, 1])} \leq \max_{x \in [-1, 1]} \left| \prod_{j=0}^p (x - z_j) \right| \frac{\|u^{(p+1)}\|_{L^\infty([-1, 1])}}{(p+1)!}.$$

Diese Abschätzung wird laut [4, Theorem 1.24] möglichst scharf, wenn wir als Knoten genau die sogenannten *Chebyshev-Knoten* wählen. Diese sind definiert als die Nullstellen des $(p+1)$ -ten Chebyshev-Polynoms und haben folgende Gestalt

$$z_j = \cos\left(\frac{2j+1}{p} \frac{\pi}{2}\right) \quad \text{für } j = 0, \dots, p.$$

Es gilt dann

$$\max_{x \in [-1, 1]} \left| \prod_{j=0}^p (x - z_j) \right| = 2^{-p}.$$

Falls nicht anders definiert, meinen wir im folgenden mit \mathcal{I}_p immer den Chebyshev-Interpolationsoperator.

Da wir später Funktionen in zwei Variablen betrachten, benötigen wir auch die komponentenweise Interpolation bzw. Interpolation nach zwei Variablen.

Definition 2.6. Sei $f : [-1, 1]^2 \rightarrow \mathbb{R}$, $(x, y) \mapsto f(x, y)$ eine stetige Funktion und $(z_\ell)_{\ell=0}^p$ Knoten in $[-1, 1]$. Dann sei die komponentenweise Interpolation $\mathcal{I}_{p,x}$ und $\mathcal{I}_{p,y}$ definiert durch

$$\begin{aligned} (\mathcal{I}_{p,x} f)(x, y) &:= \sum_{j=0}^p f(z_j, y) L_j(x) \\ (\mathcal{I}_{p,y} f)(x, y) &:= \sum_{\ell=0}^p f(x, z_\ell) L_\ell(y). \end{aligned}$$

Für die Interpolation nach beiden Variablen sei \mathcal{I}_p definiert durch:

$$\begin{aligned} (\mathcal{I}_p f)(x, y) &:= \sum_{j=0}^p \sum_{\ell=0}^p f(z_j, z_\ell) L_j(x) L_\ell(y) \\ &= (\mathcal{I}_{p,x} \mathcal{I}_{p,y} f)(x, y) \\ &= (\mathcal{I}_{p,y} \mathcal{I}_{p,x} f)(x, y). \end{aligned}$$

Bemerkung 2.7. Auch bei der komponentenweise Interpolation beziehungsweise der Interpolation nach mehreren Variablen wählen wir, wenn nicht anders definiert, Chebyshev-Knoten.

2.2 Gauß-Quadratur

Für die Annäherung der Integrale aus (2.1) möchten wir die Gauß-Quadratur verwenden.

Definition 2.8. Für Knoten $z_0, \dots, z_p \in [-1, 1]$ und Gewichte $\omega_0, \dots, \omega_p \in \mathbb{R}$ versteht man unter einer Quadratur der Länge p die Approximation des Integrals

$$\int_{-1}^1 f(x)\omega(x) dx$$

durch

$$Q_p(f) := \sum_{k=0}^p \omega_k f(z_k).$$

Für diese Arbeit benötigen wir nur die klassische Gauß-Quadratur, bei welcher zusätzlich $\omega \equiv 1$ vorausgesetzt ist und die Knoten z_k und Gewichte ω_k auf eine bestimmte Art gewählt werden (für Details siehe [4, Abschnitt 6.8]). Eine Quadratur sei exakt für eine Funktion f , falls $Q_p(f) = \int_{-1}^1 f(x) dx$. Eine Quadratur hat Exaktheitsgrad m falls sie für alle Polynome vom Grad m exakt ist. Falls für alle $f \in \mathcal{C}([-1, 1])$ gilt

$$Q_p(f) = \int_{-1}^1 q(x) dx,$$

wobei q das Interpolationspolynom von f vom Grad p zu den Knoten z_0, \dots, z_p ist, so nennt man die Quadratur interpolatorisch.

Bemerkung 2.9. Die Gauß-Quadratur der Länge $p \geq 0$ ist interpolatorisch und exakt vom Grad $2p + 1$ (siehe [4, Korollar 6.38], wobei jedoch beachtet werden muss, dass dort in der Quadraturformel die Summation bei 1 beginnt anstatt bei 0).

Wie bei der Interpolation möchten wir auch hier auf die zweidimensionale Quadratur eingehen.

Definition 2.10. Sei $f : [-1, 1]^2 \rightarrow \mathbb{R}$, $(x, y) \mapsto f(x, y)$ eine stetige Funktion. Zur Approximation von

$$\int_{-1}^1 \int_{-1}^1 f(x, y) dx dy$$

sei die komponentenweise Quadratur $Q_{p,x}$ der Länge p definiert durch

$$\begin{aligned} Q_{p,x}(f) &:= \int_{-1}^1 \sum_{k=0}^p \omega_k f(z_k, y) dy \\ &= \sum_{k=0}^p \omega_k \int_{-1}^1 f(z_k, y) dy. \end{aligned}$$

Analog definiert man $Q_{p,y}$. Zur approximativen Berechnung beider Integrale sei die zweidimensionale Quadratur Q_p der Länge p definiert durch

$$Q_p(f) := \sum_{k=0}^p \sum_{\ell=0}^p \omega_k \omega_\ell f(z_k, z_\ell).$$

Bemerkung 2.11. Die zweidimensionale Quadratur ist im Prinzip nichts anderes als die Hintereinanderausführung von zwei Quadraturformeln. Das heißt, es gilt

$$\int_{-1}^1 \int_{-1}^1 f(x, y) dx dy \approx \int_{-1}^1 \sum_{k=0}^p \omega_k f(z_k, y) dy \approx \sum_{k=0}^p \sum_{\ell=0}^p \omega_k \omega_\ell f(z_k, z_\ell).$$

2.3 Berechnung bestimmter Doppelintegrale mittels Quadratur

Bevor wir die exponentielle Konvergenz der mit Quadratur angenäherten Doppelintegrale zeigen können, benötigen wir noch einige Definitionen.

Definition 2.12. Seien T_j, T_k affine Randstücke und sei $\eta > 0$. Dann heißt das Paar (T_j, T_k) η -min-zulässig, genau dann wenn

$$\eta \operatorname{dist}(T_j, T_k) \geq \min\{\operatorname{diam}(T_j), \operatorname{diam}(T_k)\}. \quad (2.2)$$

Das Paar (T_j, T_k) heißt η -max-zulässig, genau dann wenn

$$\eta \operatorname{dist}(T_j, T_k) \geq \max\{\operatorname{diam}(T_j), \operatorname{diam}(T_k)\}. \quad (2.3)$$

Falls weder (2.2) noch (2.3) gelten, so heißt das Paar (T_j, T_k) η -unzulässig.

In folgender Bemerkung möchten wir kurz erläutern, warum wir die Doppelintegrale approximativ und nicht exakt berechnen.

Bemerkung 2.13. Im Rahmen der Randelementmethode mit Galerkinverfahren ist es notwendig, die sogenannte Steifigkeitsmatrix zu berechnen. Die Einträge dieser Matrix für stückweise konstante Ansatzfunktionen sind durch

$$A_{jk} := \int_{T_j} \int_{T_k} \log |\mathbf{x} - \mathbf{y}| \, ds_{\mathbf{y}} \, ds_{\mathbf{x}} \quad (2.4)$$

definiert. Anstatt die exakte Matrix zu berechnen, wird mittels Quadratur eine Annäherung A_p berechnet. Auf diese Art und Weise können Auslöschungseffekte vermieden werden, die vor allem für kurze Randstücke auftreten. Betrachten wir als Beispiel die „Stammfunktion“ des Integranden von (2.4) für $T_k = [\mathbf{a}_k, \mathbf{b}_k]$

$$F_{\mathbf{x}}(\mathbf{z}) := \int_{[\mathbf{a}_k, \mathbf{z}]} \log |\mathbf{x} - \mathbf{y}| \, ds_{\mathbf{y}}$$

für $\mathbf{x} \in \mathbb{R}^2$ fest. Offensichtlich ist die Stammfunktion für $\mathbf{z} \neq \mathbf{x}$ stetig. Als Folge davon gilt für T_k mit $\operatorname{diam}(T_k)$ klein allerdings $F_{\mathbf{x}}(\mathbf{a}_k) \approx F_{\mathbf{x}}(\mathbf{b}_k)$. Daher treten für die Berechnung

$$F_{\mathbf{x}}(\mathbf{b}_k) - F_{\mathbf{x}}(\mathbf{a}_k) = \int_{T_k} \log |\mathbf{x} - \mathbf{y}| \, ds_{\mathbf{y}}$$

starke Auslöschungseffekte auf, welche schlussendlich die Berechnung verfälschen würden. Praktisch können wir beobachten, dass eigentlich die Berechnung der Integrale mittels Gauß-Quadratur für η -min-zulässige bzw. η -max-zulässige Randstücke genauer ist, als die exakte Berechnung. Das liegt daran, dass bei der Gauß-Quadratur die Funktion $F_{\mathbf{x}}$ mehrmals ausgewertet und mit positiven Quadraturgewichten multipliziert wird. In der Praxis erreicht man laut [1, Bemerkung 3.14] durch Skalierung des Integrationsbereichs, dass die ausgewerteten Funktionswerte immer dasselbe Vorzeichen haben. Dadurch dass bei der Gauß-Quadratur also nur Werte mit gleichem Vorzeichen addiert werden, können Auslöschungseffekte vermieden werden.

Auch auf das Doppelintegral aus (2.4) trifft diese Argumentation zu. Die Berechnung des Doppelintegrals lässt sich nach [10] auf mehrere Auswertungen des inneren Integrals zurückführen. Aus diesem Grund ist es aus numerischer Sicht am besten, zuerst über das längere der beiden Randstücke zu integrieren, was aufgrund der Vertauschbarkeit der Integrale erlaubt ist. So wird die Operation, die stärker auslöschungsbehaftet ist, an das Ende des Algorithmus gestellt.

Bei der Betrachtung der Doppelintegrale sind besonders Integranden mit einer Singularität auf der Diagonalen interessant, die auf dem restlichen Definitionsbereich glatt sind. Nichtsdestotrotz möchten wir eine Abschätzung für die partiellen Ableitungen der Funktion erhalten. Hierzu ist folgende Definition nützlich.

Definition 2.14. Für einen Multiindex $\alpha \in \mathbb{N}_0^2$ mit $\alpha = (\alpha_1, \alpha_2)$ sei $|\alpha| := \alpha_1 + \alpha_2$ und $\alpha! := \alpha_1! \alpha_2!$.

Dann heißt die Kern-Funktion $\kappa(\mathbf{x}, \mathbf{y})$ asymptotisch glatt, falls $\kappa \in C^\infty(\mathbb{R}^2 \times \mathbb{R}^2 \setminus \{(\mathbf{x}, \mathbf{y}) \in \mathbb{R}^2 \times \mathbb{R}^2 : \mathbf{x} = \mathbf{y}\})$ und Konstanten $c_1, c_2 > 0$ und eine Ordnung der Singularität $s \geq 0$ existieren, sodass

$$|\partial_{\mathbf{x}}^\alpha \partial_{\mathbf{y}}^\beta \kappa(\mathbf{x}, \mathbf{y})| \leq c_1 (c_2 |\mathbf{x} - \mathbf{y}|)^{-(|\alpha|+|\beta|+s)} (\alpha + \beta)! \quad (2.5)$$

für alle Multiindizes $\alpha, \beta \in \mathbb{N}_0^2$ mit $|\alpha| + |\beta| \geq 1$ gilt. Dabei sei

$$\partial_{\mathbf{x}}^\alpha \partial_{\mathbf{y}}^\beta \kappa(\mathbf{x}, \mathbf{y}) := \partial_{x_1}^{\alpha_1} \partial_{x_2}^{\alpha_2} \partial_{y_1}^{\beta_1} \partial_{y_2}^{\beta_2} \kappa(\mathbf{x}, \mathbf{y}).$$

Ein wesentliches Argument für die exponentielle Konvergenz des Approximationsfehlers ist folgendes Lemma [2, Theorem 3.2], mit welchem wir später zeigen werden, dass asymptotisch glatte Kernfunktionen besonders gut durch Polynominterpolation angenähert werden können. Dabei sei \mathcal{I}_p der d -dimensionale Chebyshev-Interpolationsoperator analog wie in Definition 2.6 erklärt.

Lemma 2.15 (Interpolationsfehler). Sei $B \subseteq \mathbb{R}^d$ ein achsenparalleler Quader mit

$$B = I_1 \times \dots \times I_d$$

wobei $(I_j)_{j=1}^d$ kompakte Intervalle sind. Sei $u \in C^\infty(B)$ so, dass es Konstanten $C_u, \gamma_u \geq 0$ gibt mit

$$\|\partial_j^n u\|_{L^\infty(B)} \leq C_u \gamma_u^n n! \quad (2.6)$$

für alle $j \in \{1, \dots, d\}$ und $n \in \mathbb{N}_0$. Dann erhalten wir für $p \in \mathbb{N}$

$$\|u - \mathcal{I}_p u\|_{L^\infty(B)} \leq 8ed \Lambda_p^d C_u (1 + \gamma_u \text{diam}(B)) (p+1) \left(1 + \frac{2}{\gamma_u \text{diam}(B)}\right)^{-(p+1)}.$$

Später möchten wir Lemma 2.15 auf eine Funktion $u := \kappa_{jk} := \kappa \circ \gamma_{jk}$ anwenden, wobei κ eine asymptotisch glatte Kernfunktion ist und γ_{jk} die gekoppelte Parametrisierung der affinen Randstücke T_j, T_k . Um die Voraussetzung (2.6) für κ_{jk} zu zeigen, müssen wir unter anderem die Ausdrücke $\partial_x^n \kappa_{jk}(x, y)$ und $\partial_y^n \kappa_{jk}(x, y)$ berechnen und danach geeignet abschätzen. In folgendem Lemma geben wir nicht nur die genaue Darstellung von $\partial_x^n \kappa_{jk}(x, y)$ und $\partial_y^n \kappa_{jk}(x, y)$ an, wir finden auch eine erste Abschätzung.

Lemma 2.16. Seien $\mathbf{a}_j, \mathbf{b}_j, \mathbf{a}_k, \mathbf{b}_k \in \mathbb{R}^2$ mit $\mathbf{a}_j \neq \mathbf{b}_j$ und $\mathbf{a}_k \neq \mathbf{b}_k$. Seien weiters $T_j = [\mathbf{a}_j, \mathbf{b}_j]$, $T_k = [\mathbf{a}_k, \mathbf{b}_k]$ zwei affine Randstücke mit $T_j \cap T_k = \emptyset$, zugehöriger Parametrisierungen γ_j, γ_k und gekoppelter Parametrisierung γ_{jk} . Darüber hinaus sei $\kappa : \mathbb{R}^2 \times \mathbb{R}^2 \rightarrow \mathbb{R} : (\mathbf{x}, \mathbf{y}) \mapsto \kappa(\mathbf{x}, \mathbf{y})$ eine asymptotisch glatte Kernfunktion mit Konstanten c_1, c_2, s . Bezeichne $\kappa_{jk} := \kappa \circ \gamma_{jk}$. Für $r_1, \dots, r_n \in \{x_1, x_2\}$ sei die Anzahl, der $r_k, k = 1, \dots, n$ welche x_i für

$i = 1, 2$ annehmen, definiert durch $N_{x_i} := |\{r_k : r_k = x_i, k = 1, \dots, n\}|$. Analog sei N_{y_i} definiert. Dann gilt

$$\begin{aligned} \partial_x^n \kappa_{jk}(x, y) &= \sum_{r_1, \dots, r_n \in \{x_1, x_2\}} ((\partial_{r_1} \cdots \partial_{r_n} \kappa) \circ \gamma_{jk})(x, y) \left(\frac{1}{2}[\mathbf{b}_j - \mathbf{a}_j]_1\right)^{N_{x_1}} \left(\frac{1}{2}[\mathbf{b}_j - \mathbf{a}_j]_2\right)^{N_{x_2}} \\ &\leq c_1(c_2 |\gamma_j(x) - \gamma_k(y)|)^{-(n+s)} n! \text{diam}(T_j)^n \end{aligned} \quad (2.7)$$

beziehungsweise

$$\begin{aligned} \partial_y^n \kappa_{jk}(x, y) &= \sum_{r_1, \dots, r_n \in \{y_1, y_2\}} ((\partial_{r_1} \cdots \partial_{r_n} \kappa) \circ \gamma_{jk})(x, y) \left(\frac{1}{2}[\mathbf{b}_k - \mathbf{a}_k]_1\right)^{N_{y_1}} \left(\frac{1}{2}[\mathbf{b}_k - \mathbf{a}_k]_2\right)^{N_{y_2}} \\ &\leq c_1(c_2 |\gamma_j(x) - \gamma_k(y)|)^{-(n+s)} n! \text{diam}(T_k)^n. \end{aligned} \quad (2.8)$$

Dabei ist $[\cdot]_i$ der i -te Eintrag eines Vektors.

Beweis. Wir zeigen zuerst für $\partial_x^n \kappa_{jk}(x, y)$ die erste Gleichheit aus (2.7) mittels Induktion. Für $n = 1$ gilt also

$$\begin{aligned} \partial_x \kappa_{jk}(x, y) &= \partial_x (\kappa \circ \gamma_{jk})(x, y) \\ &= ((D\kappa) \circ \gamma_{jk})(x, y) \cdot (\partial_x \gamma_{jk})(x, y) \\ &= ((\partial_{x_1} \kappa, \partial_{x_2} \kappa, \partial_{y_1} \kappa, \partial_{y_2} \kappa) \circ \gamma_{jk})(x, y) \cdot \left(\frac{1}{2}[\mathbf{b}_j - \mathbf{a}_j]_1, \frac{1}{2}[\mathbf{b}_j - \mathbf{a}_j]_2, 0, 0\right)^T \\ &= ((\partial_{x_1} \kappa) \circ \gamma_{jk})(x, y) \frac{1}{2}[\mathbf{b}_j - \mathbf{a}_j]_1 + ((\partial_{x_2} \kappa) \circ \gamma_{jk})(x, y) \frac{1}{2}[\mathbf{b}_j - \mathbf{a}_j]_2. \end{aligned}$$

Somit ist der Induktionsanfang gezeigt. Die Induktionsvoraussetzung (IV) besagt dann, dass

$$\begin{aligned} &\partial_x^n \kappa_{jk}(x, y) \\ &= \sum_{r_1, \dots, r_n \in \{x_1, x_2\}} ((\partial_{r_1} \cdots \partial_{r_n} \kappa) \circ \gamma_{jk})(x, y) \left(\frac{1}{2}[\mathbf{b}_j - \mathbf{a}_j]_1\right)^{N_{x_1}} \left(\frac{1}{2}[\mathbf{b}_j - \mathbf{a}_j]_2\right)^{N_{x_2}} \end{aligned} \quad (2.9)$$

bereits für n gilt. Wir zeigen nun (2.9) für $n + 1$. Mit der mehrdimensionalen Kettenregel

folgt

$$\begin{aligned}
& \partial_x^{n+1} \kappa_{jk}(x, y) = \partial_x(\partial_x \kappa_{jk})(x, y) \\
\stackrel{(IV)}{=} & \partial_x \left(\sum_{r_1, \dots, r_n \in \{x_1, x_2\}} ((\partial_{r_1} \cdots \partial_{r_n} \kappa) \circ \gamma_{jk})(x, y) \left(\frac{1}{2}[\mathbf{b}_j - \mathbf{a}_j]_1\right)^{N_{x_1}} \left(\frac{1}{2}[\mathbf{b}_j - \mathbf{a}_j]_2\right)^{N_{x_2}} \right) \\
= & \sum_{r_1, \dots, r_n \in \{x_1, x_2\}} \partial_x((\partial_{r_1} \cdots \partial_{r_n} \kappa) \circ \gamma_{jk})(x, y) \left(\frac{1}{2}[\mathbf{b}_j - \mathbf{a}_j]_1\right)^{N_{x_1}} \left(\frac{1}{2}[\mathbf{b}_j - \mathbf{a}_j]_2\right)^{N_{x_2}} \\
= & \sum_{r_1, \dots, r_n \in \{x_1, x_2\}} ((D(\partial_{r_1} \cdots \partial_{r_n} \kappa)) \circ \gamma_{jk})(x, y) \cdot \left(\frac{1}{2}[\mathbf{b}_j - \mathbf{a}_j]_1, \frac{1}{2}[\mathbf{b}_j - \mathbf{a}_j]_2, 0, 0\right)^T \\
& \left(\frac{1}{2}[\mathbf{b}_j - \mathbf{a}_j]_1\right)^{N_{x_1}} \left(\frac{1}{2}[\mathbf{b}_j - \mathbf{a}_j]_2\right)^{N_{x_2}} \\
= & \sum_{r_1, \dots, r_n \in \{x_1, x_2\}} ((\partial_{x_1} \partial_{r_1} \cdots \partial_{r_n} \kappa) \circ \gamma_{jk})(x, y) \left(\frac{1}{2}[\mathbf{b}_j - \mathbf{a}_j]_1\right)^{N_{x_1}+1} \left(\frac{1}{2}[\mathbf{b}_j - \mathbf{a}_j]_2\right)^{N_{x_2}} + \\
& + ((\partial_{x_2} \partial_{r_1} \cdots \partial_{r_n} \kappa) \circ \gamma_{jk})(x, y) \left(\frac{1}{2}[\mathbf{b}_j - \mathbf{a}_j]_1\right)^{N_{x_1}} \left(\frac{1}{2}[\mathbf{b}_j - \mathbf{a}_j]_2\right)^{N_{x_2}+1} \\
= & \sum_{r_1, \dots, r_{n+1} \in \{x_1, x_2\}} ((\partial_{r_1} \cdots \partial_{r_{n+1}} \kappa) \circ \gamma_{jk})(x, y) \left(\frac{1}{2}[\mathbf{b}_j - \mathbf{a}_j]_1\right)^{N_{x_1}} \left(\frac{1}{2}[\mathbf{b}_j - \mathbf{a}_j]_2\right)^{N_{x_2}}.
\end{aligned}$$

Damit haben wir nun (2.9) für $n + 1$ gezeigt.

Es gilt $N_{x_1} + N_{x_2} = n$ und $|\{(r_k)_{k=1}^n : r_k \in \{x_1, x_2\}\}| = 2^n$. Da $[\mathbf{b} - \mathbf{a}]_1, [\mathbf{b} - \mathbf{a}]_2 \leq \text{diam}(T_j)$ und κ eine asymptotisch glatte Kernfunktion mit Konstanten c_1, c_2, s ist, können wir diesen Ausdruck weiter abschätzen:

$$\begin{aligned}
\partial_x^n \kappa_{jk}(x, y) & \leq \sum_{r_1, \dots, r_n \in \{x_1, x_2\}} ((\partial_{r_1} \cdots \partial_{r_n} \kappa) \circ \gamma_{jk})(x, y) \left(\frac{\text{diam}(T_j)}{2}\right)^n \\
& \leq \sum_{r_1, \dots, r_n \in \{x_1, x_2\}} c_1(c_2 |\gamma_j(x) - \gamma_k(y)|)^{-(n+s)} n! \left(\frac{\text{diam}(T_j)}{2}\right)^n \\
& = c_1(c_2 |\gamma_j(x) - \gamma_k(y)|)^{-(n+s)} n! \text{diam}(T_j)^n.
\end{aligned}$$

Für $\partial_y^n \kappa_{jk}(x, y)$ lässt sich diese Argumentation analog durchführen und wir erhalten die gewünschte Abschätzung. \square

Betrachten wir nun die semi-analytische Berechnung des Doppelintegrals, bei der nur das äußere Integral über das längere der beiden affinen Randstücke durch Quadratur ersetzt wird. Ähnlich wie in [1, Satz 3.7] möchten wir hier die exponentielle Konvergenz des Approximationsfehlers in Abhängigkeit des Quadraturgrades p zeigen.

Satz 2.17. *Seien T_j, T_k zwei η -min-zulässige affine Randstücke mit zugehöriger Parametrisierungen γ_j, γ_k , gekoppelter Parametrisierung γ_{jk} und $\text{diam}(T_j) \leq \text{diam}(T_k)$. Sei weiters $\kappa : \mathbb{R}^2 \times \mathbb{R}^2 \rightarrow \mathbb{R} : (\mathbf{x}, \mathbf{y}) \mapsto \kappa(\mathbf{x}, \mathbf{y})$ eine asymptotisch glatte Kernfunktion mit Konstanten c_1, c_2, s . Darüber hinaus seien ζ_j^ℓ, ζ_k^m Polynome vom Grad $\ell, m \in \mathbb{N}_0$ mit Träger auf T_j, T_k .*

Weiters seien $\tilde{\zeta}_j^\ell := \zeta_j^\ell \circ \gamma_j$, $\tilde{\zeta}_k^m := \zeta_k^m \circ \gamma_k$ und $\kappa_{jk} := \kappa \circ \gamma_{jk}$. Es sei $A_{jk}^{(\ell m)}$ durch

$$\begin{aligned} A_{jk}^{(\ell m)} &= \int_{T_j} \int_{T_k} \kappa(\mathbf{x}, \mathbf{y}) \zeta_j^\ell(\mathbf{x}) \zeta_k^m(\mathbf{y}) ds_{\mathbf{y}} ds_{\mathbf{x}} \\ &= \frac{\text{diam}(T_j)}{2} \int_{-1}^1 \int_{T_k} \kappa(\gamma_j(x), \mathbf{y}) \tilde{\zeta}_j^\ell(x) \zeta_k^m(\mathbf{y}) ds_{\mathbf{y}} dx \end{aligned}$$

gegeben. Sei für $p \in \mathbb{N}_0$ mit $\ell - 1 \leq p$ der durch komponentenweise Gauß-Quadratur von $A_{jk}^{(\ell m)}$ zum Grad p entstehende Term

$$(A_p)_{jk}^{(\ell m)} = \frac{\text{diam}(T_j)}{2} \sum_{i=0}^p \omega_i \tilde{\zeta}_j^\ell(z_i) \int_{T_k} \kappa(\gamma_j(z_i), \mathbf{y}) \zeta_k^m(\mathbf{y}) ds_{\mathbf{y}}.$$

Dann gilt die Abschätzung

$$\begin{aligned} & \left| A_{jk}^{(\ell m)} - (A_p)_{jk}^{(\ell m)} \right| \\ & \leq 16e\Lambda_p \|\zeta_k^m\|_{L^\infty(T_k)} \|\zeta_j^\ell\|_{L^\infty(T_j)} \frac{c_1 \text{diam}(T_j) \text{diam}(T_k)}{(c_2 \text{dist}(T_j, T_k))^s} (p+1) \left(1 + \frac{2\eta}{c_2}\right) \left(1 + \frac{c_2}{\eta}\right)^{-(p+1)}. \end{aligned} \quad (2.10)$$

Beweis. Sei $\mathcal{I}_{p,x}$ der komponentenweise Chebyshev-Interpolationsoperator und Q_p die eindimensionale Gauß-Quadratur. Zusätzlich sei $\mathcal{J}_{p,x}$ der komponentenweise Lagrange-Interpolationsoperator, bei welchem die Stützstellen mit den Knoten $\{z_0, \dots, z_p\}$ der Gauß-Quadratur Q_p übereinstimmen. Wegen der Additivität des Integrals und der Tatsache, dass die Gauß-Quadratur Q_p interpolatorisch ist, folgt

$$\begin{aligned} & \left| A_{jk}^{(\ell m)} - (A_p)_{jk}^{(\ell m)} \right| \\ &= \frac{\text{diam}(T_j) \text{diam}(T_k)}{4} \left| \int_{-1}^1 \tilde{\zeta}_k^m(y) \left[\int_{-1}^1 \kappa_{jk}(x, y) \tilde{\zeta}_j^\ell(x) dx - Q_p \left(\kappa_{jk}(\cdot, y) \tilde{\zeta}_j^\ell \right) \right] dy \right| \\ &= \frac{\text{diam}(T_j) \text{diam}(T_k)}{4} \left| \int_{-1}^1 \tilde{\zeta}_k^m(y) \left[\int_{-1}^1 \kappa_{jk}(x, y) \tilde{\zeta}_j^\ell(x) - \mathcal{J}_{p,x} \left(\kappa_{jk} \tilde{\zeta}_j^\ell \right) (x, y) dx \right] dy \right| \\ &\leq \frac{\text{diam}(T_j) \text{diam}(T_k)}{4} \|\tilde{\zeta}_k^m\|_{L^1([-1,1])} \sup_{y \in [-1,1]} \left| \int_{-1}^1 \kappa_{jk}(x, y) \tilde{\zeta}_j^\ell(x) - \mathcal{J}_{p,x} \left(\kappa_{jk} \tilde{\zeta}_j^\ell \right) (x, y) dx \right| \\ &\leq \frac{\text{diam}(T_j) \text{diam}(T_k)}{2} \|\zeta_k^m\|_{L^\infty(T_k)} \sup_{y \in [-1,1]} \left| \int_{-1}^1 \kappa_{jk}(x, y) \tilde{\zeta}_j^\ell(x) - \mathcal{J}_{p,x} \left(\kappa_{jk} \tilde{\zeta}_j^\ell \right) (x, y) dx \right|. \end{aligned}$$

Betrachten wir nun den Ausdruck über welchen das Supremum gebildet wird, genauer. Sei dafür $y \in [-1, 1]$ beliebig aber fest. Dann erhalten wir

$$\begin{aligned} & \int_{-1}^1 \kappa_{jk}(x, y) \tilde{\zeta}_j^\ell(x) - \mathcal{J}_{p,x} \left(\kappa_{jk} \tilde{\zeta}_j^\ell \right) (x, y) dx \\ &= \underbrace{\int_{-1}^1 \tilde{\zeta}_j^\ell(x) [\kappa_{jk} - \mathcal{I}_{p,x} \kappa_{jk}] (x, y) dx}_{=:(i)} + \underbrace{\int_{-1}^1 \tilde{\zeta}_j^\ell(x) \mathcal{I}_{p,x} \kappa_{jk}(x, y) dx}_{=:(ii)} \\ & \quad - \underbrace{\int_{-1}^1 \mathcal{J}_{p,x} [\tilde{\zeta}_j^\ell \mathcal{I}_{p,x} \kappa_{jk}] (x, y) dx}_{=:(iii)} - \underbrace{\int_{-1}^1 \mathcal{J}_{p,x} [\tilde{\zeta}_j^\ell \kappa_{jk} - \tilde{\zeta}_j^\ell \mathcal{I}_{p,x} \kappa_{jk}] (x, y) dx}_{=:(iv)} \end{aligned}$$

Diese vier Integrale können wir nun einzeln betrachten. Für (i) gilt mit der Hölder-Ungleichung:

$$\begin{aligned} \int_{-1}^1 \tilde{\zeta}_j^\ell(x) [\kappa_{jk} - \mathcal{I}_{p,x}\kappa_{jk}](x, y) dx &\leq \left\| \tilde{\zeta}_j^\ell \right\|_{L^1([-1,1])} \left\| (\kappa_{jk} - \mathcal{I}_{p,x}\kappa_{jk})(\cdot, y) \right\|_{L^\infty([-1,1])} \\ &\leq 2 \left\| \tilde{\zeta}_j^\ell \right\|_{L^\infty([-1,1])} \left\| (\kappa_{jk} - \mathcal{I}_{p,x}\kappa_{jk})(\cdot, y) \right\|_{L^\infty([-1,1])}. \end{aligned}$$

Als nächstes betrachten wir (ii). Mit der Tatsache, dass $\tilde{\zeta}_j^\ell(x)\mathcal{I}_{p,x}\kappa_{jk}(x, y)$ ein Polynom in x vom Grad $\ell + p \leq 2p + 1$ ist und die Gauß-Quadratur exakt bis zu diesen Grad ist, folgt

$$\begin{aligned} \int_{-1}^1 \tilde{\zeta}_j^\ell(x)\mathcal{I}_{p,x}\kappa_{jk}(x, y) dx &= Q_p \left(\tilde{\zeta}_j^\ell \mathcal{I}_{p,x}\kappa_{jk}(\cdot, y) \right) \\ &= \int_{-1}^1 \mathcal{J}_{p,x} \left[\tilde{\zeta}_j^\ell \mathcal{I}_{p,x}\kappa_{jk} \right] (x, y) dx. \end{aligned}$$

Dabei haben wir für den letzten Schritt verwendet, dass Q_p interpolatorisch ist. Die rechte Seite stimmt nun mit (iii) überein und daher hebt sich (ii) – (iii) auf.

Betrachten wir nun (iv). Mit der Tatsache, dass die Summe der Gewichte der Gauß-Quadratur mit der Intervallbreite übereinstimmt, folgt

$$\begin{aligned} \int_{-1}^1 \mathcal{J}_{p,x} \left[\tilde{\zeta}_j^\ell \kappa_{jk} - \tilde{\zeta}_j^\ell \mathcal{I}_{p,x}\kappa_{jk} \right] (x, y) dx &= \sum_{i=0}^p \omega_i \tilde{\zeta}_j^\ell(z_i) [\kappa_{jk}(z_i, y) - \mathcal{I}_{p,x}\kappa_{jk}(z_i, y)] \\ &\leq 2 \left\| \tilde{\zeta}_j^\ell \right\|_{L^\infty([-1,1])} \left\| (\kappa_{jk} - \mathcal{I}_{p,x}\kappa_{jk})(\cdot, y) \right\|_{L^\infty([-1,1])}. \end{aligned}$$

Insgesamt erhalten wir also

$$\begin{aligned} \left| \int_{-1}^1 \kappa_{jk}(x, y) \tilde{\zeta}_j^\ell(x) - \mathcal{J}_{p,x} \left(\kappa_{jk}(\cdot, y) \tilde{\zeta}_j^\ell \right) (x) dx \right| \\ \leq 4 \left\| \tilde{\zeta}_j^\ell \right\|_{L^\infty([-1,1])} \left\| (\kappa_{jk} - \mathcal{I}_{p,x}\kappa_{jk})(\cdot, y) \right\|_{L^\infty([-1,1])}. \end{aligned}$$

Dann können wir die Supremumsnorm $\left\| (\kappa_{jk} - \mathcal{I}_{p,x}\kappa_{jk})(\cdot, y) \right\|_{L^\infty([-1,1])}$ mit Hilfe von Lemma 2.15 abschätzen. Wir wählen $B := [-1, 1]$ mit $\text{diam}(B) = 2$ und $u(x) := \kappa_{jk}(x, y)$. Mit Hilfe der Abschätzung (2.7) aus Lemma 2.16 und unter Verwendung von $|\gamma_j(x) - \gamma_k(y)| \geq \text{dist}(T_j, T_k)$ folgt nun mit $\text{diam}(T_j) = \min\{\text{diam}(T_j), \text{diam}(T_k)\}$ und der η -min-Zulässigkeit (2.2)

$$\begin{aligned} |u^{(n)}(x)| &= |\partial_x^n \kappa_{jk}(x, y)| \\ &\leq c_1 (c_2 |\gamma_j(x) - \gamma_k(y)|)^{-(n+s)} n! \text{diam}(T_j)^n \\ &= c_1 (c_2 |\gamma_j(x) - \gamma_k(y)|)^{-s} n! \left(\frac{\text{diam}(T_j)}{c_2 |\gamma_j(x) - \gamma_k(y)|} \right)^n \\ &\leq \frac{c_1 n!}{(c_2 \text{dist}(T_j, T_k))^s} \left(\frac{\text{diam}(T_j)}{c_2 \text{dist}(T_j, T_k)} \right)^n \\ &\leq \frac{c_1 n!}{(c_2 \text{dist}(T_j, T_k))^s} \left(\frac{\eta}{c_2} \right)^n. \end{aligned} \tag{2.11}$$

Mit den Konstanten

$$C_u := \frac{c_1}{(c_2 \text{dist}(T_j, T_k))^s} \quad \text{und} \quad \gamma_u := \frac{\eta}{c_2} \tag{2.12}$$

haben wir die Voraussetzung (2.6) für Lemma 2.15 gezeigt. Daher erhalten wir

$$\begin{aligned} \|u - \mathcal{I}_p u\|_{L^\infty([-1,1])} &\leq 8e\Lambda_p C_u (1 + 2\gamma_u) (p+1) \left(1 + \frac{1}{\gamma_u}\right)^{-(p+1)} \\ &= 8e\Lambda_p \frac{c_1}{(c_2 \text{dist}(T_j, T_k))^s} \left(1 + \frac{2\eta}{c_2}\right) (p+1) \left(1 + \frac{c_2}{\eta}\right)^{-(p+1)}. \end{aligned}$$

Da $y \in [-1, 1]$ beliebig war, gilt die obige Abschätzung auch für das Supremum über alle $y \in [-1, 1]$. Insgesamt folgt daher

$$\begin{aligned} &\left| A_{jk}^{(\ell m)} - (A_p)_{jk}^{(\ell m)} \right| \\ &\leq 2\text{diam}(T_j)\text{diam}(T_k) \|\zeta_k^m\|_{L^\infty(T_k)} \left\| \tilde{\zeta}_j^\ell \right\|_{L^\infty([-1,1])} \sup_{y \in [-1,1]} \|(\kappa_{jk} - \mathcal{I}_{p,x} \kappa_{jk})(\cdot, y)\|_{L^\infty([-1,1])} \\ &\leq 16e\Lambda_p \|\zeta_k^m\|_{L^\infty(T_k)} \|\zeta_j^\ell\|_{L^\infty(T_j)} \frac{c_1 \text{diam}(T_j)\text{diam}(T_k)}{(c_2 \text{dist}(T_j, T_k))^s} (p+1) \left(1 + \frac{2\eta}{c_2}\right) \left(1 + \frac{c_2}{\eta}\right)^{-(p+1)} \end{aligned}$$

und somit ist die Behauptung gezeigt. \square

Für den Fall, dass nicht $\text{diam}(T_j) \leq \text{diam}(T_k)$ gilt, sondern $\text{diam}(T_k) < \text{diam}(T_j)$, gehen wir wie folgt vor.

Laut nachfolgendem Lemma darf die Integrationsreihenfolge bei $A_{jk}^{\ell m}$ vertauscht werden. Weiters ist mit $(\mathbf{x}, \mathbf{y}) \mapsto \kappa(\mathbf{x}, \mathbf{y})$ auch $(\mathbf{x}, \mathbf{y}) \mapsto \kappa(\mathbf{y}, \mathbf{x})$ eine asymptotisch glatte Kernfunktion. Für die Abschätzung (2.10) muss $p \in \mathbb{N}_0$ allerdings so groß gewählt werden, dass $m - 1 \leq p$ gilt.

Lemma 2.18. *Seien T_j, T_k η -min-zulässige Randstücke und κ eine asymptotisch glatte Kernfunktion, die symmetrisch ist. Weiters seien ζ_j^ℓ, ζ_k^m Polynome vom Grad $\ell, m \in \mathbb{N}_0$ und*

$$A_{jk}^{(\ell m)} := \int_{T_j} \int_{T_k} \kappa(\mathbf{x}, \mathbf{y}) \zeta_j^\ell(\mathbf{x}) \zeta_k^m(\mathbf{y}) ds_{\mathbf{y}} ds_{\mathbf{x}}.$$

Dann gilt

$$A_{jk}^{(\ell m)} = \int_{T_k} \int_{T_j} \kappa(\mathbf{x}, \mathbf{y}) \zeta_j^\ell(\mathbf{x}) \zeta_k^m(\mathbf{y}) ds_{\mathbf{x}} ds_{\mathbf{y}}.$$

Beweis. Aus der η -min-Zulässigkeitsbedingung (2.2) folgt

$$\text{dist}(T_j, T_k) \geq \frac{\min\{\text{diam}(T_j), \text{diam}(T_k)\}}{\eta} > 0$$

und daher insbesondere $T_j \cap T_k = \emptyset$. Da κ eine asymptotisch glatte Kernfunktion ist, ist sie glatt auf $T_j \times T_k$ und da ζ_j^ℓ und ζ_k^m Polynome sind, folgt, dass ihr Produkt wieder glatt ist. Die Menge $T_j \times T_k$ ist abgeschlossen und beschränkt und daher laut dem Satz von Heine-Borel kompakt. Laut [8, S. 249, Satz 6] ist $\kappa(\mathbf{x}, \mathbf{y}) \zeta_j^\ell(\mathbf{x}) \zeta_k^m(\mathbf{y})$ als stetige Abbildung auf einem Kompaktum integrierbar. Mit dem Satz von Fubini [8, S. 289] und der Symmetrie von κ folgt daher

$$\begin{aligned} A_{jk}^{(\ell m)} &= \int_{T_j} \int_{T_k} \kappa(\mathbf{x}, \mathbf{y}) \zeta_j^\ell(\mathbf{x}) \zeta_k^m(\mathbf{y}) ds_{\mathbf{y}} ds_{\mathbf{x}} \\ &= \int_{T_k} \int_{T_j} \kappa(\mathbf{x}, \mathbf{y}) \zeta_j^\ell(\mathbf{x}) \zeta_k^m(\mathbf{y}) ds_{\mathbf{x}} ds_{\mathbf{y}}, \end{aligned}$$

womit die Behauptung gezeigt ist. \square

Im folgenden möchten wir nun zeigen, dass eine zu Satz 2.17 analoge Aussage auch gilt, falls wir beide Integrale mit Quadratur berechnen.

Satz 2.19. *Seien T_j, T_k zwei η -max-zulässige affine Randstücke mit zugehörigen Parametrisierungen γ_j, γ_k und gekoppelter Parametrisierung γ_{jk} . Sei weiters $\kappa : \mathbb{R}^2 \times \mathbb{R}^2 \rightarrow \mathbb{R} : (\mathbf{x}, \mathbf{y}) \mapsto \kappa(\mathbf{x}, \mathbf{y})$ eine asymptotisch glatte Kernfunktion mit Konstanten c_1, c_2 und $s \geq 0$. Darüber hinaus seien ζ_j^ℓ, ζ_k^m Polynome vom Grad $\ell, m \in \mathbb{N}_0$ auf T_j, T_k . Weiters seien $\tilde{\zeta}_j^\ell := \zeta_j^\ell \circ \gamma_j$, $\tilde{\zeta}_k^m := \zeta_k^m \circ \gamma_k$ und $\kappa_{jk} := (\kappa \circ \gamma_{jk})$. Es sei $A_{jk}^{(\ell m)}$ durch*

$$\begin{aligned} A_{jk}^{(\ell m)} &= \int_{T_j} \int_{T_k} \kappa(\mathbf{x}, \mathbf{y}) \zeta_j^\ell(\mathbf{x}) \zeta_k^m(\mathbf{y}) ds_{\mathbf{y}} ds_{\mathbf{x}} \\ &= \frac{\text{diam}(T_j)}{2} \frac{\text{diam}(T_k)}{2} \int_{-1}^1 \int_{-1}^1 \kappa_{jk}(x, y) \tilde{\zeta}_j^\ell(x) \tilde{\zeta}_k^m(y) dy dx \end{aligned}$$

gegeben. Sei für $p \in \mathbb{N}_0$ mit $\ell + m \leq p + 1$ der durch zweidimensionale Gauß-Quadratur von $A_{jk}^{(\ell m)}$ zum Grad p entstehende Term durch

$$(A_p)_{jk}^{(\ell m)} = \frac{\text{diam}(T_j)}{2} \frac{\text{diam}(T_k)}{2} \sum_{i=0}^p \sum_{h=0}^p \omega_i \omega_h \tilde{\zeta}_j^\ell(z_i) \tilde{\zeta}_k^m(z_h) \kappa_{jk}(z_i, z_h)$$

gegeben. Mit

$$C_{\eta jk} := \frac{c_1 \text{diam}(T_j) \text{diam}(T_k)}{(c_2 \text{dist}(T_j, T_k))^s} \left(1 + \frac{2\sqrt{2}\eta}{c_2} \right) \quad (2.13)$$

gilt dann

$$\left| A_{jk}^{(\ell m)} - (A_p)_{jk}^{(\ell m)} \right| \leq 32e\Lambda_p^2 \|\zeta_j^\ell\|_{L^\infty(T_j)} \|\zeta_k^m\|_{L^\infty(T_k)} C_{\eta jk} (p+1) \left(1 + \frac{c_2}{\sqrt{2}\eta} \right)^{-(p+1)}.$$

Beweis. Sei \mathcal{I}_p der zweidimensionale Chebyshev-Interpolationsoperator und Q_p die zweidimensionale Gauß-Quadratur. Zusätzlich sei \mathcal{J}_p der zweidimensionale Lagrange-Interpolationsoperator bei welchem die Stützstellen mit den Knoten $\{z_0, \dots, z_p\}$ der Gauß-Quadratur Q_p übereinstimmen. Da die Gauß-Quadratur interpolatorisch ist, gilt

$$\begin{aligned} &\left| A_{jk}^{(\ell m)} - (A_p)_{jk}^{(\ell m)} \right| \\ &= \frac{\text{diam}(T_j)}{2} \frac{\text{diam}(T_k)}{2} \left| \int_{-1}^1 \int_{-1}^1 \kappa_{jk}(x, y) \tilde{\zeta}_j^\ell(x) \tilde{\zeta}_k^m(y) dy dx - Q_p \left[\kappa_{jk} \tilde{\zeta}_j^\ell \tilde{\zeta}_k^m \right] \right| \\ &= \frac{\text{diam}(T_j)}{2} \frac{\text{diam}(T_k)}{2} \left| \int_{-1}^1 \int_{-1}^1 \kappa_{jk}(x, y) \tilde{\zeta}_j^\ell(x) \tilde{\zeta}_k^m(y) - \mathcal{J}_p \left[\kappa_{jk} \tilde{\zeta}_j^\ell \tilde{\zeta}_k^m \right] (x, y) dy dx \right|. \end{aligned}$$

Durch Addieren und Subtrahieren geeigneter Terme erhalten wir

$$\begin{aligned}
& \int_{-1}^1 \int_{-1}^1 \kappa_{jk}(x, y) \tilde{\zeta}_j^\ell(x) \tilde{\zeta}_k^m(y) - \mathcal{J}_p \left[\kappa_{jk} \tilde{\zeta}_j^\ell \tilde{\zeta}_k^m \right] (x, y) dy dx \\
&= \underbrace{\int_{-1}^1 \int_{-1}^1 \tilde{\zeta}_j^\ell(x) \tilde{\zeta}_k^m(y) [\kappa_{jk} - \mathcal{I}_p \kappa_{jk}] (x, y) dy dx}_{=:(i)} \\
&+ \underbrace{\int_{-1}^1 \int_{-1}^1 \tilde{\zeta}_j^\ell(x) \tilde{\zeta}_k^m(y) \mathcal{I}_p \kappa_{jk}(x, y) dy dx}_{=:(ii)} \\
&- \underbrace{\int_{-1}^1 \int_{-1}^1 \mathcal{J}_p \left[\tilde{\zeta}_j^\ell \tilde{\zeta}_k^m \mathcal{I}_p \kappa_{jk} \right] (x, y) dy dx}_{=:(iii)} \\
&- \underbrace{\int_{-1}^1 \int_{-1}^1 \mathcal{J}_p \left[\kappa_{jk} \tilde{\zeta}_j^\ell \tilde{\zeta}_k^m - \tilde{\zeta}_j^\ell \tilde{\zeta}_k^m \mathcal{I}_p \kappa_{jk} \right] (x, y) dy dx}_{=:(iv)}.
\end{aligned}$$

Nun können wir diese vier Doppelintegrale einzeln betrachten:

Für das Doppelintegral (i) gilt

$$\begin{aligned}
& \int_{-1}^1 \int_{-1}^1 \tilde{\zeta}_j^\ell(x) \tilde{\zeta}_k^m(y) [\kappa_{jk} - \mathcal{I}_p \kappa_{jk}] (x, y) dy dx \\
&\leq \left\| \tilde{\zeta}_j^\ell \right\|_{L^1([-1,1])} \left\| \tilde{\zeta}_k^m \right\|_{L^1([-1,1])} \left\| \kappa_{jk} - \mathcal{I}_p \kappa_{jk} \right\|_{L^\infty([-1,1]^2)} \\
&\leq 4 \left\| \tilde{\zeta}_j^\ell \right\|_{L^\infty([-1,1])} \left\| \tilde{\zeta}_k^m \right\|_{L^\infty([-1,1])} \left\| \kappa_{jk} - \mathcal{I}_p \kappa_{jk} \right\|_{L^\infty([-1,1]^2)}.
\end{aligned}$$

Als nächstes betrachten wir das Doppelintegral (ii). Mit der Tatsache, dass das Polynom $\tilde{\zeta}_j^\ell(x) \tilde{\zeta}_k^m(y) \mathcal{I}_p \kappa_{jk}(x, y)$ vom Grad $\leq 2p + 1$ in x und in y ist, die Gauss-Quadratur exakt bis zu diesem Grad und interpolatorisch ist, erhalten wir

$$\begin{aligned}
\int_{-1}^1 \int_{-1}^1 \tilde{\zeta}_j^\ell(x) \tilde{\zeta}_k^m(y) \mathcal{I}_p \kappa_{jk}(x, y) dy dx &= Q_p \left(\tilde{\zeta}_j^\ell \tilde{\zeta}_k^m \mathcal{I}_p \kappa_{jk} \right) \\
&= \int_{-1}^1 \int_{-1}^1 \mathcal{J}_p \left[\tilde{\zeta}_j^\ell \tilde{\zeta}_k^m \mathcal{I}_p \kappa_{jk} \right] (x, y) dy dx.
\end{aligned}$$

Der Ausdruck auf der rechten Seite stimmt nun mit dem Doppelintegral (iii) überein und daher hebt sich (ii) – (iii) auf.

Für das Doppelintegral (iv) gilt mit der Tatsache, dass die Summe der Gauß-Gewichte mit der Intervallbreite übereinstimmt

$$\begin{aligned}
& \int_{-1}^1 \int_{-1}^1 \mathcal{J}_p \left[\kappa_{jk} \tilde{\zeta}_j^\ell \tilde{\zeta}_k^m - \tilde{\zeta}_j^\ell \tilde{\zeta}_k^m \mathcal{I}_p \kappa_{jk} \right] (x, y) dy dx \\
&= \sum_{i=0}^p \sum_{h=0}^p \omega_i \omega_h \tilde{\zeta}_j^\ell(z_i) \tilde{\zeta}_k^m(z_h) [\kappa_{jk}(z_i, z_h) - \mathcal{I}_p \kappa_{jk}(z_i, z_h)] \\
&\leq 4 \left\| \tilde{\zeta}_j^\ell \right\|_{L^\infty([-1,1])} \left\| \tilde{\zeta}_k^m \right\|_{L^\infty([-1,1])} \left\| \kappa_{jk} - \mathcal{I}_p \kappa_{jk} \right\|_{L^\infty([-1,1]^2)}.
\end{aligned}$$

Insgesamt folgt also

$$\begin{aligned} & \left| \int_{-1}^1 \int_{-1}^1 \kappa_{jk}(x, y) \tilde{\zeta}_j^\ell(x) \tilde{\zeta}_k^m(y) - \mathcal{I}_p \left[\kappa_{jk} \tilde{\zeta}_j^\ell \tilde{\zeta}_k^m \right] (x, y) \, dy \, dx \right| \\ & \leq 8 \left\| \tilde{\zeta}_j^\ell \right\|_{L^\infty([-1,1])} \left\| \tilde{\zeta}_k^m \right\|_{L^\infty([-1,1])} \left\| \kappa_{jk} - \mathcal{I}_p \kappa_{jk} \right\|_{L^\infty([-1,1]^2)}. \end{aligned}$$

Die Supremumsnorm $\left\| \kappa_{jk} - \mathcal{I}_p \kappa_{jk} \right\|_{L^\infty([-1,1]^2)}$ können wir nun mit Hilfe von Lemma 2.15 weiter abschätzen. Dazu wählen wir $B := [-1, 1]^2$ mit $\text{diam}(B) = 2\sqrt{2}$ und $u := \kappa_{jk}$. Falls wir also (2.6) mit Konstanten $C_u, \gamma_u \geq 0$ für u zeigen können, folgt:

$$\left\| \kappa_{jk} - \mathcal{I}_p \kappa_{jk} \right\|_{L^\infty([-1,1]^2)} \leq 16e\Lambda_p^2 C_u (1 + \gamma_u 2\sqrt{2}) (p+1) \left(1 + \frac{1}{\gamma_u \sqrt{2}} \right)^{-(p+1)}. \quad (2.14)$$

Mit Hilfe der Abschätzung (2.7) aus Lemma 2.16 erhalten wir nun analog zu (2.11) die folgende Abschätzung:

$$\begin{aligned} |\partial_x^n u(x, y)| &= |\partial_x^n \kappa_{jk}(x, y)| \\ &\leq \frac{c_1 n!}{(c_2 \text{dist}(T_j, T_k))^s} \left(\frac{\eta}{c_2} \right)^n. \end{aligned}$$

Offensichtlich gilt auch für die Ableitung nach der zweiten Komponenten

$$|\partial_y^n u(x, y)| \leq \frac{c_1 n!}{(c_2 \text{dist}(T_j, T_k))^s} \left(\frac{\eta}{c_2} \right)^n.$$

Mit den Konstanten

$$C_u := \frac{c_1}{(c_2 \text{dist}(T_j, T_k))^s} \quad \text{und} \quad \gamma_u := \frac{\eta}{c_2} \quad (2.15)$$

haben wir also die Voraussetzung (2.6) für Lemma 2.15 gezeigt und daher gilt (2.14). In weiterer Folge erhalten wir

$$\begin{aligned} & \left| A_{jk}^{(\ell m)} - (A_p)_{jk}^{(\ell m)} \right| \\ & \leq 2 \text{diam}(T_j) \text{diam}(T_k) \left\| \tilde{\zeta}_j^\ell \right\|_{L^\infty([-1,1])} \left\| \tilde{\zeta}_k^m \right\|_{L^\infty([-1,1])} \left\| \kappa_{jk} - \mathcal{I}_p \kappa_{jk} \right\|_{L^\infty([-1,1]^2)} \\ & \leq 32e\Lambda_p^2 \left\| \tilde{\zeta}_j^\ell \right\|_{L^\infty([-1,1])} \left\| \tilde{\zeta}_k^m \right\|_{L^\infty([-1,1])} \\ & \quad \frac{c_1 \text{diam}(T_j) \text{diam}(T_k)}{(c_2 \text{dist}(T_j, T_k))^s} \left(1 + \frac{2\sqrt{2}\eta}{c_2} \right) (p+1) \left(1 + \frac{c_2}{\sqrt{2}\eta} \right)^{-(p+1)} \\ & = 32e\Lambda_p^2 \left\| \zeta_j^\ell \right\|_{L^\infty(T_j)} \left\| \zeta_k^m \right\|_{L^\infty(T_k)} \\ & \quad \frac{c_1 \text{diam}(T_j) \text{diam}(T_k)}{(c_2 \text{dist}(T_j, T_k))^s} \left(1 + \frac{2\sqrt{2}\eta}{c_2} \right) (p+1) \left(1 + \frac{c_2}{\sqrt{2}\eta} \right)^{-(p+1)}, \end{aligned}$$

womit der Satz bewiesen ist. \square

Bemerkung 2.20. Laut [7, Theorem 1.2] gilt für die Chebyshev-Interpolation $\Lambda_p \leq 2 \log(p+1)/\pi + 1$, das heißt Λ_p wächst logarithmisch in p . Daher konvergieren $(A_p)_{jk}^{(\ell m)}$ aus Satz 2.17 und beziehungsweise Satz 2.19 für wachsenden Quadraturgrad p exponentiell schnell gegen $A_{jk}^{(\ell m)}$.

2.4 Approximierende Matrix

In diesem Abschnitt betrachten wir die Situation, dass T_1, \dots, T_n affine Randstücke sind. Wir möchten eine bestimmte Matrix A durch eine approximierende Matrix A_p annähern und abschließend mit Hilfe der vorhin gezeigten Resultate zeigen, dass A_p exponentiell schnell bezüglich der Frobenius-Norm gegen A konvergiert.

Es gibt zwei Möglichkeiten, die approximierende Matrix zu definieren, einmal mit dem sogenannten max-min-Kriterium und einmal mit dem min-Kriterium.

2.4.1 Berechnung mit max-min-Kriterium

Definition 2.21. Seien T_1, T_2, \dots, T_n affine Randstücke, κ eine asymptotisch glatte Kernfunktion und ζ_j^ℓ, ζ_k^m Polynome vom Grad $\ell, m \in \mathbb{N}_0$. Weiters sei $A^{(\ell m)} \in \mathbb{R}^{n \times n}$ gegeben durch

$$A_{jk}^{(\ell m)} = \int_{T_j} \int_{T_k} \kappa(\mathbf{x}, \mathbf{y}) \zeta_j^\ell(\mathbf{x}) \zeta_k^m(\mathbf{y}) ds_{\mathbf{y}} ds_{\mathbf{x}}. \quad (2.16)$$

Sei der Quadraturgrad der Gauß-Quadratur $p \in \mathbb{N}_0$ so groß, dass $\ell + m \leq p + 1$, dann ist die $A^{(\ell m)}$ approximierende Matrix nach dem max-min-Kriterium $A_p^{(\ell m)}$ folgendermaßen definiert:

- Sind T_j und T_k η -unzulässig, so ist

$$(A_p)_{jk}^{(\ell m)} := A_{jk}^{(\ell m)} \quad (2.17)$$

- Sind T_j und T_k η -min-zulässig, aber nicht η -max-zulässig, und $\text{diam}(T_j) \leq \text{diam}(T_k)$, so ist

$$(A_p)_{jk}^{(\ell m)} := \frac{\text{diam}(T_j)}{2} \sum_{i=0}^p \omega_i \tilde{\zeta}_j^\ell(z_i) \int_{T_k} \kappa(\gamma_j(z_i), \mathbf{y}) \zeta_k^m(\mathbf{y}) ds_{\mathbf{y}} \quad (2.18)$$

- Sind hingegen T_j und T_k η -min-zulässig, aber nicht η -max-zulässig, und $\text{diam}(T_j) > \text{diam}(T_k)$, so ist

$$(A_p)_{jk}^{(\ell m)} := \frac{\text{diam}(T_k)}{2} \sum_{i=0}^p \omega_i \tilde{\zeta}_k^m(z_i) \int_{T_j} \kappa(\mathbf{x}, \gamma_k(z_i)) \zeta_j^\ell(\mathbf{x}) ds_{\mathbf{x}} \quad (2.19)$$

- Sind T_j und T_k η -max-zulässig, so ist

$$(A_p)_{jk}^{(\ell m)} := \frac{\text{diam}(T_j)}{2} \frac{\text{diam}(T_k)}{2} \sum_{i=0}^p \sum_{h=0}^p \omega_i \omega_h \tilde{\zeta}_j^\ell(z_i) \tilde{\zeta}_k^m(z_h) \kappa(\gamma_j(z_i), \gamma_k(z_h)) \quad (2.20)$$

Wir wollen nun zeigen, dass für wachsenden Quadraturgrad die approximierende Matrix bezüglich der Frobeniusnorm exponentiell schnell gegen die gegebene Matrix $A^{(\ell m)}$ konvergiert. Die Frobenius-Norm ist hierbei gegeben durch

$$\|A\|_{\mathcal{F}} := \left(\sum_{j=1}^n \sum_{k=1}^n A_{jk}^2 \right)^{1/2} \quad \text{für } A \in \mathbb{R}^{n \times n}.$$

Satz 2.22. Seien T_1, T_2, \dots, T_n affine Randstücke. Sei $\kappa : \mathbb{R}^2 \times \mathbb{R}^2 \rightarrow \mathbb{R}$ eine asymptotisch glatte Kernfunktion mit Konstanten c_1, c_2 und Singularitätsordnung $s \geq 0$. Für $\ell, m \in \mathbb{N}_0$ sei $A^{(\ell m)} \in \mathbb{R}^{n \times n}$ eine Matrix, deren Einträge durch (2.16) gegeben sind. Sei für $p \in \mathbb{N}_0$ mit $\ell + m \leq p + 1$, die approximierende Matrix $A_p^{(\ell m)}$ gemäß Definition 2.21 gegeben. Weiters sei $C_{\eta jk} > 0$ definiert durch (2.13). Dann gilt

$$\begin{aligned} & \|A^{(\ell m)} - A_p^{(\ell m)}\|_{\mathcal{F}} \\ & \leq n \max_{j=1, \dots, n} \max_{k=1, \dots, n} 32e\Lambda_p^2 \|\zeta_j^\ell\|_{L^\infty(T_j)} \|\zeta_k^m\|_{L^\infty(T_k)} C_{\eta jk} (p+1) \left(1 + \frac{c_2}{\sqrt{2}\eta}\right)^{-(p+1)}. \end{aligned} \quad (2.21)$$

Beweis. Betrachten wir zunächst die Differenz zwischen $A^{(\ell m)}$ und $A_p^{(\ell m)}$ in einem festen Eintrag. Falls T_j und T_k η -unzulässig sind, so ist die Differenz laut Definition 0. Falls T_j und T_k η -min-zulässig sind, aber nicht η -max-zulässig, so können wir zwei Fälle unterscheiden. Ist $\text{diam}(T_j) \leq \text{diam}(T_k)$, so ist $(A_p)_{jk}^{(\ell m)}$ durch (2.18) gegeben. Nach Satz 2.17 und da $\Lambda_p \geq 1$ gilt

$$\begin{aligned} & \left| A_{jk}^{(\ell m)} - (A_p)_{jk}^{(\ell m)} \right| \\ & \leq 16e\Lambda_p \|\zeta_k^m\|_{L^\infty(T_k)} \|\zeta_j^\ell\|_{L^\infty(T_j)} \\ & \quad \frac{c_1 \text{diam}(T_j) \text{diam}(T_k)}{(c_2 \text{dist}(T_j, T_k))^s} (p+1) \left(1 + \frac{2\eta}{c_2}\right) \left(1 + \frac{c_2}{\eta}\right)^{-(p+1)} \\ & \leq 32e\Lambda_p^2 \|\zeta_j^\ell\|_{L^\infty(T_j)} \|\zeta_k^m\|_{L^\infty(T_k)} C_{\eta jk} (p+1) \left(1 + \frac{c_2}{\sqrt{2}\eta}\right)^{-(p+1)}. \end{aligned} \quad (2.22)$$

Für den Fall, dass $\text{diam}(T_j) > \text{diam}(T_k)$, gilt wegen Lemma 2.18

$$A_{jk}^{(\ell m)} = \int_{T_k} \int_{T_j} \kappa(\mathbf{x}, \mathbf{y}) \zeta_k^m(\mathbf{y}) \zeta_j^\ell(\mathbf{x}) ds_{\mathbf{x}} ds_{\mathbf{y}}.$$

Der approximierende Eintrag $(A_p)_{jk}^{(\ell m)}$ ist durch (2.19) gegeben. Durch Anwendung von Satz 2.17 erhalten wir wieder dieselbe Abschätzung wie in (2.22).

Für den Fall, dass T_j und T_k η -max-zulässig sind, ist $(A_p)_{jk}^{(\ell m)}$ durch (2.20) gegeben. Laut Satz 2.19 gilt

$$\left| A_{jk}^{(\ell m)} - (A_p)_{jk}^{(\ell m)} \right| \leq 32e\Lambda_p^2 \|\zeta_j^\ell\|_{L^\infty(T_j)} \|\zeta_k^m\|_{L^\infty(T_k)} C_{\eta jk} (p+1) \left(1 + \frac{c_2}{\sqrt{2}\eta}\right)^{-(p+1)}. \quad (2.23)$$

Insgesamt erhalten wir

$$\begin{aligned} & \|A^{(\ell m)} - A_p^{(\ell m)}\|_{\mathcal{F}}^2 \\ & = \sum_{j,k=1}^n \left(A_{jk}^{(\ell m)} - (A_p)_{jk}^{(\ell m)} \right)^2 \\ & \leq \sum_{j,k=1}^n \left(32e\Lambda_p^2 \|\zeta_j^\ell\|_{L^\infty(T_j)} \|\zeta_k^m\|_{L^\infty(T_k)} C_{\eta jk} (p+1) \left(1 + \frac{c_2}{\sqrt{2}\eta}\right)^{-(p+1)} \right)^2 \\ & \leq n^2 \max_{j=1, \dots, n} \max_{k=1, \dots, n} \left(32e\Lambda_p^2 \|\zeta_j^\ell\|_{L^\infty(T_j)} \|\zeta_k^m\|_{L^\infty(T_k)} C_{\eta jk} (p+1) \left(1 + \frac{c_2}{\sqrt{2}\eta}\right)^{-(p+1)} \right)^2. \end{aligned}$$

Indem wir nun auf beiden Seiten die Wurzel ziehen bekommen wir die gewünschte Abschätzung. \square

2.4.2 Berechnung mit min-Kriterium

Definition 2.23. Seien T_1, T_2, \dots, T_n affine Randstücke, κ eine asymptotisch glatte Kernfunktion und ζ_j^ℓ, ζ_k^m Polynome vom Grad $\ell, m \in \mathbb{N}_0$. Weiters sei $A^{(\ell m)} \in \mathbb{R}^{n \times n}$ gegeben durch

$$A_{jk}^{(\ell m)} = \int_{T_j} \int_{T_k} \kappa(\mathbf{x}, \mathbf{y}) \zeta_j^\ell(\mathbf{x}) \zeta_k^m(\mathbf{y}) ds_{\mathbf{y}} ds_{\mathbf{x}}. \quad (2.24)$$

Sei der Quadraturgrad $p \in \mathbb{N}_0$ so groß, dass $\ell + m \leq p + 1$, dann ist die $A^{(\ell m)}$ approximierende Matrix nach dem min-Kriterium $A_p^{(\ell m)}$ folgendermaßen definiert:

- Sind T_j und T_k η -unzulässig, so ist

$$(A_p)^{(\ell m)}_{jk} := A_{jk}^{(\ell m)}. \quad (2.25)$$

- Sind T_j und T_k η -min-zulässig und $\text{diam}(T_j) \leq \text{diam}(T_k)$, so ist

$$(A_p)^{(\ell m)}_{jk} := \frac{\text{diam}(T_j)}{2} \sum_{i=0}^p \omega_i \tilde{\zeta}_j^\ell(z_i) \int_{T_k} \kappa(\gamma_j(z_i), \mathbf{y}) \zeta_k^m(\mathbf{y}) ds_{\mathbf{y}}. \quad (2.26)$$

- Sind hingegen T_j und T_k η -min-zulässig und $\text{diam}(T_j) > \text{diam}(T_k)$, so ist

$$(A_p)^{(\ell m)}_{jk} := \frac{\text{diam}(T_k)}{2} \sum_{i=0}^p \omega_i \tilde{\zeta}_k^m(z_i) \int_{T_j} \kappa(\mathbf{x}, \gamma_k(z_i)) \zeta_j^\ell(\mathbf{x}) ds_{\mathbf{x}}. \quad (2.27)$$

Auch hier konvergiert die approximierende Matrix für wachsenden Quadraturgrad bezüglich der Frobeniusnorm exponentiell schnell gegen die gegebene Matrix $A^{(\ell m)}$.

Satz 2.24. Seien T_1, T_2, \dots, T_n affine Randstücke. Sei $\kappa : \mathbb{R}^2 \times \mathbb{R}^2 \rightarrow \mathbb{R}$ eine asymptotisch glatte Kernfunktion mit Konstanten c_1, c_2 und Singularitätsordnung $s \geq 0$. Für $\ell, m \in \mathbb{N}_0$ sei $A^{(\ell m)} \in \mathbb{R}^{n \times n}$ eine Matrix, deren Einträge durch (2.24) gegeben sind. Weiters sei für $p \in \mathbb{N}_0$ mit $\ell, m \leq p + 1$, die approximierende Matrix $A_p^{(\ell m)}$ gemäß Definition 2.21 erklärt. Dann gilt

$$\begin{aligned} & \|A^{(\ell m)} - A_p^{(\ell m)}\|_{\mathcal{F}} \\ & \leq 16e\Lambda_p \|\zeta_k^m\|_{L^\infty(T_k)} \|\zeta_j^\ell\|_{L^\infty(T_j)} \frac{c_1 \text{diam}(T_j) \text{diam}(T_k)}{(c_2 \text{dist}(T_j, T_k))^s} (p+1) \left(1 + \frac{2\eta}{c_2}\right) \left(1 + \frac{c_2}{\eta}\right)^{-(p+1)}. \end{aligned} \quad (2.28)$$

Beweis. Der Beweis läuft analog zum Beweis von Satz 2.22. \square

3 Lösungsverfahren und numerische Beispiele

3.1 Problemstellung und Lösungsansatz

In diesem Abschnitt betrachten wir die homogene Laplace-Gleichung in der Ebene mit Dirichlet-Randbedingungen

$$\begin{aligned} -\Delta u &= 0 \quad \text{in } \Omega \subset \mathbb{R}^2, \\ u &= g \quad \text{auf } \Gamma := \partial\Omega, \end{aligned} \tag{3.1}$$

wobei $\Delta u := \partial_{x_1}^2 u + \partial_{x_2}^2 u$ den Laplace-Operator bezeichnet und $\Omega \subset \mathbb{R}^2$ eine offene Teilmenge mit polygonalem Rand $\Gamma := \partial\Omega$ ist. Wir können weiterhin annehmen, dass $\text{diam}(\Omega) < 1$, da dies durch Skalierung einfach zu erreichen ist.

3.1.1 Randelementmethode

Die Fundamentallösung des Laplace-Operators [9, Lemma 1] ist für $z \in \mathbb{R}^2 \setminus \{0\}$ gegeben durch

$$G(z) := -\frac{1}{2\pi} \log |z|.$$

Mit der Repräsentationsformel [9, Proposition 2] gilt, dass sich die Lösung von (3.1) darstellen lässt als

$$u(x) = \int_{\Gamma} G(x - \mathbf{y}) \partial_{n(\mathbf{y})} u(\mathbf{y}) ds_{\mathbf{y}} - \int_{\Gamma} \partial_{n(\mathbf{y})} G(x - \mathbf{y}) u(\mathbf{y}) ds_{\mathbf{y}}, \tag{3.2}$$

wobei die Integrale über Γ als Oberflächenintegrale zu verstehen sind. Dabei bezeichnet $n(\mathbf{y})$ den äußeren Normalenvektor bei $\mathbf{y} \in \Gamma$ und $\partial_{n(\mathbf{y})}$ die zugehörige Normalenableitung. Weiterhin sei das Einfachschichtpotential $\tilde{V} \in L(H^{-1/2}(\Gamma), H^1(\Omega))$ gegeben durch

$$\tilde{V}\phi(x) := \int_{\Gamma} G(x - \mathbf{y}) \phi(\mathbf{y}) ds_{\mathbf{y}} \quad \text{für } x \in \Omega$$

und das Doppelschichtpotential $\tilde{K} \in L(H^{1/2}(\Gamma), H^1(\Omega))$ durch

$$\tilde{K}g(x) := \int_{\Gamma} \partial_{n(\mathbf{y})} G(x - \mathbf{y}) g(\mathbf{y}) ds_{\mathbf{y}} \quad \text{für } x \in \Omega.$$

Für Details hierzu möchten wir auf [9] verweisen.

Mit $\phi(\mathbf{y}) = \partial_{n(\mathbf{y})} u(\mathbf{y})$ und $g(\mathbf{y}) = u(\mathbf{y})$ lässt sich (3.2) darstellen als

$$u = \tilde{V}\phi - \tilde{K}g. \tag{3.3}$$

Sei γ_0 der Spuroperator, der für Funktionen aus $C^\infty(\overline{\Omega})$ durch

$$\gamma_0 u = u|_{\Gamma}$$

definiert ist und durch stetige Fortsetzung zu einem Operator $\gamma_0 \in L(H^1(\Omega); H^{1/2}(\Gamma))$ wird. Die schwache Formulierung der Laplace-Gleichung (3.1) lautet dann

$$\begin{aligned} -\Delta u &= 0 \in H^{-1}(\Omega), \\ \gamma_0 u &= g \in H^{1/2}(\Gamma). \end{aligned}$$

Die unbekannte schwache Lösung ist dann durch (3.3) gegeben. Um in diese einsetzen zu können, benötigen wir noch die unbekanntenen Neumann-Randdaten $\phi \in H^{-1/2}(\Gamma)$. Dazu wenden wir den Spuroperator γ_0 auf (3.3) an. Mit dem Einfachschichtpotential

$$V := \gamma_0 \tilde{V} \in L(H^{-1/2}(\Gamma); H^{1/2}(\Gamma)) \quad (3.4)$$

und dem Doppelschichtpotential¹

$$K := \gamma_0 \tilde{K} + 1/2 \in L(H^{1/2}(\Gamma); H^{1/2}(\Gamma)) \quad (3.5)$$

(siehe [9, Kapitel 4]) erhalten wir die Symm'sche Integralgleichung

$$V\phi = (K + 1/2)g. \quad (3.6)$$

Die Variationsformulierung der Symm'schen Integralgleichung lautet

$$\langle V\phi, \psi \rangle_\Gamma = \langle (K + 1/2)g, \psi \rangle_\Gamma \quad \text{für alle } \psi \in H^{-1/2}(\Gamma), \quad (3.7)$$

wobei $\langle \phi, \psi \rangle_\Gamma$ die duale Paarung zwischen $H^{1/2}(\Gamma) \times H^{-1/2}(\Gamma)$ bezeichnet, die für $\phi, \psi \in L^2(\Gamma)$ zu $\langle \phi, \psi \rangle_\Gamma = \int_\Gamma \phi \psi ds_{\mathbf{x}}$ vereinfacht werden kann. Laut [9, Kapitel 4] ist der Operator V unter der Annahme $\text{diam}(\Omega) < 1$ ein symmetrischer und elliptischer Isomorphismus. Zusätzlich definiert die linke Seite von (3.7)

$$\langle\langle \phi, \psi \rangle\rangle_V := \langle V\phi, \psi \rangle_\Gamma \quad \text{für alle } \phi, \psi \in H^{-1/2}(\Gamma) \quad (3.8)$$

ein äquivalentes Skalarprodukt auf $H^{-1/2}(\Gamma)$. Dazu bezeichne $\|\cdot\|$ die induzierte Norm. Laut [11, Kapitel 4.1] hat die Variationsformulierung der Symm'schen Integralgleichung eine eindeutige Lösung $\phi \in H^{-1/2}(\Gamma)$.

3.1.2 Galerkin-Verfahren

Da das Problem (3.7) im Allgemeinen nicht exakt lösbar ist, werden wir es approximativ mit Hilfe des Galerkin-Verfahrens lösen. Dabei wird $H^{-1/2}(\Gamma)$ beziehungsweise $H^{1/2}(\Gamma)$ durch einen endlichdimensionalen Unterraum ersetzt.

Wir betrachten eine Partition $\mathcal{T}_h = \{T_1, T_2, \dots, T_N\}$ des Randes Γ in N affine Randstücke. Im folgenden bezeichnen wir \mathcal{T}_h auch als *Triangulierung* von Γ . Sei $\mathcal{P}^p(\mathcal{T}_h)$ der Raum aller \mathcal{T}_h -stückweisen Polynome vom Grad $p \in \mathbb{N}_0$. Die Funktionen aus $\mathcal{P}^p(\mathcal{T}_h)$ sind im Allgemeinen nicht stetig, sondern haben Sprünge an den Knotenpunkten von \mathcal{T}_h . Insbesondere ist dabei der Raum $\mathcal{P}^0(\mathcal{T}_h)$ der Raum der \mathcal{T}_h -stückweise konstanten Funktionen und $\mathcal{P}^1(\mathcal{T}_h)$ der Raum der \mathcal{T}_h -stückweise affinen Funktionen. Bezeichne $\chi_j^0 \in \mathcal{P}^0(\mathcal{T}_h)$ die charakteristische Funktion von $T_j \in \mathcal{T}_h$ definiert durch

$$\chi_j^0(\mathbf{x}) = \begin{cases} 1 & \text{für } \mathbf{x} \in T_j \\ 0 & \text{sonst} \end{cases}$$

für alle $j = 1, \dots, N$. Dann ist die Menge $\{\chi_1^0, \chi_2^0, \dots, \chi_N^0\}$ eine Basis von $\mathcal{P}^0(\mathcal{T}_h)$. Um eine Basis von $\mathcal{P}^1(\mathcal{T}_h)$ angeben zu können benötigen wir zusätzlich noch \mathcal{T}_h -stückweise lineare Funktionen. Dazu sei $\chi_j^1 \in \mathcal{P}^1(\mathcal{T}_h)$ über die Parametrisierung γ_j auf T_j definiert durch

$$(\chi_j^1 \circ \gamma_j)(s) = s \quad \text{für } s \in [-1, 1].$$

¹In der Literatur werden sowohl \tilde{V} als auch V als Einfachschichtpotential und sowohl \tilde{K} als auch K als Doppelschichtpotential bezeichnet.

Das heißt für $T_j = [\mathbf{a}_j, \mathbf{b}_j]$ ist χ_j^1 eine lineare Funktion, die am Punkt \mathbf{a}_j den Wert -1 und am Punkt \mathbf{b}_j den Wert 1 annimmt. Auf allen anderen affinen Randstücken $T_k \in \mathcal{T}_h$ mit $k = 1, \dots, N$ und $k \neq j$ sei $\chi_j^1 \equiv 0$. Dann ist die Menge $\{\chi_1^0, \chi_2^0, \dots, \chi_N^0, \chi_1^1, \chi_2^1, \dots, \chi_N^1\}$ eine Basis von $\mathcal{P}^1(\mathcal{T}_h)$.

Um auch global stetige Funktionen betrachten zu können, sei $\mathcal{S}^p(\mathcal{T}_h) := \mathcal{P}^p(\mathcal{T}_h) \cap C(\Gamma)$ der Raum aller global stetigen und \mathcal{T}_h -stückweise polynomialen Funktionen vom Grad p . Für die Menge der Knoten $\mathcal{K}_h = \{z_1, \dots, z_{\tilde{N}}\}$, wobei \tilde{N} die Anzahl der Knoten bezeichnet², sei jedem $z_j \in \mathcal{K}_h$ eine nodale Hutfunktion $\zeta_j^1 \in \mathcal{S}^1(\mathcal{T}_h)$ zugeordnet. Für diese stückweise affine Funktion gelte also $\zeta_j^1(z_k) = \delta_{jk}$ für alle $k = 1, \dots, N$. Der Knoten z_j ist im Allgemeinen Randknoten von zwei Elementen: T_{j_1} und T_{j_2} . Diese Elemente und ihre Parametrisierungen γ_{j_1} und γ_{j_2} seien so gewählt, dass

$$\begin{aligned} (\zeta_j^1 \circ \gamma_{j_1})(t) &= \frac{1+t}{2} \\ (\zeta_j^1 \circ \gamma_{j_2})(t) &= \frac{1-t}{2} \end{aligned} \quad (3.9)$$

für $t \in [-1, 1]$ gilt. Die Menge der $\zeta_j^1, j = 1, \dots, \tilde{N}$ bildet bereits eine Basis von $\mathcal{S}^1(\mathcal{T}_h)$. Um nun eine Basis von $\mathcal{S}^2(\mathcal{T}_h)$ angeben zu können, benötigen wir noch \mathcal{T}_h -stückweise quadratische Terme. Wir definieren $\zeta_j^2 \in \mathcal{S}^2(\mathcal{T}_h)$ über die Parametrisierung γ_j auf T_j :

$$(\zeta_j^2 \circ \gamma_j)(s) = \frac{1}{4}(1-s^2) \quad \text{für } s \in [-1, 1]. \quad (3.10)$$

Auf allen anderen affinen Randstücken $T_k \in \mathcal{T}_h$ mit $k = 1, \dots, N$ und $k \neq j$ sei $\zeta_j^2 \equiv 0$. Die Menge $\{\zeta_1^1, \zeta_2^1, \dots, \zeta_{\tilde{N}}^1, \zeta_1^2, \zeta_2^2, \dots, \zeta_{\tilde{N}}^2\}$ stellt dann eine Basis von $\mathcal{S}^2(\mathcal{T}_h)$ dar.

Um (3.7) zu diskretisieren approximieren wir den Raum $H^{1/2}(\Gamma)$ mit dem endlichdimensionalen Teilraum $\mathcal{S}^2(\mathcal{T}_h) \subset H^{1/2}(\Gamma)$ und den Raum $H^{-1/2}(\Gamma)$ mit dem endlichdimensionalen Teilraum $\mathcal{P}^1(\mathcal{T}_h) \subset H^{-1/2}(\Gamma)$.

Weiters diskretisieren wir $g \in H^{1/2}$ mit einer Funktion aus $\mathcal{S}^2(\mathcal{T}_h)$. Formal ist $g \in H^{1/2}(\Gamma)$, allerdings nehmen wir zusätzlich an, dass $g \in H^1(\Gamma) \subset H^{1/2}(\Gamma)$, wodurch wir erreichen, dass g zusätzlich stetig ist. Eine Möglichkeit ist, g durch seine L^2 -Projektion auf $\mathcal{S}^2(\mathcal{T}_h)$ zu diskretisieren

$$G_h := \sum_{j=1}^{\tilde{N}} g_{h;j}^1 \zeta_j^1 + \sum_{j=1}^N g_{h;j}^2 \zeta_j^2 \in \mathcal{S}^2(\mathcal{T}_h) \subset H^1(\Gamma) \quad (3.11)$$

mit

$$\int_{\Gamma} G_h \zeta d\Gamma = \int_{\Gamma} g \zeta d\Gamma \quad \text{für alle } \zeta \in \mathcal{S}^2(\mathcal{T}_h), \quad (3.12)$$

wobei $g_{h;j}^k \in \mathbb{R}$ die entsprechenden Koeffizienten des Koeffizientenvektors $\mathbf{g}_h = (g_h^1, g_h^2)^T \in \mathbb{R}^{\tilde{N}+N}$ sind. Da der diskrete Raum $\mathcal{P}^1(\mathcal{T}_h)$ ein Teilraum von $H^{1/2}(\Gamma)$ ist, definiert $\langle \cdot, \cdot \rangle_V$ auch ein Skalarprodukt auf $\mathcal{P}^1(\mathcal{T}_h)$. Daher gibt es eine eindeutige Lösung $\Phi_h \in \mathcal{P}^1(\mathcal{T}_h)$ von

$$\langle V \Phi_h, \Psi_h \rangle_{\Gamma} = \langle (K + 1/2) G_h, \Psi_h \rangle_{\Gamma} \quad \text{für alle } \Psi_h \in \mathcal{P}^1(\mathcal{T}_h).$$

²Für geschlossene Ränder Γ gilt, dass die Anzahl der Knoten mit der Anzahl an Elementen übereinstimmt, das heißt es gilt $\tilde{N} = N$.

Dies ist äquivalent zu

$$\langle V\Phi_h, \chi_i^m \rangle_\Gamma = \langle (K + 1/2)G_h, \chi_i^m \rangle_\Gamma \quad \text{für alle } i = 1, \dots, N \text{ und } m = 0, 1. \quad (3.13)$$

Sei $\mathbf{x}_h = (\mathbf{x}_h^0, \mathbf{x}_h^1)^T \in \mathbb{R}^{2N}$ der Koeffizientenvektor für den Ansatz

$$\Phi_h = \sum_{j=1}^N x_{h;j}^0 \chi_j^0 + \sum_{j=1}^N x_{h;j}^1 \chi_j^1.$$

Nun können wir (3.13) umschreiben:

$$\sum_{k=0}^1 \sum_{j=1}^N x_{h;j}^k \langle V\chi_j^k, \chi_i^m \rangle_\Gamma = \sum_{k=1}^2 \sum_{j=1}^{N_k} g_{h;j}^k \langle (K + 1/2)\zeta_j^1, \chi_i^m \rangle_\Gamma \quad (3.14)$$

für alle $i = 1, \dots, N$ und $m = 0, 1$. Dabei ist $N_1 = \tilde{N}$ und $N_2 = N$. Für das Einfachschichtpotential V sei die Einfachschichtpotential-Operatormatrix \mathbf{V} für $\mathcal{P}^1(\mathcal{T}_h)$ Ansatz- und Testfunktionen definiert durch

$$\mathbf{V} := \begin{pmatrix} \mathbf{V}^{(00)} & \mathbf{V}^{(01)} \\ \mathbf{V}^{(10)} & \mathbf{V}^{(11)} \end{pmatrix} \in \mathbb{R}^{2N \times 2N}, \quad (3.15)$$

wobei die einzelnen Submatrizen $\mathbf{V}^{(\ell m)} \in \mathbb{R}^{N \times N}$ für $\ell, m \in \{0, 1\}$ durch

$$\begin{aligned} \mathbf{V}_{ij}^{(mk)} &:= \langle V\chi_j^k, \chi_i^m \rangle_\Gamma \\ &= -\frac{1}{2\pi} \int_{T_i} \int_{T_j} \log(|\mathbf{x} - \mathbf{y}|) \chi_j^k(\mathbf{y}) \chi_i^m(\mathbf{x}) ds_{\mathbf{y}} ds_{\mathbf{x}} \end{aligned} \quad (3.16)$$

gegeben sind. Analog dazu kann man auch für den Doppelschichtoperator K die Doppelschicht-Operatormatrix \mathbf{K} für $\mathcal{S}^2(\mathcal{T}_h)$ Ansatz- und $\mathcal{P}^1(\mathcal{T}_h)$ Testfunktionen definieren:

$$\mathbf{K} := \begin{pmatrix} \mathbf{K}^{(01)} & \mathbf{K}^{(02)} \\ \mathbf{K}^{(11)} & \mathbf{K}^{(12)} \end{pmatrix} \in \mathbb{R}^{2N \times (\tilde{N} + N)}. \quad (3.17)$$

Die Einträge der Submatrizen $\mathbf{K}^{(m1)} \in \mathbb{R}^{N \times \tilde{N}}$ und $\mathbf{K}^{(m2)} \in \mathbb{R}^{N \times N}$ für $m \in \{0, 1\}$ sind dabei durch

$$\begin{aligned} \mathbf{K}_{ij}^{(mk)} &:= \langle K\zeta_j^k, \chi_i^m \rangle_\Gamma \\ &= -\frac{1}{2\pi} \int_{T_i} \int_{\text{supp}(\zeta_j^k)} \frac{(\mathbf{y} - \mathbf{x}) \cdot \mathbf{n}(\mathbf{y})}{|\mathbf{x} - \mathbf{y}|^2} \zeta_j^k(\mathbf{y}) \chi_i^m(\mathbf{x}) ds_{\mathbf{y}} ds_{\mathbf{x}} \end{aligned} \quad (3.18)$$

gegeben. Für $k = 2$ stimmt der Träger $\text{supp}(\zeta_j^k)$ mit T_j überein. Im Fall $k = 1$ erstreckt sich der Träger von ζ_j^k über bis zu zwei Elemente. Das sind genau die beiden, bei welchen \mathbf{z}_j ein Eckpunkt ist.

Zusätzlich möchten wir noch die Masse-Matrix $\mathbf{M} \in \mathbb{R}^{2N \times (\tilde{N} + N)}$ definieren:

$$\mathbf{M} := \begin{pmatrix} \mathbf{M}^{(01)} & \mathbf{M}^{(02)} \\ \mathbf{M}^{(11)} & \mathbf{M}^{(12)} \end{pmatrix} \in \mathbb{R}^{2N \times (\tilde{N} + N)}. \quad (3.19)$$

Die Einträge der Submatrizen $\mathbf{M}^{(m1)} \in \mathbb{R}^{N \times \tilde{N}}$ für $m \in \{0, 1\}$ und $\mathbf{M}^{(m2)} \in \mathbb{R}^{N \times N}$ für $m \in \{0, 1\}$ sind dabei durch

$$\mathbf{M}_{ij}^{(mk)} := \langle \zeta_j^k, \chi_i^m \rangle_\Gamma \quad (3.20)$$

gegeben.

Nun können wir die Galerkin Formulierung (3.14) äquivalent als lineares Gleichungssystem darstellen:

$$\mathbf{V} \mathbf{x}_h = \mathbf{K} \mathbf{g}_h + \frac{1}{2} \mathbf{M} \mathbf{g}_h. \quad (3.21)$$

Insbesondere ist \mathbf{V} eine positiv definite symmetrische Matrix, da sie von einem Skalarprodukt, nämlich $\mathbf{V}_{ij}^{(mk)} = \langle \langle \chi_j^k, \chi_i^m \rangle \rangle_V$, abgeleitet ist.

Bemerkung 3.1. Um die Resultate aus Abschnitt 2 auf die Matrizen \mathbf{V} und \mathbf{K} anwenden zu können, ist es notwendig, sich zu überlegen, dass $\log(|\mathbf{x} - \mathbf{y}|)$ und $(\mathbf{y} - \mathbf{x})/|\mathbf{x} - \mathbf{y}|^2$ für $\mathbf{x}, \mathbf{y} \in \mathbb{R}^2$ (komponentenweise) asymptotisch glatte Kernfunktionen sind.

Für die eindimensionale Kernfunktion $(x, y) \mapsto \log(|x - y|)$ mit $x, y \in \mathbb{R}$ sieht man mit Hilfe von [15, Gleichung (4.12)]

$$\partial_x^\ell \log(|x - y|) = (-1)^{\ell-1} \frac{(\ell - 1)!}{(x - y)^\ell} \quad \text{für alle } \ell \in \mathbb{N}$$

unmittelbar, dass es sich um eine asymptotisch glatte Kernfunktion handelt. Dabei sei eine eindimensionale asymptotisch glatte Kernfunktion analog zu Definition 2.14 erklärt. [15, Satz E.2.1] verallgemeinert dieses Resultat nun auch auf die entsprechende zweidimensionale Funktion $(\mathbf{x}, \mathbf{y}) \mapsto \log(|\mathbf{x} - \mathbf{y}|)$ für $\mathbf{x}, \mathbf{y} \in \mathbb{R}^2$.

Die Funktion $(\mathbf{x}, \mathbf{y}) \mapsto (\mathbf{y} - \mathbf{x}) \cdot \mathbf{n}(\mathbf{y}) / |\mathbf{x} - \mathbf{y}|^2$ ist genau die Normalenableitung von $\log(|\mathbf{x} - \mathbf{y}|)$ entlang von $\mathbf{n}(\mathbf{y})$. Mit Definition 2.14 sehen wir, dass die Ableitung einer asymptotisch glatten Kernfunktion wieder asymptotisch glatt ist, das heißt $\partial_z \log(|\mathbf{x} - \mathbf{y}|)$ für $z \in \{y_1, y_2\}$ ist asymptotisch glatt. Es gilt

$$\frac{(\mathbf{y} - \mathbf{x}) \cdot \mathbf{n}(\mathbf{y})}{|\mathbf{x} - \mathbf{y}|^2} = \partial_{y_1} \log(|\mathbf{x} - \mathbf{y}|) n_1(\mathbf{y}) + \partial_{y_2} \log(|\mathbf{x} - \mathbf{y}|) n_2(\mathbf{y}) \quad (3.22)$$

für $\mathbf{n}(\mathbf{y}) = (n_1(\mathbf{y}), n_2(\mathbf{y}))^T \in \mathbb{R}^2$. Sei nun $\mathbf{y} \in T_j$ für ein festes T_j . Dann ist $\mathbf{n}(\mathbf{y})$ konstant. Für einen Eintrag der Matrix \mathbf{K} betrachten wir den Integranden (siehe (3.18))

$$\frac{(\mathbf{y} - \mathbf{x}) \cdot \mathbf{n}(\mathbf{y})}{|\mathbf{x} - \mathbf{y}|^2} \zeta_j^k(\mathbf{y}) \chi_i^m(\mathbf{x}).$$

Wenn wir nun definieren $\tilde{\zeta}_j^k(\mathbf{y}) := n_1(\mathbf{y}) \zeta_j^k(\mathbf{y})$ und diese Funktion statt $\zeta_j^k(\mathbf{y})$ in (3.18) einsetzen, so haben wir mit

$$\partial_{y_1} \log(|\mathbf{x} - \mathbf{y}|) = (y_1 - x_1) / (|\mathbf{x} - \mathbf{y}|^2)$$

eine asymptotisch glatte Kernfunktion und können die Resultate aus Abschnitt 2 anwenden. Analog verfährt man für die zweite Komponente.

Wie bereits in Bemerkung 2.13 erwähnt, betrachten wir nicht genau die Matrix \mathbf{V} , sondern eine approximierende Matrix \mathbf{V}_p . Bei dieser wird bei bestimmten Einträgen das Integral über das kürzere Randstück durch Gauß-Quadratur vom Grad p ersetzt. In anderen Fällen werden beide Integrale durch Quadratur ersetzt. Für Details möchten wir hier auf Abschnitt 2 verweisen. Da bei der analytischen Berechnung der Einträge der Matrix \mathbf{V} Auslöschungseffekte auftreten, ist es praktisch gesehen sinnvoller, für eine stabile Berechnung die approximierende Matrix \mathbf{V}_p zu verwenden. In Satz 2.22 beziehungsweise Satz 2.24 haben wir gezeigt, dass die Matrix \mathbf{V}_p in der Frobeniusnorm exponentiell schnell gegen die Matrix \mathbf{V} konvergiert. Für diesen Abschnitt möchten wir im folgenden nicht mehr unterscheiden, auf welche Weise \mathbf{V} berechnet wurde, sondern schreiben auch für die approximierende Matrix einfach \mathbf{V} .

Auch für die Matrix \mathbf{K} möchten wir eine approximierende Matrix \mathbf{K}_p verwenden. Ähnlich wie in Definition 2.21 möchten wir bei η -max-Zulässigkeit beide Integrale durch Gauß-Quadratur vom Grad p ersetzen und bei η -min-Zulässigkeit nur das Integral über das kürzere Randstück durch Quadratur ersetzen. Eine zweite Variante wäre, die Matrix \mathbf{K} durch die approximierende Matrix \mathbf{K}_p gemäß Definition 2.23 zu definieren.

In beiden Fällen müssen wir uns überlegen, dass bei \mathbf{K} Ansatzfunktionen auftreten, deren Träger sich im Allgemeinen über mehr als ein Element, maximal aber über zwei Elemente, erstrecken. Dies betrifft allerdings ausschließlich die Basisfunktionen ζ_j^1 für $j = 1, \dots, \tilde{N}$ des Ansatzraums $\mathcal{S}^1(\mathcal{T}_h)$. Für die stückweise quadratischen Basisfunktionen ζ_j^2 für $j = 1, \dots, N$ gilt $\text{supp}(\zeta_j^2) \subset T_j$. Sei für einen festen Eintrag $\mathbf{K}_{ij}^{(m1)}$ der Matrix \mathbf{K} die zugehörige Basisfunktion $\zeta_j^1 \in \mathcal{S}^1(\mathcal{T}_h)$, die zu einem bestimmten Knoten \mathbf{z}_j gehört. Dieser Knoten ist im Allgemeinen Randknoten von zwei Elementen. Diese bezeichnen wir mit T_{j_1} und T_{j_2} . Dann können wir (3.18) für $m = 1$ auch schreiben als

$$\begin{aligned} \mathbf{K}_{ij}^{(m1)} &= -\frac{1}{2\pi} \int_{T_i} \int_{T_{j_1}} \frac{(\mathbf{y} - \mathbf{x}) \cdot \mathbf{n}(\mathbf{y})}{|\mathbf{x} - \mathbf{y}|^2} \zeta_j^1(\mathbf{y}) \chi_i^m(\mathbf{x}) ds_{\mathbf{y}} ds_{\mathbf{x}} \\ &\quad - \frac{1}{2\pi} \int_{T_i} \int_{T_{j_2}} \frac{(\mathbf{y} - \mathbf{x}) \cdot \mathbf{n}(\mathbf{y})}{|\mathbf{x} - \mathbf{y}|^2} \zeta_j^1(\mathbf{y}) \chi_i^m(\mathbf{x}) ds_{\mathbf{y}} ds_{\mathbf{x}}. \end{aligned} \tag{3.23}$$

Das heißt, die Elemente $\mathbf{K}_{ij}^{(m1)}$ der Matrix \mathbf{K} lassen sich auch als Summe zweier Doppelintegrale darstellen, wobei der Integrationsbereich der einzelnen Integrale sich in diesem Fall nur über je ein Element erstreckt. Nun können wir so wie in Definition 2.21 beziehungsweise 2.23 vorgehen und für die einzelnen Doppelintegrale getrennt die Zulässigkeitsbedingungen überprüfen und so die Approximation für die Doppelintegrale berechnen. Mit dieser Methode erhalten wir auch eine approximierende Matrix \mathbf{K}_p für \mathbf{K} .

Ebenso wie für \mathbf{V} erhalten wir auch für \mathbf{K} mit Satz 2.22 beziehungsweise Satz 2.24, dass die approximierende Matrix exponentiell schnell gegen die exakte Matrix \mathbf{K} konvergiert. Auch für \mathbf{K} möchten wir für diesen Abschnitt notationell nicht mehr unterscheiden auf welche Weise \mathbf{K} berechnet wurde und schreiben sowohl für die exakte Matrix, die approximierende Matrix nach max-min-Kriterium als auch für die approximierende Matrix nach min-Kriterium einfach \mathbf{K} .

3.1.3 Indirekte Randintegralmethode

Eine andere Methode zur Lösung von (3.1) ist die indirekte Randintegralmethode. Mit dem Einfachschichtpotential \tilde{V} gilt nun laut [9, Theorem 12]

$$-\Delta\tilde{V}\phi = 0 \quad \text{für alle } \phi \in H^{-1/2}(\Gamma). \quad (3.24)$$

Nun können wir den sogenannten *indirekten Ansatz* $u = \tilde{V}\phi$ machen. Mit (3.24) ist die Laplace-Gleichung erfüllt und es gelte für gegebenes $g \in H^{1/2}(\Gamma)$

$$V\phi = g, \quad (3.25)$$

wobei $V = \gamma_0\tilde{V}$ wie in (3.4). Wenn man nun eine Funktion $\phi \in H^{-1/2}(\Gamma)$ finden kann, die (3.25) löst, dann hat man mit $\tilde{V}\phi$ eine Lösung des Problems (3.1) gefunden. Mit $\langle\langle \cdot, \cdot \rangle\rangle_V$ aus (3.8) erhalten wir die Variationsformulierung von (3.25):

$$\langle\langle \phi, \psi \rangle\rangle_V = \langle g, \psi \rangle_\Gamma \quad \text{für alle } \psi \in H^{-1/2}(\Gamma). \quad (3.26)$$

Für dieses Problem existiert zwar eine eindeutige Lösung, da es aber im Allgemeinen nicht möglich ist, diese exakt zu berechnen, werden wir auch hier (3.26) approximativ unter Anwendung des Galerkin-Verfahrens lösen. Wie in Kapitel 3.1.2 approximieren wir auch hier den Raum $H^{-1/2}(\Gamma)$ durch den endlichdimensionalen Unterraum $\mathcal{P}^1(\mathcal{T}_h)$ und den Raum $H^{1/2}(\Gamma)$ durch den endlichdimensionalen Unterraum $\mathcal{S}^2(\mathcal{T}_h)$. Dabei diskretisieren wir zuerst $g \in H^{1/2}(\Gamma)$ indem wir g durch die L^2 -Projektion G_h auf $\mathcal{S}^2(\mathcal{T}_h)$ approximieren. Sei also G_h so wie in (3.11) gemeinsam mit der Bedingung (3.12). Dann suchen wir eine Lösung $\Phi_h \in \mathcal{P}^1(\mathcal{T}_h)$ mit

$$\langle\langle \Phi_h, \psi_h \rangle\rangle_V = \langle G_h, \psi_h \rangle_\Gamma \quad \text{für alle } \psi_h \in \mathcal{P}^1(\mathcal{T}_h).$$

Mit der Basis $\{\chi_1^0, \chi_2^0, \dots, \chi_N^0, \chi_1^1, \chi_2^1, \dots, \chi_N^1\}$ von $\mathcal{P}^1(\mathcal{T}_h)$ ist das äquivalent zu

$$\langle\langle \Phi_h, \chi_i^m \rangle\rangle_V = \langle G_h, \chi_i^m \rangle_\Gamma \quad \text{für alle } i = 1, \dots, N \text{ und } m = 0, 1. \quad (3.27)$$

Da $\langle\langle \cdot, \cdot \rangle\rangle_V$ auch ein Skalarprodukt auf $\mathcal{P}^1(\mathcal{T}_h) \subset H^{-1/2}(\Gamma)$ ist, existiert für (3.27) eine eindeutige Lösung $\Phi_h \in \mathcal{P}^1(\mathcal{T}_h)$. Die Galerkin-Lösung ist sogar die Bestapproximation bezüglich des Unterraums $\mathcal{P}^1(\mathcal{T}_h)$. Das heißt, es gilt

$$\|\phi - \Phi_h\| \leq \|\phi - \psi_h\| \quad \text{für alle } \psi_h \in \mathcal{P}^1(\mathcal{T}_h).$$

Sei nun $\mathbf{x}_h = (\mathbf{x}_h^0, \mathbf{x}_h^1)^T \in \mathbb{R}^{2N}$ der Koordinatenvektor der diskreten Lösung Φ_h bezüglich der Basis $\{\chi_{1,j}^0, \chi_{2,j}^0, \dots, \chi_{N,j}^0, \chi_{1,j}^1, \chi_{2,j}^1, \dots, \chi_{N,j}^1\}$. Das heißt, es gilt

$$\Phi_h = \sum_{j=1}^N \mathbf{x}_{h;j}^0 \chi_j^0 + \sum_{j=1}^N \mathbf{x}_{h;j}^1 \chi_j^1.$$

Nun können wir (3.27) folgendermaßen umschreiben:

$$\sum_{k=0}^1 \sum_{j=1}^N \mathbf{x}_{h;j}^k \langle V \chi_j^k, \chi_i^m \rangle_\Gamma = \sum_{k=1}^2 \sum_{j=1}^{N_k} g_{h;j}^k \langle \zeta_j^k, \chi_i^m \rangle_\Gamma \quad \text{für alle } i = 1, \dots, N \text{ und } m = 0, 1. \quad (3.28)$$

Dabei ist $N_1 = \tilde{N}$ und $N_2 = N$ und $g_{h,j}^k \in \mathbb{R}$ sind die entsprechenden Koeffizienten des Koeffizientenvektors $\mathbf{g}_h = (\mathbf{g}_h^1, \mathbf{g}_h^2)^T \in \mathbb{R}^{\tilde{N}+N}$ aus der Darstellung (3.11). Mit der Matrix \mathbf{V} aus (3.15) beziehungsweise (3.16) und \mathbf{M} aus (3.19) beziehungsweise (3.20) können wir nun (3.28) folgendermaßen umschreiben:

$$\mathbf{V}\mathbf{x}_h = \mathbf{M}\mathbf{g}_h.$$

Auch hier verwenden wir eigentlich nicht die Matrix \mathbf{V} , sondern die approximierende Matrix \mathbf{V}_p und unterscheiden auch im Weiteren nicht auf welche Weise \mathbf{V} berechnet wurde und schreiben auch für die approximierende Matrix \mathbf{V} .

Bemerkung 3.2. Sowohl für die Randelementmethode als auch für die indirekte Randintegralmethode haben wir nun als Diskretisierungsräume für $H^{1/2}(\Gamma)$ den Unterraum $\mathcal{S}^2(\mathcal{T}_h)$ und für $H^{-1/2}(\Gamma)$ den Unterraum $\mathcal{P}^1(\mathcal{T}_h)$ gewählt. Stattdessen hätten wir auch $\mathcal{S}^1(\mathcal{T}_h) \subset H^{1/2}(\Gamma)$ beziehungsweise $\mathcal{P}^0(\mathcal{T}_h) \subset H^{-1/2}(\Gamma)$ wählen können. Das Galerkin-Verfahren lässt sich hier sowohl für die Randelementmethode als auch für die indirekte Randintegralmethode mit Vereinfachungen an einigen Stellen komplett analog durchführen. Der Vorteil dabei ist, dass sich die Dimension der auftretenden Vektoren und Matrizen verringert, da auch die Dimension der Diskretisierungsräume geringer ist. Für den Koeffizientenvektor \mathbf{g}_h der diskretisierten Dirichletdaten G_h beziehungsweise den Koeffizientenvektor \mathbf{x}_h der diskreten Lösung Φ_h gilt $\mathbf{g}_h, \mathbf{x}_h \in \mathbb{R}^N$. Auch die Matrizen \mathbf{V}, \mathbf{K} und \mathbf{M} reduzieren sich auf die erste Submatrix $\mathbf{V}^{(00)} \in \mathbb{R}^{N \times N}$ und $\mathbf{K}^{(01)}, \mathbf{M}^{(01)} \in \mathbb{R}^{N \times \tilde{N}}$ (vgl. (3.15), (3.17) und (3.19)). Als Folge davon müssen wir bei den Gleichungen $\mathbf{V}\mathbf{x}_h = \mathbf{K}\mathbf{g}_h + 1/2\mathbf{M}\mathbf{g}_h$ beziehungsweise $\mathbf{V}\mathbf{x}_h = \mathbf{g}_h$ nur N und nicht $2N$ lineare Gleichungen lösen. Für eine große Elementanzahl N ist das natürlich weniger aufwendig.

Für die $\mathcal{S}^1(\mathcal{T}_h)$ - $\mathcal{P}^0(\mathcal{T}_h)$ -Variante ist das Galerkin-Verfahren und die Berechnung der Fehlerschätzer in [12] ausführlich dokumentiert.

Der Fokus dieser Arbeit liegt allerdings auf der $\mathcal{S}^2(\mathcal{T}_h)$ - $\mathcal{P}^1(\mathcal{T}_h)$ -Variante. Obwohl diese Variante aufwendiger ist, ist die Galerkin-Approximation der exakten Lösung wesentlich besser.

3.1.4 Fehlerschätzer

Mit Hilfe des Galerkin-Verfahrens wird nur eine approximative Lösung für das Problem ermittelt. Damit wir nun eine Aussage über die Genauigkeit der approximierten Lösung machen können, interessieren wir uns für den Fehler $\|\phi - \Phi_h\|$.

Für die Randelementmethode sei ϕ die exakte Lösung von (3.7) und Φ_h die zugehörige Galerkin-Lösung. Zusätzlich sei ϕ_h die exakte Lösung der Variationsformulierung

$$\langle V\phi_h, \psi \rangle_\Gamma = \langle (K + 1/2)G_h, \psi \rangle_\Gamma \quad \text{für alle } \psi \in H^{-1/2}(\Gamma) \quad (3.29)$$

mit gestörter rechter Seite, bei welcher wir die Approximation $G_h \approx g$ verwenden. Mit dem Galerkin-Verfahren approximieren wir eigentlich nicht die Lösung von (3.7), sondern die Lösung ϕ_h von (3.29). Betrachten wir also den Fehler $\|\phi_h - \Phi_h\|$. Da es im Allgemeinen nicht möglich ist die Lösung ϕ_h zu ermitteln, möchten wir einen Fehlerschätzer finden, der sich im Wesentlichen so verhält wie der Fehler selbst. Da das Einfachschichtpotential $V : H^{-1/2}(\Gamma) \rightarrow H^{1/2}(\Gamma)$ ein Isomorphismus ist, können wir nun das Residuum der Symm'schen Integralgleichung (3.6) auf dem Netz \mathcal{T}_h betrachten:

$$\|V\Phi_h - (K + 1/2)G_h\|_{H^{1/2}(\Gamma)} \simeq \|\phi_h - \Phi_h\|.$$

Die linke Seite der oberen Gleichung liefert uns also einen effizienten und zuverlässigen Fehlerschätzer für die rechte Seite. Da wir später den Fehlerschätzer verwenden wollen, um das Netz \mathcal{T}_h lokal zu verfeinern, brauchen wir einen Fehlerschätzer mit lokalen Beiträgen für jedes Element $T \in \mathcal{T}_h$. Da uns die $H^{1/2}$ -Norm keine lokale Information liefert, können wir laut [12, Kapitel 9.7] auch die folgende Lokalisierung verwenden, für welche gilt

$$\begin{aligned} & \|V\Phi_h - (K + 1/2)G_h\|_{H^{1/2}(\Gamma)}^2 \\ & \lesssim \sum_{T \in \mathcal{T}_h} \text{diam}(T) \|(V\Phi_h - (K + 1/2)G_h)'\|_{L^2(T)}^2 =: \sum_{T \in \mathcal{T}_h} \rho_h(T)^2 =: \rho_h^2. \end{aligned} \quad (3.30)$$

Dabei bezeichne $(\cdot)'$ die Tangentialableitung. Das Zeichen \lesssim bedeutet, dass die linke Seite kleiner gleich einer positiven Konstante mal der rechten Seite ist. In unserem Fall hängt diese Konstante nur von Γ und einer oberen Schranke für die *K-Netz Konstante*

$$\kappa(\mathcal{T}_h) := \sup\{\text{diam}(T_j)/\text{diam}(T_k) : T_j, T_k \in \mathcal{T}_h \text{ mit } T_j \cap T_k \neq \emptyset\}$$

ab. Als *Residualschätzer* ρ_h bezeichnen wir nun den globalen Fehlerschätzer, welcher als $\rho_h = \|h^{1/2}(V\Phi_h - (1/2 + K)G_h)'\|_{L^2(\Gamma)}$ geschrieben werden kann. Hier bezeichne $h \in \mathcal{P}^0(\mathcal{T}_h)$ die *lokale Netzweitenfunktion*, eine stückweise konstante Funktion, die auf jedem Element die Länge dieses Elements annimmt. Das heißt, es gilt $h|_T = \text{diam}(T)$ für alle $T \in \mathcal{T}_h$.

Auch für die indirekte Randintegralmethode können wir analog zur Randelementmethode vorgehen und erhalten auch hier einen gewichteten Residualschätzer

$$\rho_h := \|h^{1/2}(V\Phi_h - G_h)'\|_{L^2(\Gamma)}. \quad (3.31)$$

Unter Anwendung von [14, Theorem 5.1] in Kombination mit [14, Theorem 7.2] erhalten wir, dass sowohl ρ_h aus (3.30) als auch ρ_h aus (3.31) zuverlässige Fehlerschätzer sind.

3.1.5 Netzverfeinerung

Um den Approximationsfehler zu verbessern, gibt es die Möglichkeit, das Gitternetz \mathcal{T}_h zu verfeinern. Das heißt, wir wählen ein feineres Gitter $\widehat{\mathcal{T}}_h$, sodass $\mathcal{P}^1(\mathcal{T}_h) \subset \mathcal{P}^1(\widehat{\mathcal{T}}_h)$. Damit wird der Fehler wegen

$$\|\phi - \widehat{\Phi}_h\| \leq \|\phi - \widehat{\Psi}_h\| \quad \text{für alle } \widehat{\Psi}_h \in \mathcal{P}^1(\widehat{\mathcal{T}}_h)$$

kleiner. Dabei sei $\widehat{\Phi}_h$ die Galerkin-Lösung auf dem feineren Gitter.

Für die Netzverfeinerung gibt es mehrere Möglichkeiten. Eine Option ist, das Netz *uniform* zu verfeinern, indem man in jedem Verfeinerungsschritt jedes Element in eine feste Anzahl von feineren Elementen unterteilt. Für diese Arbeit möchten wir speziell jedes Element in zwei gleich große feinere Elemente teilen.

Eine weitere Möglichkeit ist die sogenannte *adaptive* Netzverfeinerung. Dabei werden nicht alle, sondern nur bestimmte Elemente verfeinert. Wir möchten insbesondere jene Elemente auswählen, für welche der lokale Fehleranteil am größten ist, um so den Fehler optimal zu minimieren. Dieses Auswahlkriterium realisieren wir mittels der *Dörfler Markierungsstrategie*. Dabei wählen wir für eine fest gewählte Konstante $\theta \in (0, 1)$ eine bezüglich der Elementanzahl minimale Teilmenge $\mathcal{M}_h \subseteq \mathcal{T}_h$, sodass

$$\theta \sum_{T \in \mathcal{T}_h} \rho_h(T)^2 \leq \sum_{T \in \mathcal{M}_h} \rho_h(T)^2 \quad (3.32)$$

gilt. Es bezeichnen $\rho_h(T)$ die lokalen Anteile des Fehlerschätzers aus (3.30) beziehungsweise (3.31). Tatsächlich erreichen wir mit uniformer Netzverfeinerung, dass der Fehler schneller gegen 0 geht. Der Fehler konvergiert bei uniformer Netzverfeinerung in Abhängigkeit der Anzahl der Randelemente N mit einer Rate $\mathcal{O}(N^{-r})$.

Bei adaptiver Netzverfeinerung hängt die Rate von der Wahl der gewählten Diskretisierungsräume ab. Falls wir den Raum $H^{1/2}(\Gamma)$ mit $\mathcal{S}^1(\mathcal{T}_h)$ und den Raum $H^{-1/2}(\Gamma)$ mit $\mathcal{P}^0(\mathcal{T}_h)$ diskretisieren, erhalten wir eine optimale Konvergenzrate von $\mathcal{O}(N^{-3/2})$.

Für den Fall, dass wir $H^{1/2}(\Gamma)$ durch $\mathcal{S}^2(\mathcal{T}_h)$ und $H^{-1/2}(\Gamma)$ durch $\mathcal{P}^1(\mathcal{T}_h)$ ersetzen, erhalten wir eine noch bessere optimale Konvergenzrate $\mathcal{O}(N^{-5/2})$.

3.1.6 Lösungsalgorithmus

Wir möchten an dieser Stelle einen Algorithmus zur Berechnung von Φ_h auf einem Netz \mathcal{T}_h angeben. Die Eingabeparameter des Algorithmus sind die Triangulierung \mathcal{T}_h und die Funktion für die Dirichlet-Daten am Rand g . Der Rückgabewert ist der Koeffizientenvektor \mathbf{x}_h von Φ_h bezüglich der gewählten Basis $\{\chi_1^0, \chi_2^0, \dots, \chi_N^0, \chi_1^1, \chi_2^1, \dots, \chi_N^1\}$ von $\mathcal{P}^1(\mathcal{T}_h)$. Für die Randelementmethode beziehungsweise für die indirekte Randintegralmethode sieht der Algorithmus folgendermaßen aus:

1. Berechne die rechte Seite:

- (a) Randelementmethode: Erzeuge die Matrix \mathbf{K} und die Matrix \mathbf{M} bezüglich der Triangulierung \mathcal{T}_h . Erzeuge den Koeffizientenvektor \mathbf{g}_h der diskreten Funktion G_h bezüglich der Basis $\{\zeta_1^1, \zeta_2^1, \dots, \zeta_N^1, \zeta_1^2, \zeta_2^2, \dots, \zeta_N^2\}$ von $\mathcal{S}^1(\mathcal{T}_h)$. Berechne $\mathbf{K}\mathbf{g}_h + 1/2\mathbf{M}\mathbf{g}_h$.
- (b) indirekte Randintegralmethode: Erzeuge den Koeffizientenvektor \mathbf{g}_h der diskreten rechten Seite G_h bezüglich der Basis $\{\zeta_1^1, \zeta_2^1, \dots, \zeta_N^1, \zeta_1^2, \zeta_2^2, \dots, \zeta_N^2\}$ von $\mathcal{S}^1(\mathcal{T}_h)$.

2. Erzeuge die Matrix \mathbf{V} bezüglich der Triangulierung \mathcal{T}_h .

3. Löse das lineare Gleichungssystem

- (a) Randelementmethode:

$$\mathbf{V}\mathbf{x}_h = \mathbf{K}\mathbf{g}_h + 1/2\mathbf{M}\mathbf{g}_h$$

- (b) indirekte Randintegralmethode:

$$\mathbf{V}\mathbf{x}_h = \mathbf{g}_h$$

4. Gib \mathbf{x}_h zurück.

3.1.7 Adaptiver Algorithmus

Für die Methode der adaptiven Netzverfeinerung möchten wir hier einen adaptiven Algorithmus angeben, der in jedem Schritt das Netz adaptiv verfeinert. Als Eingabeparameter erhält der Algorithmus das Startnetz \mathcal{T}_0 und die Funktion g . Außerdem erhält der Algorithmus ein fest gegebenes $0 < \theta < 1$ für die Dörfler Markierungsstrategie. Für diese Arbeit möchten wir speziell auch eine maximale Elementanzahl übergeben, damit der Algorithmus abbricht, sobald durch Verfeinern diese Anzahl erreicht wurde. Im Algorithmus

berechnen wir auch den Residualschätzer $\rho_h = (\sum_{T \in \mathcal{T}_h} \rho_h(T)^2)^{1/2}$ aus Abschnitt 3.1.4. Die lokalen Elementbeiträge $\rho_h(T)$ geben dabei eine Abschätzung für den Fehler zwischen der exakten Lösung ϕ_h mit gestörter rechter Seite und der Galerkin-Lösung Φ_h auf dem Element $T \in \mathcal{T}_h$ an. In Listenform lautet der Algorithmus folgendermaßen:

1. Berechne \mathbf{x}_h laut Lösungsalgorithmus aus Abschnitt 3.1.6.
2. Berechne die Verfeinerungsindikatoren ρ_h für alle $T \in \mathcal{T}_h$.
3. Finde nun mit der Dörfler Markierungsstrategie eine bezüglich der Kardinalität minimale Teilmenge $\mathcal{M}_h \subseteq \mathcal{T}_h$.
4. Verfeinere zumindest alle Elemente $T \in \mathcal{M}_h$ und erhalte ein Netz $\widehat{\mathcal{T}}_h$.
5. Abbruch, falls die Elementzahl der Triangulierung $\widehat{\mathcal{T}}_h$ die vorgegebene maximale Elementzahl überschritten hat.
6. Setze nun $\mathcal{T}_h := \widehat{\mathcal{T}}_h$ und gehe zum ersten Schritt.

3.2 Numerische Beispiele

In diesem Abschnitt möchten wir einige numerische Beispiele vorstellen. Dabei möchten wir ein besonderes Augenmerk auf die unterschiedlichen Berechnungen der approximierenden Matrix \mathbf{V}_p von \mathbf{V} und \mathbf{K}_p von \mathbf{K} legen. Laut Abschnitt 2.4 gibt es zwei verschiedene Varianten die approximierende Matrix zu berechnen: einmal mit max-min-Kriterium und einmal mit min-Kriterium. In den folgenden Beispielen werden wir sehen, dass wir mit der Berechnung durch das max-min-Kriterium für den Ansatzraum $\mathcal{S}^2(\mathcal{T}_h)$ und den Testraum $\mathcal{P}^1(\mathcal{T}_h)$ ein besseres Genauigkeitsniveau erreichen.

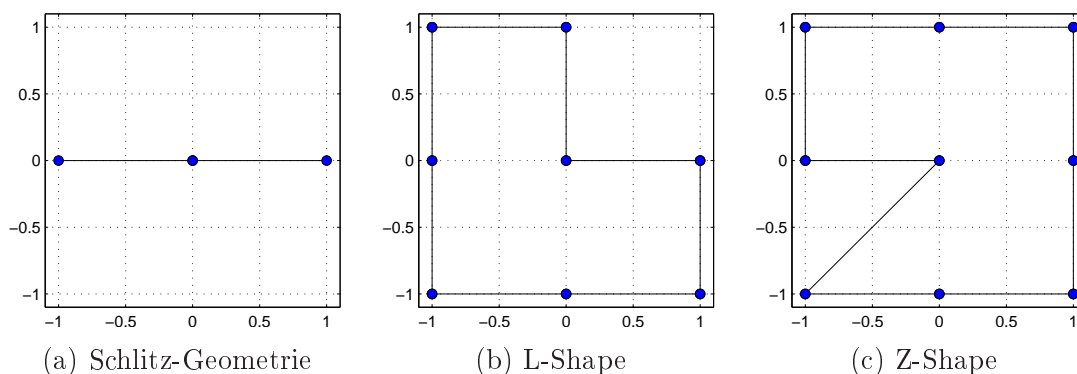


Abbildung 1: Unterschiedliche Geometrien

Für die Berechnungen betrachten wir drei unterschiedliche Geometrien, darunter die Schlitz-Geometrie (Abbildung 1a), das L-Shape (Abbildung 1b) und das Z-Shape (Abbildung 1c). Diese drei Geometrien haben wir gewählt, weil die exakte Lösung für die betrachteten Beispiele Singularitäten am Rand beziehungsweise an den Ecken aufweist. Für die Berechnungen haben wir ein vorgegebenes Startnetz verwendet und dieses dann adaptiv verfeinert. Dabei haben wir die Dörfler Markierungsstrategie (vgl. (3.32)) benützt mit $\theta = 0.5$ und dem gewichteten Residualschätzer ρ_h aus (3.31). Für die Berechnung

haben wir uns dann eine maximale Elementzahl vorgegeben, bis zu welcher gerechnet werden soll. Um schon im Vorhinein Instabilitäten geeignet abzufangen und somit eine Stagnation des Verfahrens rechtzeitig zu erkennen, haben wir in unserer Berechnung noch eine zusätzliche Abbruchbedingung eingeführt. Diese lautet:

Falls der berechnete Wert für ρ_h auf dem aktuellen Gitter größer ist als 10 mal das Minimum über alle bisher berechneten Werte für ρ_h , dann brich die Berechnung ab. (3.33)

3.2.1 Indirekte Randintegralmethode auf dem Schlitz

Wir betrachten die Laplace-Gleichung mit gegebenen Dirichlet-Randdaten

$$\begin{aligned} -\Delta u &= 0 & \text{auf } \Omega \subset \mathbb{R}^2, \\ u &= 1 & \text{auf } \Gamma := \partial\Omega, \end{aligned} \tag{3.34}$$

mit $\Omega := ([-1, 1] \times \{0\})^C \subset \mathbb{R}^2$. Um (3.34) zu lösen, möchten wir hier mittels der indirekten Randintegralmethode vorgehen. Wir möchten die exakte Lösung ϕ von

$$V\phi = 1$$

für $1 \in H^{1/2}(\Gamma)$ unter Anwendung des Galerkin-Verfahrens approximieren. Dabei sei die Diskretisierung für Γ durch folgende Gitterpunkte gegeben:

$$\left\{ \begin{pmatrix} -1 \\ 0 \end{pmatrix}, \begin{pmatrix} 0 \\ 0 \end{pmatrix}, \begin{pmatrix} 0 \\ 1 \end{pmatrix} \right\}.$$

Dieses Startnetz ist in Abbildung 1a dargestellt.

In Abbildung 2 betrachten wir den Fehler der approximierten Lösung Φ_h gegenüber der exakten Lösung ϕ in der Energienorm. Genauer gesagt betrachten wir den Fehler $\|\phi - \Phi_h\|$, wobei wegen der Galerkin-Orthogonalität gilt

$$\|\phi - \Phi_h\|^2 = \|\phi\|^2 - \|\Phi_h\|^2.$$

Da die exakte Lösung und daher auch ihre Norm nicht bekannt sind, müssen wir $\|\phi\|$ geeignet approximieren. In jedem adaptiven Schritt berechnen wir dann $\|\Phi_h\|$. Diese Werte können wir nun mit dem Aitken'schen Deltaquadrat-Verfahren extrapolieren. Das Aitken'sche Deltaquadrat-Verfahren ist ein Verfahren zur Verbesserung der Konvergenzgeschwindigkeit von Folgen. Für eine Folge $(x_n)_{n \in \mathbb{N}}$ ist es definiert durch

$$y_n := x_n - \frac{(x_{n+1} - x_n)^2}{x_{n+2} - 2x_{n+1} + x_n}.$$

Laut [6, Kapitel 5.2] wird so die Konvergenz der Folge $(y_n)_{n \in \mathbb{N}}$ beschleunigt. Wir wenden dieses Verfahren auf $\|\Phi_h\|$ an und erhalten mit dem letzten berechneten Wert, welcher der Approximation auf dem feinsten Gitter entspricht, eine gute Annäherung für den exakten Wert $\|\phi\|$.

In Abbildung 2 ist auf der x -Achse die Anzahl der Gitternetzkannten N aufgetragen. Für dieses Beispiel haben wir bis zu einer maximalen Elementanzahl $N = 1000$ gerechnet. Damit die Konvergenzraten des Fehlers optimal erkennbar sind, haben wir beide Koordinatenachsen logarithmisch skaliert. Wir sehen, dass in beiden Fällen die Fehler mit

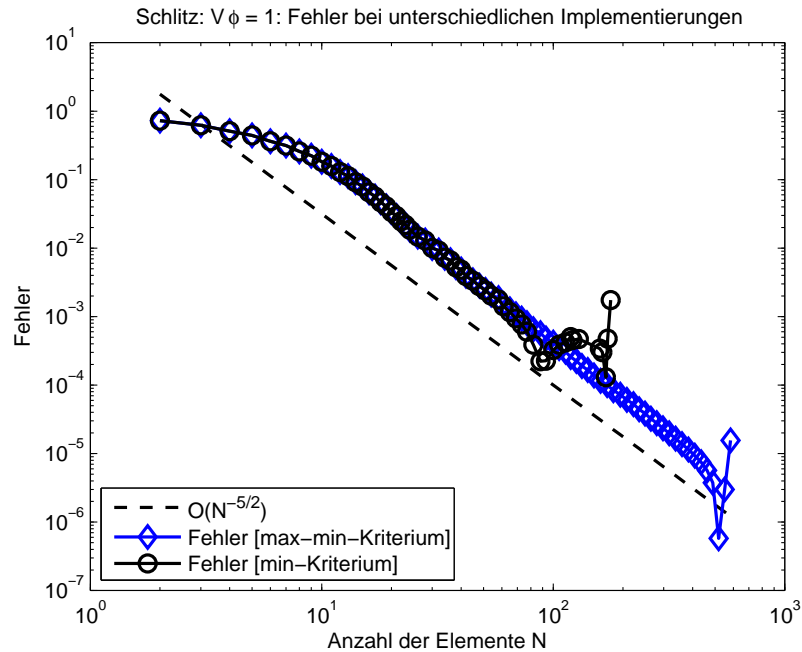


Abbildung 2: Schlitz: Fehler für Implementierung mit max-min-Kriterium vs. min-Kriterium

einer Rate $\mathcal{O}(N^{-5/2})$ gegen 0 streben. Allerdings sehen wir, dass bei der Implementierung mit min-Kriterium die Berechnung schon wesentlich früher instabil wird als mit max-min-Kriterium. Für das min-Kriterium erreichen wir nur ein Fehlerniveau von ungefähr $10^{-3.8}$, wohingegen wir mit dem max-min-Kriterium wesentlich genauer approximieren können und sogar bis $10^{-5.7}$ kommen. Obwohl wir eigentlich als maximale Elementzahl $N = 1000$ angegeben haben, wurde die Berechnung sowohl für das min-Kriterium als auch das max-min-Kriterium schon vorzeitig durch die Abbruchbedingung (3.33) abgebrochen. Bei der Implementierung mittels min-Kriterium begann das Verfahren bereits bei einer Elementanzahl von $N = 177$ zu stagnieren, wohingegen das Verfahren bei Implementierung mittels max-min-Kriterium erst bei einer Elementanzahl $N = 584$ zu stagnieren begann. Im Vergleich sind in Abbildung 3 zusätzlich die Fehlerschätzer ρ_h dargestellt. Da auch hier beide Achsen logarithmisch skaliert sind, sehen wir, dass sich auch die Fehlerschätzer wie $\mathcal{O}(N^{-5/2})$ verhalten. Insbesondere beobachten wir hier die Effizienz und Zuverlässigkeit des gewichteten Residualschätzers. Für die Implementierung mittels min-Kriterium sehen wir auch, dass der Fehlerschätzer etwas später als der tatsächliche Fehler wieder zu wachsen beginnt. Im Falle der Implementierung mittels max-min-Kriterium beginnt der Schätzer ebenfalls etwas später als der Fehler zu springen. Bevor der Fehler jedoch tatsächlich wieder wächst, fällt er zuerst noch einmal stark. Das liegt vermutlich daran, dass wir für $\|\phi\|$ einen approximativen Wert der durch Extrapolation berechnet wurde, verwendet haben. Interessant ist auch, dass bei dem zum max-min-Kriterium gehörigen Residualschätzer ρ_h keine Sprünge sichtbar sind, obwohl die Abbruchbedingung bei einer Elementanzahl $N = 584$ in Kraft tritt. Tatsächlich ist es so, dass der Fehlerschätzer bei der Elementanzahl, bei welcher die Abbruchbedingung erfüllt wird, schon den Wert Inf annimmt, das entspricht in MATLAB dem Wert ∞ .

Im Anschluss haben wir uns genauer angesehen, wie stark adaptiert das Gitter bereits ist.

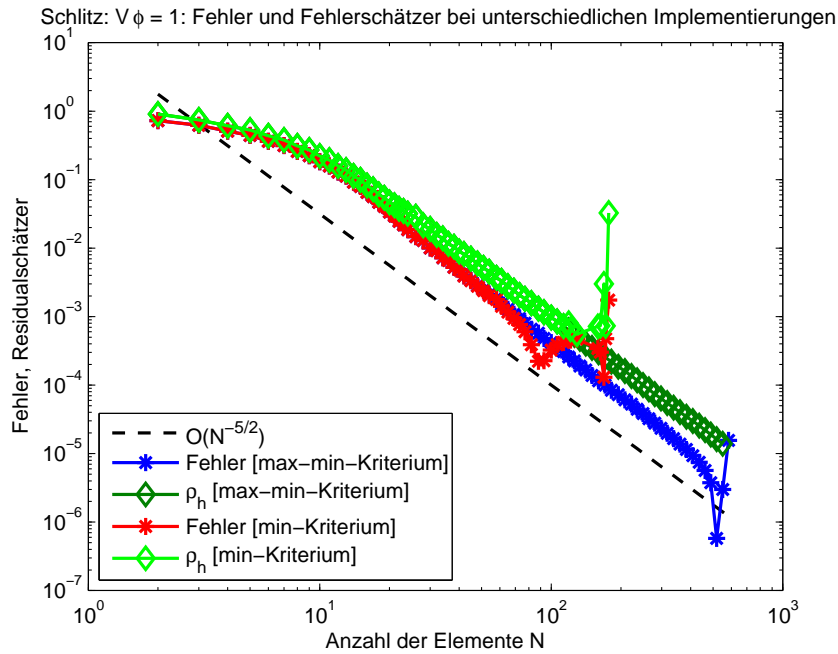


Abbildung 3: Schlitz: Fehler und Fehlerschätzer für Implementierung mit max-min-Kriterium vs. min-Kriterium

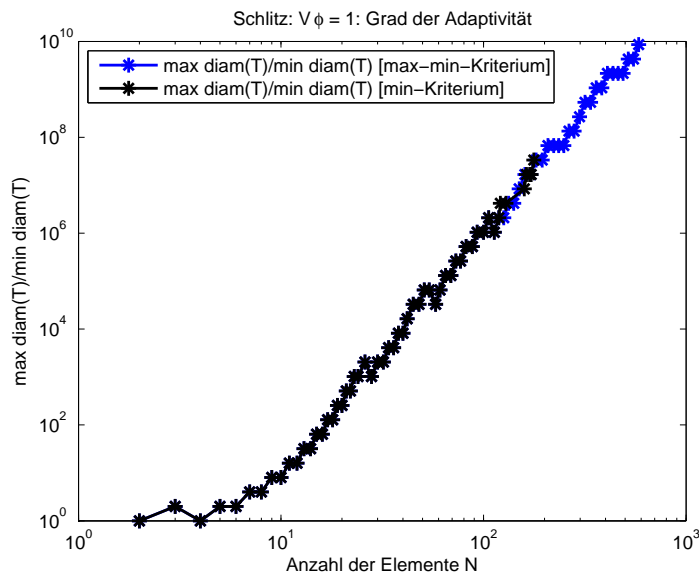


Abbildung 4: Schlitz: Grad der Adaptivität für Implementierung mit max-min-Kriterium vs. min-Kriterium

Für das Netz \mathcal{T}_h sei der Grad der Adaptivität τ folgendermaßen definiert

$$\tau := \frac{\max_{T \in \mathcal{T}_h} \text{diam}(T)}{\min_{T \in \mathcal{T}_h} \text{diam}(T)}. \quad (3.35)$$

Dieser gibt für das aktuelle Netz \mathcal{T}_h an, wie groß der Durchmesser des größten Elements im Vergleich zum kleinsten Element ist. In Abbildung 4 ist der Grad der Adaptivität τ für die

Implementierung mit min-Kriterium in schwarz dargestellt. Im Vergleich dazu ist in Blau τ für das max-min-Kriterium dargestellt. Wir sehen, dass das Netz bei der Implementierung mittels max-min-Kriterium noch weiter adaptiert wird. Allerdings liegt das daran, dass beim min-Kriterium die Berechnung schon früher aufgrund der Abbruchbedingung abgebrochen wird und daher auch nicht weiter verfeinert wird. Des Weiteren sehen wir auch, dass die Art der Implementierung des V -Operators keinen wesentlichen Unterschied in der Verfeinerung des Netzes auslöst. Für die Implementierung mittels max-min-Kriterium erreichen wir einen Grad der Adaptivität $\tau \approx 10^{10}$ für eine Elementanzahl von $N = 584$. Da das Netz an dieser Stelle nun schon sehr stark adaptiert ist, ist es gut möglich, dass die auftretenden Instabilitäten, die in Abbildung 2 und 3 für das max-min-Kriterium sichtbar sind, darin begründet liegen.

Tatsächlich haben wir bei der Berechnung festgestellt, dass bereits Elemente vorkommen, deren Durchmesser kleiner als 10^{-12} ist. Das entspricht nun schon fast der Rechengenauigkeit. Da bei der Integralberechnung durch die Transformation mit dem Durchmesser der Elemente multipliziert wird, ist es naheliegend, dass so die Werte der Integrale verfälscht werden. Diese Tatsache wäre dann auch für die Instabilitäten verantwortlich.

3.2.2 Indirekte Randintegralmethode auf dem L-Shape

Auch für das L-Shape betrachten die Laplace-Gleichung mit gegebenen Dirichlet-Randdaten wie in (3.34). Dabei ist $\Omega := (-1, 1) \times (-1, 1) \setminus [0, 1] \times [0, 1] \subset \mathbb{R}^2$. Auch hier möchten wir über die indirekte Randintegralmethode mittels dem Galerkin-Verfahren die exakte Lösung ϕ von $V\phi = 1 \in H^{1/2}(\Gamma)$ approximieren. Als Diskretisierung sei das Startnetz aus Abbildung 1b durch folgende Gitterpunkte gegeben:

$$\left\{ \begin{pmatrix} -1 \\ -1 \end{pmatrix}, \begin{pmatrix} 0 \\ -1 \end{pmatrix}, \begin{pmatrix} 1 \\ -1 \end{pmatrix}, \begin{pmatrix} -1 \\ 0 \end{pmatrix}, \begin{pmatrix} 0 \\ 0 \end{pmatrix}, \begin{pmatrix} 1 \\ 0 \end{pmatrix}, \begin{pmatrix} -1 \\ 1 \end{pmatrix}, \begin{pmatrix} 0 \\ 1 \end{pmatrix} \right\}.$$

Da auch hier die exakte Lösung nicht bekannt ist, werden wir den Fehler approximieren und für $\|\phi\|$ den extrapolierten Wert von $\|\Phi_h\|$ auf dem feinsten Gitter verwenden.

In Abbildung 5 ist also der Fehler $\|\phi - \Phi_h\|$ über der Anzahl der Elemente N aufgetragen. Wieder sind beide Achsen logarithmisch skaliert. Wir haben hier bis zu einer maximalen Elementanzahl von $N = 9000$ Elementen gerechnet. Auch hier sehen wir, dass die Fehler in beiden Fällen mit einer Rate $\mathcal{O}(N^{-5/2})$ gegen 0 streben. Obwohl für das max-min-Kriterium die Berechnung für bis zu 9000 Elementen größtenteils stabil verläuft, beginnt der Fehler für das min-Kriterium ab ungefähr 1000 Elementen wieder zu wachsen und das Verfahren stagniert. Bei 1024 Elementen tritt dann die Abbruchbedingung (3.33) in Kraft und die Berechnung bricht ab. Bei der Berechnung mittels min-Kriterium erreichen wir nur ein Fehlerniveau von ungefähr $10^{-3.8}$. Im Vergleich dazu erreichen wir bei einer Implementierung mittels max-min-Kriterium ein Genauigkeitsniveau von ungefähr 10^{-6} bei einer maximalen Elementanzahl von $N = 9000$. In Abbildung 5 sehen wir auch für den Fehler beim min-Kriterium eine Abrundung gegen Ende der Berechnung. Diese Abrundung ist vermutlich auf die Approximation von $\|\phi\|$ zurückzuführen. Dadurch, dass wir anstelle von $\|\phi\|$ den extrapolierten Wert der letzten Berechnung von $\|\Phi_h\|$ verwenden, bleibt noch ein gewisser Fehler übrig, der durch die Approximation zustande gekommen ist. Bei der Berechnung mit dem max-min-Kriterium treten ab einer Elementanzahl von ungefähr $N = 4000$ leichte Instabilitäten auf. Der Fehler verbessert sich nicht mehr, aber es ist auch keine wesentliche Verschlechterung sichtbar.

Betrachten wir Abbildung 6, so können wir sehen, dass diese Abrundung bei dem min-Kriterium entsprechenden Fehlerschätzer nicht zustande kommt. Die Fehlerschätzer ver-

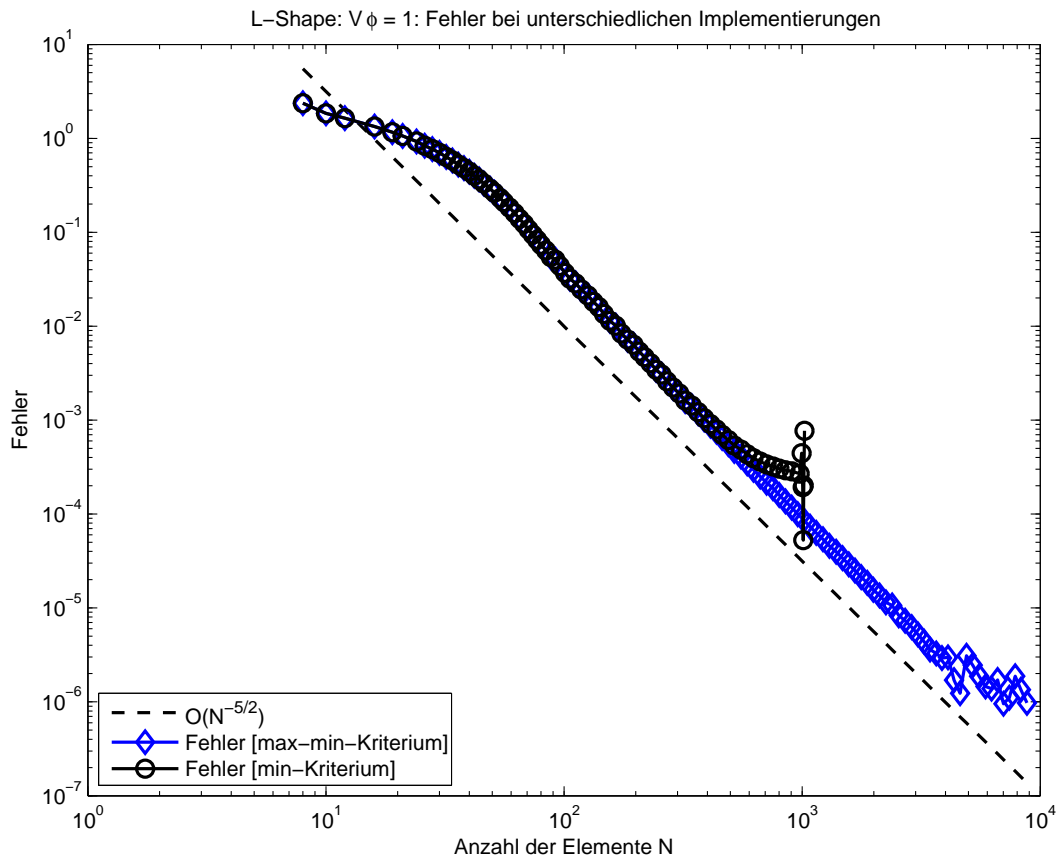


Abbildung 5: L-Shape: Fehler für Implementierung mit max-min-Kriterium vs. min-Kriterium

halten sich ähnlich wie die Fehler und streben ebenfalls mit einer Rate von $\mathcal{O}(N^{-5/2})$ gegen 0. Wir können auch feststellen, dass der Fehlerschätzer für die Implementierung mittels max-min-Kriterium im Vergleich zum Fehler keine Instabilitäten aufweist.

Auch für das L-Shape haben wir uns in Abbildung 7 den Grad der Adaptivität des Gitters τ aus (3.35) angesehen. Bei einer Elementanzahl knapp unter 9000 Elementen ist das Gitter für die Implementierung des V -Operators mittels max-min-Kriterium mit $\tau \approx 10^{10}$ bereits sehr stark adaptiert. Bei der Implementierung mittels min-Kriterium wurde bei 1024 Elementen abgebrochen, daher wurde dort auch das Gitter nicht mehr weiter verfeinert. Dennoch sehen wir kurz vor Abbruch eine deutliche Steigerung in der Adaptivität. Das heißt, es wurden gerade Elemente die ohnehin schon sehr klein waren noch weiter verfeinert. Dort muss also der Fehlerschätzer ρ_h , der bei uns als Indikator für die Verfeinerung dient, groß gewesen sein. Dies ist zusätzlich ein gutes Indiz für die Instabilität des Verfahrens bei der Implementierung mittels min-Kriterium.

3.2.3 Indirekte Randintegralmethode auf der Z-Shape

Für das Zshape betrachten wir ebenfalls die Laplace-Gleichung mit gegebenen Dirichlet-Randbedingungen wie in (3.34). Dabei ist

$$\Omega := (-1, 1) \times (-1, 1) \setminus \text{conv} \left\{ \begin{pmatrix} -1 \\ 0 \end{pmatrix}, \begin{pmatrix} 0 \\ 0 \end{pmatrix}, \begin{pmatrix} -1 \\ -1 \end{pmatrix} \right\} \subset \mathbb{R}^2,$$

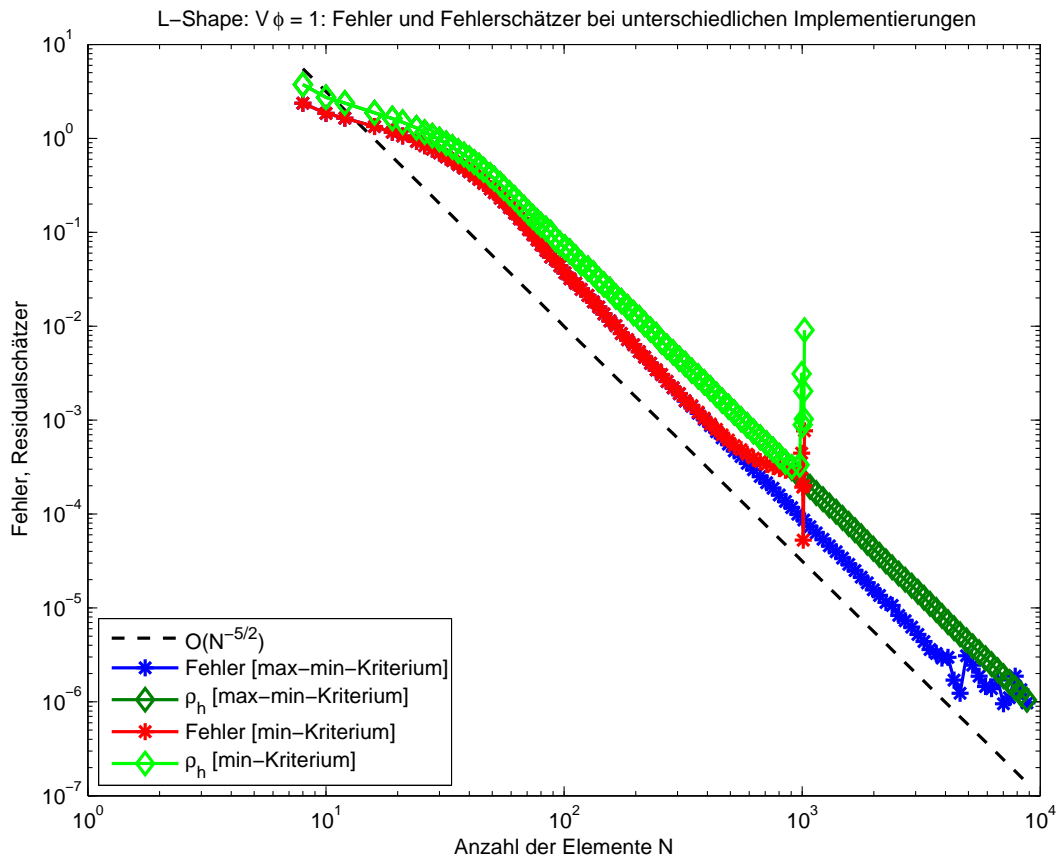


Abbildung 6: L-Shape: Fehler und Fehlerschätzer für Implementierung mit max-min-Kriterium vs. min-Kriterium

wobei $\text{conv}\{\mathbf{x}, \mathbf{y}, \mathbf{z}\}$ die konvexe Hülle dreier Punkte $\mathbf{x}, \mathbf{y}, \mathbf{z} \in \mathbb{R}^2$ bezeichnet.

Wie bei den anderen Geometrien auch, werden wir hier über die indirekte Randintegralmethode mittels dem Galerkin-Verfahren die exakte Lösung $\phi \in H^{-1/2}(\Gamma)$ von $V\phi = 1 \in H^{1/2}(\Gamma)$ approximieren. Um Γ zu diskretisieren haben wir das Startnetz (siehe Abbildung 1c) durch folgende Gitterpunkte vorgegeben:

$$\left\{ \begin{pmatrix} -1 \\ -1 \end{pmatrix}, \begin{pmatrix} 0 \\ -1 \end{pmatrix}, \begin{pmatrix} 1 \\ -1 \end{pmatrix}, \begin{pmatrix} -1 \\ 0 \end{pmatrix}, \begin{pmatrix} 0 \\ 0 \end{pmatrix}, \begin{pmatrix} 1 \\ 0 \end{pmatrix}, \begin{pmatrix} -1 \\ 1 \end{pmatrix}, \begin{pmatrix} 0 \\ 1 \end{pmatrix}, \begin{pmatrix} 1 \\ 1 \end{pmatrix} \right\}.$$

Zuerst betrachten wir das Verhalten des Fehlers $\|\phi - \Phi_h\|$ bei adaptiver Netzverfeinerung. Auch verwenden wir als Approximation für $\|\phi\|$ den extrapolierten Wert von $\|\Phi_h\|$ auf dem feinsten Gitter.

In Abbildung 8 ist der Fehler $\|\phi - \Phi_h\|$ über der Anzahl der Elemente aufgetragen. Für die Berechnung haben wir uns eine maximale Elementanzahl $N = 5000$ vorgegeben. Da wir wieder beide Achsen logarithmisch skaliert haben, können wir für beide Fehler eine Konvergenzrate $\mathcal{O}(N^{-5/2})$ erkennen. Auch hier sehen wir, dass für die Implementierung des V -Operators mit min-Kriterium die Berechnung wesentlich früher instabil wird als mit max-min-Kriterium. Für das min-Kriterium erreichen wir bei einer Elementanzahl von $N = 1002$ ein Fehlerniveau von ungefähr $10^{-3.9}$. Dann tritt die Abbruchbedingung (3.33) in Kraft und die Berechnung wird abgebrochen. Gegen Ende hin können wir allerdings eine leichte Abflachung des Fehlers feststellen, welche vermutlich durch die Extrapolation zustande gekommen ist. Für das max-min-Kriterium sehen wir, dass die Berechnung länger

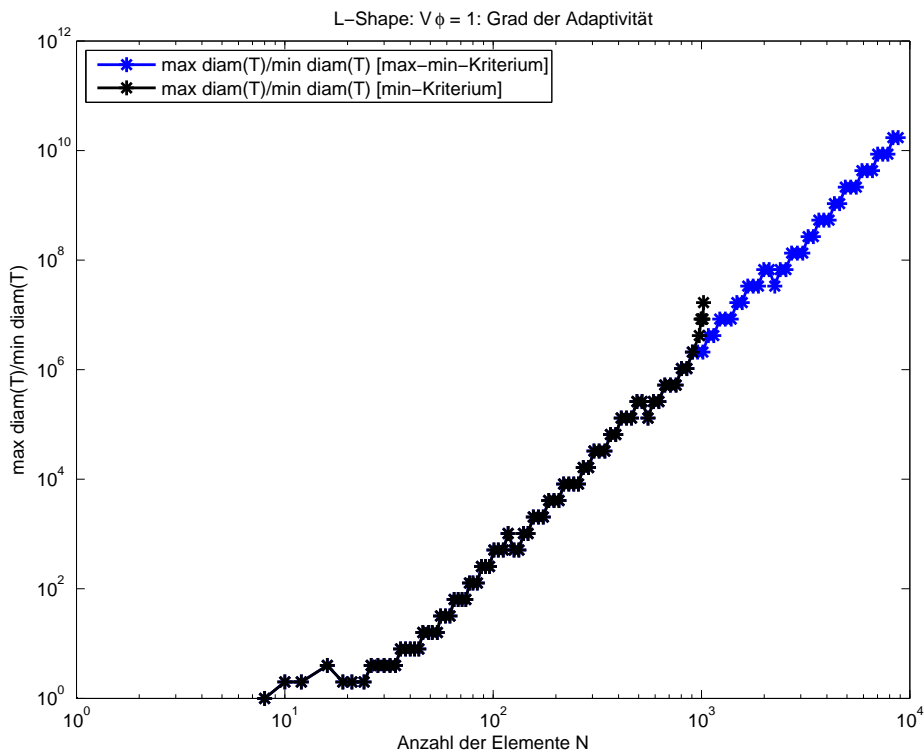


Abbildung 7: L-Shape: Grad der Adaptivität für Implementierung mit max-min-Kriterium vs. min-Kriterium

stabil läuft, bis zu einer Elementzahl von $N = 3897$ und einem Genauigkeitsniveau von $10^{-5.8}$. Dann setzt auch hier die Abbruchbedingung ein. Hier sehen wir keine Abrundung beim Fehler, die Berechnung wird gleich instabil.

In Abbildung 9 betrachten wir zusätzlich die Residualschätzer für die unterschiedlichen Implementierungen. Auch hier beobachten wir Effizienz und Zuverlässigkeit des Schätzers. Sowohl der Schätzer als auch der Fehler streben mit Rate $\mathcal{O}(N^{-5/2})$ gegen 0. Interessanterweise sind beim zum max-min-Kriterium gehörigen Residualschätzer ρ_h keine Sprünge sichtbar, obwohl die Abbruchbedingung (3.33) bei einer Elementanzahl $N = 3897$ in Kraft tritt. Tatsächlich ist es so, dass der Fehlerschätzer bei der Elementanzahl, bei welcher die Abbruchbedingung ausgelöst wird, schon den Wert Inf annimmt, das entspricht in MATLAB dem Wert ∞ .

In Abbildung 10 sehen wir, dass das Netz für die beim max-min-Kriterium erreichte maximale Elementanzahl $N = 3897$ schon sehr stark adaptiert ist. Wir sehen, dass sich die unterschiedliche Implementierung des V -Operators bis zu einer gewissen Elementanzahl nicht auf die Adaptivität des Netzes auswirkt. Für das min-Kriterium wurde die Berechnung allerdings bei $N = 1002$ abgebrochen und daher wurde auch nicht weiter verfeinert. Bevor die Berechnung abgebrochen wurde, sehen wir, dass der Grad der Adaptivität nochmals etwas stärker ansteigt. Dies ist ein Indiz dafür, dass Elemente, die ohnehin schon sehr klein sind, noch weiter verfeinert werden, da dort der Fehlerschätzer ρ_h am größten ist.

Für die Implementierung mittels max-min-Kriterium erreichen wir einen Grad der Adaptivität von ungefähr $\tau \approx 10^{10}$ für eine Elementanzahl von $N = 3897$. Tatsächlich haben wir bei der Berechnung festgestellt, dass bereits Elemente vorkommen, deren Durchmesser

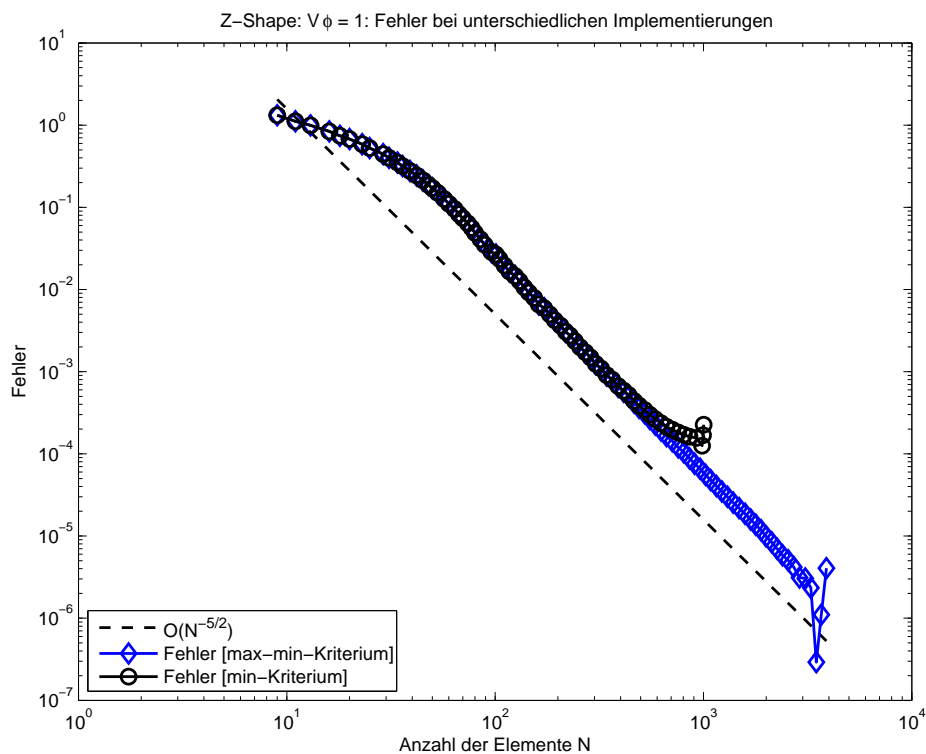


Abbildung 8: Z-Shape: Fehler für Implementierung mit max-min-Kriterium vs. min-Kriterium

kleiner als 10^{-12} ist, was beinahe der Maschinengenauigkeit entspricht. Da bei der Integralberechnung durch die Transformation mit dem Durchmesser der Elemente multipliziert wird, ist es gut möglich, dass die Berechnung so verfälscht wird. Möglicherweise ist das auch Grund dafür, dass der Fehlerschätzer ρ_h für das max-min-Kriterium den Wert ∞ erreicht.

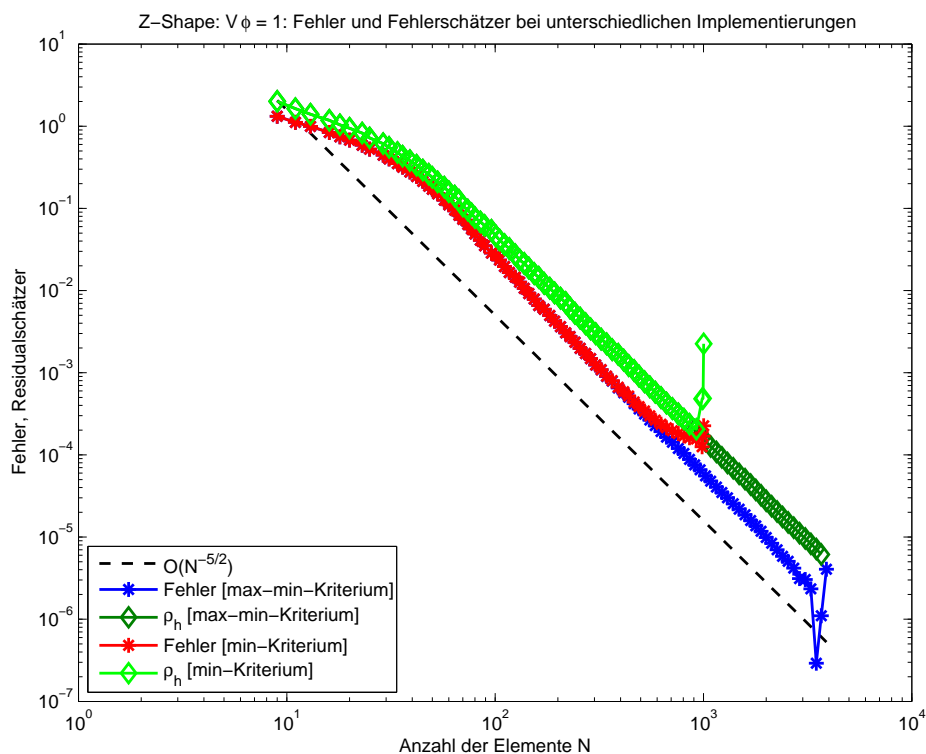


Abbildung 9: Z-Shape: Fehler und Fehlerschätzer für Implementierung mit max-min-Kriterium vs. min-Kriterium

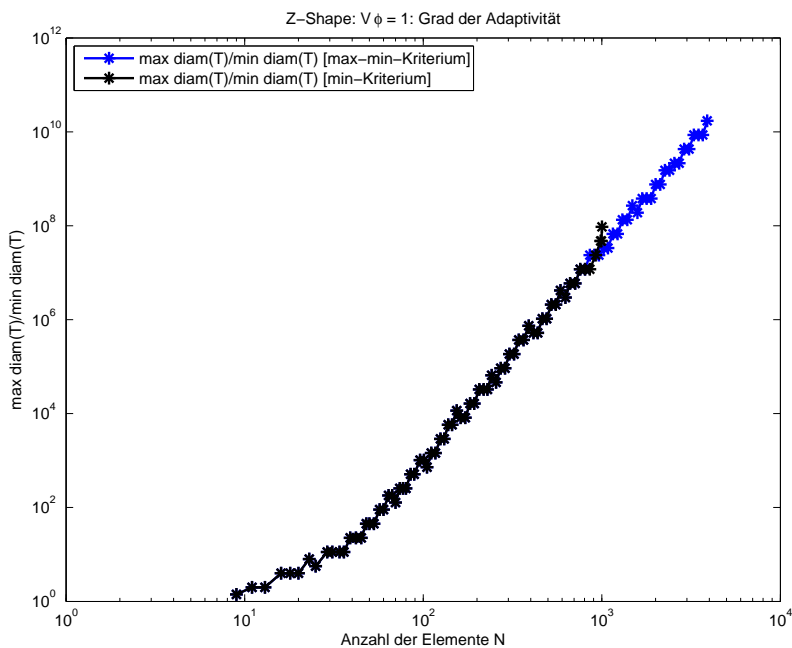


Abbildung 10: Z-Shape: Grad der Adaptivität für Implementierung mit max-min-Kriterium vs. min-Kriterium

4 Vergleich der Implementierungen

Abschließend möchten wir noch den Programmcode zur stabilen Berechnung des V -Operators und des K -Operators, der im Rahmen dieser Bachelorarbeit erweitert wurde, vorstellen.

Für den Ansatzraum $\mathcal{S}^1(\mathcal{T}_h)$ und den Testraum $\mathcal{P}^0(\mathcal{T}_h)$ gibt es bereits die MATLAB Programm-Bibliothek HILBERT für die adaptive Randelementmethode. HILBERT umfasst stabile Implementierungen des Einfach- und Doppelschichtpotential-Operators und des hypersingulären Integral-Operators für die Poisson- und Laplace-Gleichung in 2D für die $\mathcal{S}^1(\mathcal{T}_h)$ - $\mathcal{P}^0(\mathcal{T}_h)$ -Variante. Es stehen auch verschiedene Fehlerschätzer, Markierungsstrategien und Visualisierungswerkzeuge zur Verfügung. Zur Demonstration enthält HILBERT auch einige Beispiele, für welche die adaptive Randelementmethode für das Dirichlet- und Neumann-Problem sowie das gemischte Problem (mit Dirichlet- und Neumann-Bedingungen) implementiert ist. Für akademische Zwecke steht HILBERT zum Download unter <http://www.asc.tuwien.ac.at/abem/hilbert/> zur Verfügung.

In den letzten Jahren wurde die Implementierung von HILBERT dahingehend erweitert, dass nun auch die adaptive Randelementmethode für die $\mathcal{S}^2(\mathcal{T}_h)$ - $\mathcal{P}^1(\mathcal{T}_h)$ -Variante implementiert ist. Die Implementierungen des Einfach- und Doppelschichtpotential-Operators, sowie die Berechnung der Fehlerschätzer, Oszillationsterme, Fehler, etc. wurden ergänzt. Das Problem dieser Implementierung war allerdings, dass diese noch nicht stabil lief. Es war noch nicht möglich das gleiche Genauigkeitsniveau des Approximationsfehlers wie bei der $\mathcal{S}^1(\mathcal{T}_h)$ - $\mathcal{P}^0(\mathcal{T}_h)$ -Variante mit adaptiver Netzverfeinerung zu erreichen. Ziel dieser Arbeit war nun ein besseres Genauigkeitsniveau des Approximationsfehlers der exakten Lösung unter Einhalten der vorgegebenen Konvergenzrate $\mathcal{O}(N^{-5/2})$ zu erreichen. Dies ist durch Verbesserung des Programmcodes zur Berechnung des Einfachschicht- und Doppelschichtpotential-Operators geschehen. Für die Implementierungen der Einfachschichtpotential-Operatormatrix \mathbf{V} und der Doppelschichtpotential-Operatormatrix \mathbf{K} ist es notwendig bestimmte Doppelintegrale (siehe (3.16) beziehungsweise (3.18)) zu berechnen. Im bisher vorhandenen Code wurde zur Approximation in den Funktionen `computeWij` (Abschnitt 4.1.4), `computeVP1P1ij` (Abschnitt 4.1.8), `computeKij` (Abschnitt 4.2.3) und `computeKP1S2ij` (Abschnitt 4.2.9) das min-Kriterium herangezogen. Diese Programmcodes wurden nun dahingehend verbessert, dass nun statt dem min-Kriterium, das max-min-Kriterium zur Berechnung der approximierenden Matrix verwendet wird. Dafür war es notwendig, zusätzliche Funktionen zu implementieren, um auch beide Doppelintegrale aus (siehe (3.16) beziehungsweise (3.18)) mittels Quadratur berechnen zu können. Im Rahmen dieser Arbeit wurden also die Implementierungen von \mathbf{V} um die Funktionen `computeWijFullQuadrature` (Abschnitt 4.1.7) und `computeVP1P1ijFullQuadrature` (Abschnitt 4.1.11) und von \mathbf{K} um die Funktionen `computeKijFullQuadrature` (Abschnitt 4.2.8) und `computeKP1S2ijFullQuadrature` (Abschnitt 4.2.12) erweitert.

Die Implementierungen von \mathbf{V} und \mathbf{K} möchten wir im folgenden genau erklären. Die Implementierung erfolgt in C über die C-Schnittstelle von MATLAB, da die zugehörigen Matrizen in C schneller aufgebaut werden können.

Davor möchten wir allerdings noch einige vordefinierte Konstanten genauer erklären, die in den Programmcodes verwendet werden. Darunter ist eine vordefinierte Zulässigkeitskonstante

$$\text{DEFAULT_ETA} := 0.5, \quad (4.1)$$

auf welche zugegriffen wird, falls η nicht vom Benutzer spezifiziert wird. Für die Berechnung der Matrixeinträge von \mathbf{V} und \mathbf{K} wird auch die Konstante π gebraucht welche in C nicht

vordefiniert ist und daher durch

$$\text{M_PI} := 3.14159265358979323846 \quad (4.2)$$

approximiert wird. Für die Implementierung ist es auch immer wieder notwendig zu überprüfen ob gewisse Werte gleich 0 beziehungsweise sehr klein sind. Aufgrund der Gleitkommaarstellung der Zahlen überprüfen wir nicht ob diese Werte gleich 0 sind, sondern ob der Wert kleiner als eine gewisse Maschinengenauigkeitskonstante ist. Hierfür haben wir

$$\text{EPS} := 10^{-12} \quad (4.3)$$

definiert.

Des Weiteren ist auch eine vorgegebene Anzahl an Knoten für die Gauß-Quadratur festgelegt:

$$\text{GAUSS_ORDER} := 16. \quad (4.4)$$

Falls also ein Integral mittels Quadratur berechnet wird, wird immer die Gauß-Quadratur $Q_{\text{GAUSS_ORDER}-1}$ verwendet.

Darüber hinaus möchten wir noch einige verwendete Funktionen erwähnen, deren genaue Implementierung nicht angegeben wird. Für die η -Zulässigkeitsbedingungen wird für die Berechnung von $\text{dist}(T_i, T_j)$ beispielsweise die Funktion `distanceSegmentToSegment` verwendet. Die Funktion `getGaussPoints(GAUSS_ORDER)` gibt die Knotenpunkte z_k für $k = 0, \dots, \text{GAUSS_ORDER} - 1$ für die Gauß-Quadratur der Länge `GAUSS_ORDER` in Form eines Arrays zurück. Die Funktion `getGaussWeights(GAUSS_ORDER)` gibt dann die zugehörigen Gewichte ω_k für $k = 0, \dots, \text{GAUSS_ORDER} - 1$ auch in Form eines Arrays zurück.

4.1 Implementierung des V-Operators

Die Schnittstelle zu MATLAB ist durch die Funktion `mexFunction`, welche die Eingabeparameter einliest und anschließend den Speicher für die Matrix \mathbf{V} allokiert, gegeben. Über die Funktion `computeVP1` wird dann die Berechnung der einzelnen Einträge der Matrix realisiert. Die Einträge der Submatrix $\mathbf{V}^{(00)}$ (vgl. (3.15)) werden dann mit der Funktion `computeVij`, welche nun in verbesserter Weise unter Anwendung des max-min-Kriteriums das Doppelintegral

$$\begin{aligned} \mathbf{V}_{ij}^{(00)} &= -\frac{1}{2\pi} \int_{T_i} \int_{T_j} \log |\mathbf{x} - \mathbf{y}| ds_y ds_x \\ &= -\frac{\text{diam}(T_i)\text{diam}(T_j)}{8\pi} \int_{-1}^1 \int_{-1}^1 \log |\gamma_i(s) - \gamma_j(t)| dt ds \end{aligned} \quad (4.5)$$

berechnet. Da die Berechnung der Matrix \mathbf{W} des hypersingulären Integraloperators W der Berechnung von \mathbf{V} sehr ähnlich ist, greift die Funktion `computeVij` auf die Funktion `computeWij` zu. In dieser Funktion ist dann tatsächlich die Fallunterscheidung für das max-min-Kriterium implementiert. Falls die Elemente T_i, T_j η -unzulässig sind oder die Zulässigkeitskonstante η gleich 0 ist, so wird `computeWijAnalytic` aufgerufen. Für den Fall, dass die Elemente η -min-zulässig sind, wird die Funktion `computeWijSemianalytic` aufgerufen. Falls T_i, T_j η -max-zulässig sind, wird das Doppelintegral (4.5) mit der Funktion `computeWijFullQuadrature` berechnet. Die Funktionen `slp` und `slpIterative` berechnen dann Integrale der Form

$$\int_{-1}^1 s^k \log |s\mathbf{u} + \mathbf{v}|^2 ds \quad \text{für } k \in \mathbb{N}_0 \text{ und } \mathbf{u}, \mathbf{v} \in \mathbb{R}^2$$

mit Hilfe derer dann konkret das geforderte Doppelintegral ausgerechnet werden kann.

Die anderen Submatrizen $\mathbf{V}^{(01)}$, $\mathbf{V}^{(10)}$ und $\mathbf{V}^{(11)}$ werden mit der Funktion `computeVP1P1ij` berechnet. Mit Hilfe des max-min-Kriteriums berechnet nun diese Funktion eine Approximation für das Doppelintegral

$$\begin{aligned} \mathbf{V}_{ij}^{(\ell m)} &= -\frac{1}{2\pi} \int_{T_i} \int_{T_j} \log(|\mathbf{x} - \mathbf{y}|) \chi_j^m(\mathbf{y}) \chi_i^\ell(\mathbf{x}) ds_{\mathbf{y}} ds_{\mathbf{x}} \\ &= -\frac{\text{diam}(T_i)\text{diam}(T_j)}{8\pi} \int_{-1}^1 \int_{-1}^1 \log(|\gamma_i(s) - \gamma_j(t)|) t^m s^\ell dt ds \end{aligned} \quad (4.6)$$

mit $\ell, m \in \{0, 1\}$ und $(\ell, m) \neq (0, 0)$. Falls die Randelemente T_i, T_j η -unzulässig sind oder die Zulässigkeitskonstante η gleich 0 ist, so wird die Funktion `computeVP1P1ijAnalytic` aufgerufen. Wenn die Elemente T_i, T_j η -min-zulässig sind, wird das Doppelintegral (4.6) mit der Funktion `computeVP1P1ijSemiAnalytic` berechnet. Falls die zwei Randelemente η -max-zulässig sind, so wird die Funktion `computeVP1P1ijFullQuadrature` aufgerufen. Zur analytischen Berechnung von (4.6) wird in weiterer Folge die Funktion `doubleSlp` herangezogen, welche

$$\int_{-1}^1 \int_{-1}^1 s^k t^\ell \log|s\mathbf{u} + t\mathbf{v} + \mathbf{w}| dt ds \quad \text{für } k, \ell \in \mathbb{N}_0 \text{ und } \mathbf{u}, \mathbf{v}, \mathbf{w} \in \mathbb{R}^2$$

berechnet.

4.1.1 mexFunction

Die Funktion erhält als Eingabeparameter die Arrays `coordinates` und `elements`, welche die Triangulierung \mathcal{T}_h beschreiben. Für die $\tilde{N} \times 2$ -Matrix `coordinates` stehen in der j -ten Zeile die Koordinaten eines Randknotens $\mathbf{z}_j \in \mathbb{R}^2$. Für die $N \times 2$ -Matrix `elements` beschreibt jede Zeile ein Randelement, wobei die Einträge von `elements` nicht die Koordinaten selbst, sondern lediglich die Indizes der zugehörigen Zeile in `coordinates`, enthalten. Optional kann auch noch die Zulässigkeitskonstante η übergeben werden. Falls dies nicht geschieht, wird für η der vordefinierte Wert `DEFAULT_ETA` verwendet.

Listing 1: mexFunction

```

28 void mexFunction(int nlhs, mxArray* plhs[], int nrhs, const mxArray* prhs[]) {
29     const char* function_name = mexFunctionName();
30     char error_message[255];
31     int nc = 0, ne = 0;
32     double* V = NULL;
33     const double* elements;
34     const double* coordinates;
35     double eta = DEFAULT_ETA;
36
37     if (nlhs != 1) {
38         sprintf(error_message,
39             "Invalid number of output arguments. Use either\n"
40             "  V = %s(coordinates, elements)\n"
41             "or\n"
42             "  V = %s(coordinates, elements, eta)\n",
43             function_name, function_name);
44         mexErrMsgTxt(error_message);
45     }
46
47     /* Read input data */
48     switch (nrhs) {
49         case 3:

```

```

50     eta = (double) mxGetScalar(prhs[2]);
51     case 2:
52         coordinates = (const double*) mxGetPr(prhs[0]);
53         nc          = mxGetM(prhs[0]);
54         elements    = (const double*) mxGetPr(prhs[1]);
55         ne          = mxGetM(prhs[1]);
56         break;
57     default:
58         sprintf(error_message,
59                 "Invalid number of input arguments (%d). Use either\n"
60                 "    V=%s(coordinates, elements)\n"
61                 "or\n"
62                 "    V=%s(coordinates, elements, eta)\n",
63                 nrhs, function_name, function_name);
64         mexErrMsgTxt(error_message);
65         return;
66     }
67
68     if (eta < 0) {
69         sprintf(error_message,
70                 "In %s, ETA is less than zero (ETA=%lf).\n"
71                 "Please choose a value that is greater than or equal to 0.\n",
72                 function_name, eta);
73         mexErrMsgTxt(error_message);
74     }
75
76     /* Allocate output data */
77     plhs[0] = mxCreateDoubleMatrix(2*ne, 2*ne, mxREAL);
78     V = mxGetPr(plhs[0]);
79
80     computeVP1(V, nc, ne, coordinates, elements, eta);
81 }

```

4.1.2 computeVP1

Die Funktion erhält als Eingabeparameter die Arrays `coordinates`, `elements` und deren Dimension, also die Elementanzahl N und die Anzahl der Randknoten \tilde{N} . Zusätzlich wird ein Pointer übergeben, der auf den für \mathbf{V} allokierten Speicher zeigt. Auch die Zulässigkeitskonstante η wird übergeben. Nun durchläuft die Funktion alle Kombinationen von Elementen $T_i \times T_j$ und berechnet dazu den entsprechenden Eintrag der Matrix \mathbf{V} . Für die Berechnung der Submatrix $\mathbf{V}^{(00)}$ wird dabei die Funktion `computeVij` aufgerufen, für die anderen drei Submatrizen $\mathbf{V}^{(01)}$, $\mathbf{V}^{(10)}$ und $\mathbf{V}^{(11)}$ wird die Funktion `computeVP1P1ij` aufgerufen.

Listing 2: computeVP1

```

83 void computeVP1(double* V, int nc, int ne,
84                const double* coordinates, const double* elements, double eta) {
85
86     int i = 0, j = 0;
87     int aidx = 0, bidx = 0, cidx = 0, didx = 0;
88     double a0 = 0., a1 = 0., b0 = 0., b1 = 0.;
89     double c0 = 0., c1 = 0., d0 = 0., d1 = 0.;
90
91     assert(eta >= 0);
92     /*P0xP0, P1xP1 - Abschnitt */
93     for (i=0; i<ne; ++i) {
94         aidx = (int) elements[i]-1;          /* 1st node of element T_i = [A,B] */
95         a0 = coordinates[aidx];
96         a1 = coordinates[aidx+nc];
97
98         bidx = (int) elements[i+ne]-1;      /* 2nd node of element T_i = [A,B] */
99         b0 = coordinates[bidx];
100        b1 = coordinates[bidx+nc];
101
102        for (j=i; j<ne; ++j) {
103            cidx = (int) elements[j]-1;      /* 1st node of element T_j = [C,D] */
104            c0 = coordinates[cidx];

```

```

105     c1 = coordinates[cidx+nc];
106
107     didx = (int) elements[j+ne]-1; /* 2nd node of element T_j = [C,D] */
108     d0 = coordinates[didx];
109     d1 = coordinates[didx+nc];
110
111     /* P0xP0*/
112     V[i + 2*j*ne] = computeVij(a0,a1,b0,b1, c0,c1,d0,d1,eta);
113     V[j + 2*i*ne] = V[i + 2*j*ne];
114
115     /*P1xP1*/
116     V[2*ne*ne + i + 2*j*ne+ne] =
117     computeVP1P1ij(a0,a1,b0,b1,c0,c1,d0,d1,1,1,eta);
118     V[2*ne*ne + j + 2*i*ne+ne] = V[2*ne*ne + i + 2*j*ne+ne];
119 }
120 }
121 /*P0xP1, P1xP0 - Abschnitt */
122 for (i=0; i<ne; ++i) {
123     aidx = (int) elements[i]-1; /* 1st node of element T_i = [A,B] */
124     a0 = coordinates[aidx];
125     a1 = coordinates[aidx+nc];
126
127     bidx = (int) elements[i+ne]-1; /* 2nd node of element T_i = [A,B] */
128     b0 = coordinates[bidx];
129     b1 = coordinates[bidx+nc];
130
131     for (j=0; j<ne; ++j) {
132         cidx = (int) elements[j]-1; /* 1st node of element T_j = [C,D] */
133         c0 = coordinates[cidx];
134         c1 = coordinates[cidx+nc];
135
136         didx = (int) elements[j+ne]-1; /* 2nd node of element T_j = [C,D] */
137         d0 = coordinates[didx];
138         d1 = coordinates[didx+nc];
139
140         /* P1xP0*/
141         V[ne + i + 2*j*ne] = computeVP1P1ij(a0,a1,b0,b1, c0,c1,d0,d1,1,0,eta);
142         /* P0xP1 */
143         V[2*ne*ne + j + 2*i*ne] = V[ne+i+2*j*ne];
144     }
145 }
146 }

```

4.1.3 computeVij

Für die Elemente $T_i = [\mathbf{a}, \mathbf{b}]$ und $T_j = [\mathbf{c}, \mathbf{d}]$ erhält die Funktion die Randpunkte $\mathbf{a} = [a_0, a_1]$, $\mathbf{b} = [b_0, b_1]$, $\mathbf{c} = [c_0, c_1]$ und $\mathbf{d} = [d_0, d_1]$. Zusätzlich wird die Zulässigkeitskonstante η übergeben. Die Funktion `computeVij` ist eigentlich nur für eine Skalierung mit $\text{diam}(T_i)\text{diam}(T_j)$ verantwortlich, die für eine Transformation $T_i \rightarrow [-1, 1]$ und $T_j \rightarrow [-1, 1]$ notwendig ist.

Listing 3: `computeVij`

```

328 double computeVij(double a0, double a1, double b0, double b1,
329                 double c0, double c1, double d0, double d1, double eta) {
330     /*
331     * INPUT:  elements Ti = [a,b], Tj = [c,d] with a,b,c,d \in \R^2
332     * OUTPUT: Galerkin integral
333     *          -1/(2pi) * \int_{Tj} \int_{Ti} log|x-y| ds_y ds_x
334     */
335     double hi = (b0-a0)*(b0-a0) + (b1-a1)*(b1-a1); /* hi = norm(b-a)^2 */
336     double hj = (d0-c0)*(d0-c0) + (d1-c1)*(d1-c1); /* hj = norm(d-c)^2 */
337
338     return sqrt(hi*hj)*computeWij(a0, a1, b0, b1, c0, c1, d0, d1, eta);
339 }

```

4.1.4 computeWij

Die Funktion `computeWij` ist nun tatsächlich für die Realisierung des max-min-Kriteriums zuständig, welche in den Zeilen 368-376 stattfindet. Hier wurde das min-Kriterium durch das max-min-Kriterium ersetzt. Davor wird noch sichergestellt, dass T_i das längere Randstück ist. Dies ist für den Fall der semianalytischen Berechnung wichtig, da dort das Integral über das kürzere Randelement durch Quadratur ersetzt wird. Gegebenenfalls werden also T_i und T_j vertauscht.

Zurückgegeben wird eine Approximation für das Integral

$$-\frac{1}{8\pi} \int_{-1}^1 \int_{-1}^1 \log |\gamma_i(s) - \gamma_j(t)| dt ds. \quad (4.7)$$

Listing 4: `computeWij`

```

341 double computeWij(double a0, double a1, double b0, double b1,
342                 double c0, double c1, double d0, double d1, double eta) {
343     /*
344     * INPUT:  elements Ti = [a,b], Tj = [c,d] with a,b,c,d \in \R^2
345     * OUTPUT: Galerkin integral -1/(2pi) \int_{Tj} \int_{Ti} log|x-y| ds_y ds_x
346     */
347
348     double hi = (b0-a0)*(b0-a0) + (b1-a1)*(b1-a1); /* hi = norm(b-a)^2 */
349     double hj = (d0-c0)*(d0-c0) + (d1-c1)*(d1-c1); /* hj = norm(d-c)^2 */
350     double tmp = 0.;
351
352     /* For stability reasons, we guarantee  hj <= hi  to ensure that *
353     * outer integration is over smaller domain. This is done by      *
354     * swapping Tj and Ti if necessary.                                */
355
356     if (hj > hi) {
357         tmp = a0; a0 = c0; c0 = tmp; /* swap a and c */
358         tmp = a1; a1 = c1; c1 = tmp;
359         tmp = b0; b0 = d0; d0 = tmp; /* swap b and d */
360         tmp = b1; b1 = d1; d1 = tmp;
361         tmp = hi; hi = hj; hj = tmp; /* ensure that hj <= hi */
362     }
363
364     if (eta == 0) { /* compute all matrix entries analytically */
365         return computeWijAnalytic(a0,a1, b0,b1, c0,c1, d0,d1);
366     }
367     else { /* compute admissible matrix entries semi-analytically */
368         if (eta*distanceSegmentToSegment(a0,a1,b0,b1,c0,c1,d0,d1) > sqrt(hi) ) {
369             return computeWijFullQuadrature(a0,a1, b0,b1, c0,c1, d0,d1);
370         }
371         else if (eta*distanceSegmentToSegment(a0,a1,b0,b1,c0,c1,d0,d1) > sqrt(hj) ) {
372             return computeWijSemianalytic(a0,a1, b0,b1, c0,c1, d0,d1);
373         }
374         else {
375             return computeWijAnalytic(a0,a1, b0,b1, c0,c1, d0,d1);
376         }
377     }
378 }

```

4.1.5 computeWijAnalytic

Die Funktion berechnet das Integral (4.7) analytisch. Für Details zu dieser Berechnung möchten wir auf [10, Lemma 3.1] verweisen.

Listing 5: `computeWijAnalytic`

```

380 double computeWijAnalytic(double a0, double a1, double b0, double b1,
381                          double c0, double c1, double d0, double d1) {
382     /*
383     * INPUT:  elements Ti = [a,b], Tj = [c,d] with a,b,c,d \in \R^2

```

```

384 * OUTPUT: Galerkin integral
385 *      -1/(2pi) * 1/|Ti| * 1/|Tj| \int_{Tj} \int_{Ti} log|x-y| ds_y ds_x
386 */
387
388 double hi = (b0-a0)*(b0-a0) + (b1-a1)*(b1-a1); /* hi = norm(b-a)^2 */
389 double hj = (d0-c0)*(d0-c0) + (d1-c1)*(d1-c1); /* hj = norm(d-c)^2 */
390 double val = 0., det = 0.;
391 double x[2], y[2], z[2];
392 double zxp[2], zxm[2], zyp[2], zym[2];
393 double lambda, mu;
394
395 x[0] = 0.5*(b0 - a0); /* x = (b-a)/2 */
396 x[1] = 0.5*(b1 - a1);
397 y[0] = 0.5*(c0 - d0); /* y = (c-d)/2 */
398 y[1] = 0.5*(c1 - d1);
399 z[0] = 0.5*(a0 + b0 - c0 - d0); /* z = (a+b-c-d)/2 */
400 z[1] = 0.5*(a1 + b1 - c1 - d1);
401
402 zxp[0] = z[0] + x[0]; /* zxp = z+x = (2b-c-d)/2 */
403 zxp[1] = z[1] + x[1];
404 zxm[0] = z[0] - x[0]; /* zxm = z-x = (2a-c-d)/2 */
405 zxm[1] = z[1] - x[1];
406 zyp[0] = z[0] + y[0]; /* zyp = z+y = (a+b-2d)/2 */
407 zyp[1] = z[1] + y[1];
408 zym[0] = z[0] - y[0]; /* zym = z-y = (a+b-2c)/2 */
409 zym[1] = z[1] - y[1];
410
411 /* There hold different recursion formulae if Ti and Tj */
412 /* are parallel (det = 0) or not */
413
414 det = x[0]*y[1] - x[1]*y[0];
415
416 if ( fabs(det) <= EPS*sqrt(hi*hj) ) { /* case that x and y are linearly */
417   if ( fabs(x[0]) < fabs(x[1]) ) /* dependent, i.e., Ti and Tj are */
418     lambda = y[1] / x[1]; /* parallel. */
419   else
420     lambda = y[0] / x[0];
421
422   val = 0.5*( lambda * ( slp(1, y, zxm) - slp(1, y, zxp) )
423             + slp(0, x, zyp) + slp(0, x, zym) );
424 }
425
426 else { /* case that x and y are linearly independent */
427   lambda = (z[0]*y[1] - z[1]*y[0]) / det;
428   mu = (x[0]*z[1] - x[1]*z[0]) / det;
429
430   val = 0.25 * ( -8 + (lambda+1)*slp(0, y, zxp) - (lambda-1)*slp(0, y, zxm)
431                + (mu+1)*slp(0, x, zyp) - (mu-1)*slp(0, x, zym));
432 }
433
434 return -0.125*val /M_PI; /* = -1/(8*M_PI)*val */
435 }

```

4.1.6 computeWijSemianalytic

Die Funktion berechnet das Integral (4.7) semianalytisch, das heißt es wird

$$-\frac{1}{16\pi} \sum_{k=0}^p \omega_k \int_{-1}^1 \log |\gamma_i(s) - \gamma_j(z_k)|^2 ds$$

berechnet. Die Skalierung mit $1/2$ kommt durch $\log |\gamma_i(s) - \gamma_j(z_h)|^2 = 2 \log |\gamma_i(s) - \gamma_j(z_h)|$ zustande und ist notwendig, damit das innere Integral mit der Funktion `slp` berechnet werden kann. Für unsere Berechnung ist $p = \text{GAUSS_ORDER} - 1$ aus (4.4).

Listing 6: computeWijSemianalytic

```

437 double computeWijSemianalytic(double a0, double a1, double b0, double b1,
438                               double c0, double c1, double d0, double d1) {

```



```

439  /*
440  * INPUT:  elements Ti = [a,b], Tj = [c,d] with a,b,c,d \in \R^2
441  * OUTPUT: Galerkin integral
442  *         -1/(2pi) * 1/|Ti| * 1/|Tj| \int_{Tj} \int_{Ti} log|x-y| ds_y ds_x
443  *         where outer integration is performed by Gaussian quadrature
444  */
445  int k;
446  double u[2], v[2];
447  double val = 0;
448  double sx0 = 0;
449  double sx1 = 0;
450  const double* gauss_point;
451  const double* gauss_wht;
452
453  gauss_point = getGaussPoints(GAUSS_ORDER);
454  gauss_wht   = getGaussWeights(GAUSS_ORDER);
455
456  u[0] = 0.5*(a0-b0);
457  u[1] = 0.5*(a1-b1);
458
459  for (k=0; k<GAUSS_ORDER; ++k){
460    /* transformation of quadrature nodes from [-1,1] to [a,b] */
461    sx0 = ((1-gauss_point[k])*c0+(1+gauss_point[k])*d0)*0.5;
462    sx1 = ((1-gauss_point[k])*c1+(1+gauss_point[k])*d1)*0.5;
463
464    v[0] = sx0 - 0.5*(a0+b0);
465    v[1] = sx1 - 0.5*(a1+b1);
466
467    /* inner product wht*func(sx) */
468    val += gauss_wht[k] * slp(0, u, v);
469  }
470
471  return -0.0625*val / M_PI; /* = - 1/(16*M_PI) * int(log |.|^2) */
472 }

```

4.1.7 computeWijFullQuadrature

Die Funktion gibt eine approximative Berechnung des Integrals (4.7) zurück, wobei beide Integrale mittels Gauß-Quadratur berechnet werden. Die Funktion berechnet also

$$-\frac{1}{16\pi} \sum_{k=0}^p \sum_{\ell=0}^p \omega_k \omega_\ell \log |\gamma_j(z_k) - \gamma_i(z_\ell)|^2,$$

wobei $p = \text{GAUSS_ORDER} - 1$.

Listing 7: computeWijFullQuadrature

```

625 double computeWijFullQuadrature(double a0, double a1, double b0,
626 double b1, double c0, double c1, double d0, double d1) {
627  /*
628  * INPUT:  elements Ti = [a,b], Tj = [c,d] with a,b,c,d \in \R^2
629  * OUTPUT: Galerkin integral
630  *         -1/(2pi) * 1/|Ti| * 1/|Tj| \int_{Tj} \int_{Ti} log|x-y| ds_y ds_x
631  *         where integration is performed by Gaussian quadrature
632  */
633  int k,l;
634  double u[2], v[2];
635  double val = 0;
636  double sx0 = 0;
637  double sx1 = 0;
638  double sy0 = 0;
639  double sy1 = 0;
640  const double* gauss_point;
641  const double* gauss_wht;
642
643  gauss_point = getGaussPoints(GAUSS_ORDER);
644  gauss_wht   = getGaussWeights(GAUSS_ORDER);
645

```

```

646 for (k=0; k<GAUSS_ORDER; ++k){
647     /* transformation of quadrature nodes from [-1,1] to [c,d] */
648     sx0 = ((1-gauss_point[k])*c0+(1+gauss_point[k])*d0)*0.5;
649     sx1 = ((1-gauss_point[k])*c1+(1+gauss_point[k])*d1)*0.5;
650
651     for (l=0; l<GAUSS_ORDER; ++l){
652         /* transformation of quadrature nodes from [-1,1] to [a,b] */
653         sy0 = ((1-gauss_point[l])*a0+(1+gauss_point[l])*b0)*0.5;
654         sy1 = ((1-gauss_point[l])*a1+(1+gauss_point[l])*b1)*0.5;
655
656         /* inner product wht*wht*func(sx,sy) */
657         val += gauss_wht[k] * gauss_wht[l] * log((sx0-sy0)*(sx0-sy0)+
658             (sx1-sy1)*(sx1-sy1));
659     }
660 }
661
662 return -0.0625*val / M_PI; /* = - 1/(16*M_PI) * int(log |.|^2) */
663 }

```

4.1.8 computeVP1P1ij

Die Funktion erhält die Elemente $T_i = [a, b]$, $T_j = [c, d]$ in Form ihrer Randpunkte $a = [a_0, a_1]$, $b = [b_0, b_1]$, $c = [c_0, c_1]$ und $d = [d_0, d_1]$. Zusätzlich wird die Zulässigkeitskonstante η übergeben. Darüber hinaus wird auch noch der Polynomgrad ℓ der Testfunktion χ_i^ℓ und der Grad k der Ansatzfunktion χ_j^k übergeben. Mit Hilfe des max-min-Kriteriums, welches in den Zeilen 513-530 realisiert ist, wird nun das Doppelintegral

$$-\frac{\text{diam}(T_i)\text{diam}(T_j)}{8\pi} \int_{-1}^1 \int_{-1}^1 \log(|\gamma_i(s) - \gamma_j(t)|) t^\ell s^k dt ds \quad (4.8)$$

approximiert. Dabei wird sichergestellt, dass $\text{diam}(T_i) \leq \text{diam}(T_j)$. Andernfalls werden die beiden Elemente vertauscht. Gegebenenfalls müssen dann auch für die weitere Berechnung die Polynomgrade ℓ und k vertauscht werden.

Listing 8: computeVP1P1ij

```

474 double computeVP1P1ij(double a0, double a1, double b0, double b1, double c0,
475     double c1, double d0, double d1, int l, int k,
476     double eta) {
477
478     double u[2];
479     double v[2];
480     double w[2];
481     double hi = 0.0 , hj = 0.0;
482
483     double tmp = 0.0;
484     double val = 0.0;
485
486     int swapped = 0;
487
488     /* h_i = |T_i| */
489     /* h_j = |T_j| */
490     hi = ((b0-a0)*(b0-a0)+(b1-a1)*(b1-a1));
491     hj = ((c0-d0)*(c0-d0)+(c1-d1)*(c1-d1));
492
493     /* For stability reasons, we guarantee hj >= hi to ensure that *
494     * outer integration is over smaller domain. This is done by *
495     * swapping Tj and Ti if necessary. */
496
497     if (hj < hi) {
498         tmp = a0; a0 = c0; c0 = tmp;
499         tmp = a1; a1 = c1; c1 = tmp;
500         tmp = b0; b0 = d0; d0 = tmp;
501         tmp = b1; b1 = d1; d1 = tmp;
502         tmp = hi; hi = hj; hj = tmp;
503         swapped = 1;

```

```

504 }
505
506 if ( eta == 0 ) { /* compute all matrix entries analytically */
507     if(swapped)
508         val = computeVP1P1ijAnalytic(a0,a1, b0,b1, c0,c1, d0,d1,k,l);
509     else
510         val = computeVP1P1ijAnalytic(a0,a1, b0,b1, c0,c1, d0,d1,l,k);
511 }
512 else { /* compute admissible matrix entries semi-analytically */
513     if ( eta*distanceSegmentToSegment(a0,a1,b0,b1,c0,c1,d0,d1) > sqrt(hj) ) {
514         if(swapped)
515             val = computeVP1P1ijFullQuadrature(a0,a1, b0,b1, c0,c1, d0,d1,k,l);
516         else
517             val = computeVP1P1ijFullQuadrature(a0,a1, b0,b1, c0,c1, d0,d1,l,k);
518     }
519     else if ( eta*distanceSegmentToSegment(a0,a1,b0,b1,c0,c1,d0,d1) > sqrt(hi) ) {
520         if(swapped)
521             val = computeVP1P1ijSemiAnalytic(a0,a1, b0,b1, c0,c1, d0,d1,k,l);
522         else
523             val = computeVP1P1ijSemiAnalytic(a0,a1, b0,b1, c0,c1, d0,d1,l,k);
524     }
525     else {
526         if(swapped)
527             val = computeVP1P1ijAnalytic(a0,a1, b0,b1, c0,c1, d0,d1,k,l);
528         else
529             val = computeVP1P1ijAnalytic(a0,a1, b0,b1, c0,c1, d0,d1,l,k);
530     }
531 }
532
533
534 /* return -1/(2pi) |T_i|/2*|T_j|/2 int_{-1}^{-1} int_{-1}^{-1} ... */
535 return -0.125 / M_PI *sqrt(hi*hj)* val;
536 }

```

4.1.9 computeVP1P1ijAnalytic

Die Funktion berechnet nun das Integral

$$\int_{-1}^1 \int_{-1}^1 \log(|\gamma_i(s) - \gamma_j(t)|) t^\ell s^k dt ds. \quad (4.9)$$

Der wesentliche Teil der Berechnung wird dabei allerdings in der Funktion `doubleSlp` realisiert.

Listing 9: computeVP1P1ijAnalytic

```

587 double computeVP1P1ijAnalytic(double a0, double a1, double b0, double b1,
588                               double c0, double c1, double d0, double d1,
589                               int l, int k) {
590
591     double val = 0.0;
592     double u[2];
593     double v[2];
594     double w[2];
595
596     /* u = (z_i,2 - z_i,1)/2 */
597     u[0] = 0.5*(b0-a0);
598     u[1] = 0.5*(b1-a1);
599     /* v = -(z_j,2 - z_j,1)/2 */
600     v[0] = 0.5*(c0-d0);
601     v[1] = 0.5*(c1-d1);
602     /* w = (z_i,2+z_i,1)/2 - (z_j,2+z_j,1)/2 */
603     w[0] = 0.5*(a0+b0-c0-d0);
604     w[1] = 0.5*(a1+b1-c1-d1);
605     /*
606     if(l==1) {
607         if(k==1)
608             val = doubleSlp(1,1,u,v,w);
609         else if(k==0)

```

```

610         val = doubleSlp(1,0,u,v,w);
611     }
612     else if (l==0) {
613         if(k==1) {
614             val = doubleSlp(0,1,u,v,w);
615         }
616         else if(k==0)
617             val = doubleSlp(0,0,u,v,w);
618     }*/
619     val = doubleSlp(1,k,u,v,w);
620
621     return val;
622 }

```

4.1.10 computeVP1P1ijSemiAnalytic

Die Funktion berechnet nun das Integral (4.9) semianalytisch, das heißt es wird für die übergebenen Werte $m, n \in \{0, 1\}$ das Integral

$$\frac{1}{2} \sum_{k=0}^p \omega_k \int_{-1}^1 \log(|\gamma_i(z_k) - \gamma_j(t)|)^2 t^m z_k^n dt$$

berechnet, wobei $p = \text{GAUSS_ORDER} - 1$.

Listing 10: computeVP1P1ijSemiAnalytic

```

538 double computeVP1P1ijSemiAnalytic(double a0, double a1, double b0, double b1,
539                                   double c0, double c1, double d0, double d1,
540                                   int m, int n) {
541     int k,i;
542     double u[2], v[2];
543     double val = 0;
544     double sx0 = 0;
545     double sx1 = 0;
546     const double* gauss_point;
547     const double* gauss_wht;
548
549     gauss_point = getGaussPoints(GAUSS_ORDER);
550     gauss_wht   = getGaussWeights(GAUSS_ORDER);
551     /*
552     u[0] = 0.5*(a0-b0);
553     u[1] = 0.5*(a1-b1);*/
554
555     u[0] = 0.5*(c0-d0);
556     u[1] = 0.5*(c1-d1);
557
558     for (k=0; k<GAUSS_ORDER; ++k){
559         /* transformation of quadrature nodes from [-1,1] to [a,b] */
560         sx0 = ((1-gauss_point[k])*a0+(1+gauss_point[k])*b0)*0.5;
561         sx1 = ((1-gauss_point[k])*a1+(1+gauss_point[k])*b1)*0.5;
562
563         v[0] = sx0 - 0.5*(c0+d0);
564         v[1] = sx1 - 0.5*(c1+d1);
565
566         /* inner product wht*func(sx) */
567         if(m==0) {
568             if(n==1) {
569                 val += gauss_wht[k] * slp(1,u,v);
570             }
571             else if(n==0) {
572                 val += gauss_wht[k] * slp(0,u,v);
573             }
574         }
575         else if(m==1) {
576             if(n==1)
577                 val += gauss_wht[k] * gauss_point[k] * slp(1,u,v);
578             else if(n==0)
579                 val += gauss_wht[k] * gauss_point[k] * slp(0,u,v);

```

```

580     }
581 }
582 }
583 }
584     return 0.5*val; /* = ... */
585 }

```

4.1.11 computeVP1P1ijFullQuadrature

Die Funktion berechnet nun das Integral (4.9) indem beide Integrale durch Quadratur ersetzt werden. Für die übergebenen Werte $m, n \in \{0, 1\}$ wird der Wert

$$\frac{1}{2} \sum_{k=0}^p \sum_{\ell=0}^p \omega_k \omega_\ell \log (|\gamma_i(z_k) - \gamma_j(z_\ell)|)^2 z_\ell^m z_k^n$$

berechnet, wobei $p = \text{GAUSS_ORDER} - 1$.

Listing 11: computeVP1P1ijFullQuadrature

```

666 double computeVP1P1ijFullQuadrature(double a0, double a1, double b0,
667     double b1, double c0, double c1, double d0, double d1, int m,
668     int n) {
669     int k,l;
670     double val = 0;
671     double sx0 = 0;
672     double sx1 = 0;
673     double sy0 = 0;
674     double sy1 = 0;
675     const double* gauss_point;
676     const double* gauss_wht;
677
678     gauss_point = getGaussPoints(GAUSS_ORDER);
679     gauss_wht = getGaussWeights(GAUSS_ORDER);
680
681     for (k=0; k<GAUSS_ORDER; ++k){
682         /* transformation of quadrature nodes from [-1,1] to [a,b] */
683         sx0 = ((1-gauss_point[k])*a0+(1+gauss_point[k])*b0)*0.5;
684         sx1 = ((1-gauss_point[k])*a1+(1+gauss_point[k])*b1)*0.5;
685
686         for (l=0; l<GAUSS_ORDER; ++l){
687             /* transformation of quadrature nodes from [-1,1] to [c,d] */
688             sy0 = ((1-gauss_point[l])*c0+(1+gauss_point[l])*d0)*0.5;
689             sy1 = ((1-gauss_point[l])*c1+(1+gauss_point[l])*d1)*0.5;
690
691             /* inner product wht*wht*func(sx,sy) */
692             if(m==0) {
693                 if(n==1) {
694                     val += gauss_wht[k] * gauss_wht[l] * gauss_point[l] *
695                         log((sx0-sy0)*(sx0-sy0)+(sx1-sy1)*(sx1-sy1));
696                 }
697                 else if(n==0) {
698                     val += gauss_wht[k] * gauss_wht[l] * log((sx0-sy0)*
699                         (sx0-sy0)+(sx1-sy1)*(sx1-sy1));
700                 }
701             }
702             else if(m==1) {
703                 if(n==1) {
704                     val += gauss_wht[k] * gauss_point[k] * gauss_wht[l] *
705                         gauss_point[l] * log((sx0-sy0)*(sx0-sy0)+(sx1-sy1)*
706                         (sx1-sy1));
707                 }
708                 else if(n==0) {
709                     val += gauss_wht[k] * gauss_point[k] * gauss_wht[l] *
710                         log((sx0-sy0)*(sx0-sy0)+(sx1-sy1)*(sx1-sy1));
711                 }
712             }
713         }
714     }
715     return 0.5*val; /* = ... */

```

4.1.12 slp

Die Funktion dient zur Berechnung von

$$\int_{-1}^1 s^k \log |s\mathbf{u} + \mathbf{v}|^2 ds \quad \text{für } k \in \mathbb{N}_0 \text{ und } \mathbf{u}, \mathbf{v} \in \mathbb{R}^2. \quad (4.10)$$

Die eigentliche Berechnung passiert allerdings in `slpIterative`, welche einen Array zurückgibt. `slp` extrahiert eigentlich nur den letzten Eintrag aus diesem Array.

Listing 12: slp

```

20 double slp(int k, double u[2], double v[2]) {
21     double ret = 0.;
22     double* tmp = slpIterative(k, u, v);
23     ret = tmp[k];
24     free(tmp);
25     return ret;
26 }

```

4.1.13 slpIterative

Die Funktion berechnet nun tatsächlich das Integral (4.10). Da diese Berechnung rekursiv stattfindet, wird gleich ein ganzer Array der Dimension $k + 1$ erstellt, dessen Einträge durch

$$\text{val}[i] = \int_{-1}^1 s^i \log |s\mathbf{u} + \mathbf{v}|^2 ds \quad \text{für } i = 0, \dots, k. \quad (4.11)$$

für $k \in \mathbb{N}_0$ und $\mathbf{u}, \mathbf{v} \in \mathbb{R}^2$ gegeben sind. Für Details zur Berechnung möchten wir auf [10, Lemma 2.2] verweisen.

Listing 13: slpIterative

```

28 double* slpIterative(int k, double u[2], double v[2]) {
29     /* INPUT: Vectors \u, \v \in \mathbb{R}^2, an integer k.
30      * OUTPUT: An array val of length k+1 that is given by
31      *          val[i] = \int_{-1}^1 s^i \log |s\mathbf{u} + \mathbf{v}|^2 ds
32      */
33     int i = 0;
34     double a = u[0]*u[0] + u[1]*u[1]; /* a = <u,u> */
35     double b = 2 * ( u[0]*v[0] + u[1]*v[1] ); /* b = 2 <u,v> */
36     double c = v[0]*v[0] + v[1]*v[1]; /* c = <v,v> */
37     double tmp = 0., D = 0.;
38     double* val = malloc(sizeof(double)*(k+1));
39
40     /* Ensure that discriminant is either positive or zero */
41     tmp = 4*a*c - b*b;
42     assert(fabs(u[0]) > EPS || fabs(u[1]) > EPS
43            || fabs(v[0]) > EPS || fabs(v[1]) > EPS);
44     assert(tmp >= -fabs(EPS*4*a*c)); /* By theory there holds tmp >= 0. */
45
46     if (tmp > EPS*4*a*c)
47         D = sqrt(tmp);
48     else
49         D = 0.;
50
51     /* The case k=0 */
52     if (fabs(u[0]) < EPS && fabs(u[1]) < EPS) {
53         val[0] = 2*log(c);
54     }
55     else if (D == 0.) {
56         tmp = b + 2*a;
57         if (fabs(tmp) > EPS*a)
58             val[0] = tmp * log( 0.25*tmp*tmp / a );

```

```

59     else
60         val[0] = 0;
61         tmp = b - 2*a;
62         if (fabs(tmp) > EPS*a)
63             val[0] -= tmp * log( 0.25*tmp*tmp /a );
64         val[0] = 0.5*val[0] /a - 4;
65     }
66     else { /* case D > 0 */
67         tmp = c - a;
68         if (fabs(tmp) < EPS*c)
69             val[0] = 0.5*M_PI;
70         else if (a < c)
71             val[0] = atan( D /tmp );
72         else
73             val[0] = atan( D /tmp ) + M_PI;
74
75         val[0] = ( 0.5*( (b+2*a) * log(a+b+c) - (b-2*a) * log(a-b+c) ) + D*val[0])
76                                     / a - 4;
77     }
78     if (k == 0)
79         return val;
80
81     /* The case k=1 */
82     if (k>=1) {
83         if (fabs(u[0]) < EPS && fabs(u[1]) < EPS) {
84             val[1] = 0.;
85         }
86         else {
87             /* val holds \int_{-1}^{+1} \log |a*s^2+b*s+c|^2 ds. */
88             val[1] = -b*(2+val[0]);
89
90             tmp = a+b+c;
91             if (fabs(tmp) > EPS*a)
92                 val[1] += tmp * log(tmp);
93
94             tmp = a-b+c;
95             if (fabs(tmp) > EPS*a)
96                 val[1] -= tmp * log(tmp);
97
98             val[1] /= (2*a);
99         }
100     }
101     if (k == 1)
102         return val;
103
104     /* The case k>=2 */
105     for (i=2; i <= k; ++i) {
106         if (fabs(u[0]) < EPS && fabs(u[1]) < EPS) {
107             if (i%2 == 0)
108                 val[i] = 2*log(c)/(double)(i+1);
109             else
110                 val[i] = 0.;
111         }
112         else {
113             tmp = a+b+c;
114             if (fabs(tmp) > a*EPS)
115                 val[i] = tmp*log(tmp);
116             else
117                 val[i] = 0.;
118
119             tmp = a-b+c;
120             if (i % 2 == 0) {
121                 if (fabs(tmp) > a*EPS)
122                     val[i] += tmp*log(tmp);
123                 val[i] -= 4*a/(i+1);
124             }
125             else {
126                 if (fabs(tmp) > a*EPS)
127                     val[i] -= tmp*log(tmp);
128                 val[i] -= 2*b/i;
129             }
130
131             val[i] -= i*b*val[i-1]+(i-1)*c*val[i-2];
132             val[i] /= ((i+1)*a);

```

```

133     }
134   }
135
136   return val;
137 }

```

4.1.14 doubleSlp

Für $k, \ell \in \mathbb{N}_0$ und $\mathbf{u}, \mathbf{v}, \mathbf{w} \in \mathbb{R}^2$ berechnet die Funktion

$$\int_{-1}^1 \int_{-1}^1 s^k t^\ell \log |s\mathbf{u} + t\mathbf{v} + \mathbf{w}| dt ds.$$

Die Berechnung lässt sich rekursiv und mit Hilfe der Funktion `slpIterative` realisieren. Für Details sei auch hier auf [10, Lemma 3.1] verwiesen.

Listing 14: `doubleSlp`

```

139 double doubleSlp(int k, int l, double u[], double v[], double w[]) {
140     int i = 1;
141     double output = 0.;
142     double wpv[2], wmv[2], wpu[2], wmu[2];
143     double* memTableUWpv = NULL;
144     double* memTableUWmv = NULL;
145     double* memTableVWpu = NULL;
146     double* memTableVWmu = NULL;
147     double normUSq = u[0]*u[0]+u[1]*u[1];
148     double normVSq = v[0]*v[0]+v[1]*v[1];
149     double normWSq = w[0]*w[0]+w[1]*w[1];
150     double detUV = u[0]*v[1] - u[1]*v[0];
151
152     if (sqrt(normUSq) < EPS && sqrt(normVSq) < EPS) {
153         mexWarnMsgTxt("||u||&&||v||<EPS");
154         if (k%2 == 0) {
155             mexWarnMsgTxt("k mod 2 == 0");
156             if (l%2 == 0) {
157                 mexWarnMsgTxt("l mod 2 == 0");
158                 if (normWSq < EPS*EPS) {
159                     mexErrMsgTxt("||w||<EPS");
160                     return 0;
161                 }
162             }
163             else
164                 return (double)2./((double)((k+1)*(l+1))*log(w[0]*w[0]+w[1]*w[1]));
165         }
166         return 0.;
167     }
168 }
169 else if (normUSq < EPS*EPS) {
170     mexWarnMsgTxt("||u||<EPS");
171     if (k%2 == 0)
172         return (double) 1./(k+1) * slp(l, v, w);
173     return 0.;
174 }
175 else if (normVSq < EPS*EPS) {
176     mexWarnMsgTxt("||v||<EPS");
177     if (l%2 == 0)
178         return (double) 1./(l+1) * slp(k, u, w);
179     return 0.;
180 }
181
182 wpv[0] = w[0] + v[0]; wpv[1] = w[1] + v[1];
183 wmv[0] = w[0] - v[0]; wmv[1] = w[1] - v[1];
184 wpu[0] = w[0] + u[0]; wpu[1] = w[1] + u[1];
185 wmu[0] = w[0] - u[0]; wmu[1] = w[1] - u[1];
186
187 if (fabs(detUV) < EPS*sqrt(normUSq*normVSq)) { /* u,v parallel */
188     double mu = 0.;
189

```



```

190 memTableUWpv = slpIterative(k, u, wpv);
191 memTableUWmv = slpIterative(k, u, wmv);
192 memTableVWpu = slpIterative(k+1+1, v, wpu);
193 memTableVWmu = slpIterative(k+1+1, v, wmu);
194
195 if (fabs(u[0]) < fabs(u[1]))
196     mu = v[1] / u[1];
197 else
198     mu = v[0] / u[0];
199
200 output = memTableUWpv[0] - mu*memTableVWpu[k+1+1] + mu*memTableVWmu[k+1+1];
201 if ((k+1) % 2 == 0)
202     output += memTableUWmv[0];
203 else
204     output -= memTableUWmv[0];
205 output /= (2*(k+1+1));
206
207 for (i = 1; i <= k; ++i) {
208     output *= 2*i*mu;
209     output += memTableUWpv[i] - mu*memTableVWpu[1+k+1-i];
210
211     if ((k+1-i) % 2 == 0)
212         output += memTableUWmv[i];
213     else
214         output -= memTableUWmv[i];
215
216     if (i % 2 == 0)
217         output += mu*memTableVWmu[1+k+1-i];
218     else
219         output -= mu*memTableVWmu[1+k+1-i];
220
221     output /= (2*(1+k+1-i));
222 }
223 }
224 else {
225     int j = 1;
226     double mu1 = 0., mu2 = 0.;
227     double* tmp = malloc(sizeof(double) * (1+1));
228
229     if (fabs(w[0]+v[0]-u[0]) < fabs(w[0])*EPS
230         && fabs(w[1]+v[1]-u[1]) < fabs(w[1])*EPS) {
231         memTableVWmu = malloc(sizeof(double) * (1+1));
232         for (i = 0; i <= 1; ++i)
233             memTableVWmu[i] = 0.;
234
235         memTableUWpv = malloc(sizeof(double) * (k+1));
236         for (i = 0; i <= k; ++i)
237             memTableUWpv[i] = 0.;
238     }
239     else {
240         memTableVWmu = slpIterative(1, v, wmu);
241         memTableUWpv = slpIterative(k, u, wpv);
242     }
243
244     if (fabs(w[0]+u[0]-v[0]) < fabs(w[0])*EPS
245         && fabs(w[1]+u[1]-v[1]) < fabs(w[1])*EPS) {
246         memTableVWpu = malloc(sizeof(double) * (1+1));
247         for (i = 0; i <= 1; ++i)
248             memTableVWpu[i] = 0.;
249
250         memTableUWmv = malloc(sizeof(double) * (k+1));
251         for (i = 0; i <= k; ++i)
252             memTableUWmv[i] = 0.;
253     }
254     else {
255         memTableVWpu = slpIterative(1, v, wpu);
256         memTableUWmv = slpIterative(k, u, wmv);
257     }
258
259     mu1 = (v[1]*w[0] - v[0]*w[1]) / detUV;
260     mu2 = (-u[1]*w[0] + u[0]*w[1]) / detUV;
261
262     tmp[0] = -2 + ((mu1+1)*memTableVWpu[0] - (mu1-1)*memTableVWmu[0]
263                 + (mu2+1)*memTableUWpv[0] - (mu2-1)*memTableUWmv[0]) * 0.25;

```

```

264
265     for (i = 1; i <= l; ++i) {
266         tmp[i] = 0.5*((mu1+1)*memTableVWpu[i] - (mu1-1)*memTableVWmu[i]
267             + (mu2+1)*memTableUWpv[0] - i*mu2*tmp[i-1]);
268         if (i%2 == 0) {
269             tmp[i] -= (double)4/(double)(i+1);
270             tmp[i] -= 0.5 * (mu2-1)*memTableUWmv[0];
271         }
272         else
273             tmp[i] += 0.5 * (mu2-1)*memTableUWmv[0];
274
275         tmp[i] /= (i+2.);
276     }
277
278     for (i = 1; i <= k; ++i) {
279         tmp[0] = 0.5*((mu1+1)*memTableVWpu[0] + (mu2+1)*memTableUWpv[i]
280             - (mu2-1)*memTableUWmv[i]) - i*mu1*tmp[0];
281         if (i%2 == 0) {
282             tmp[0] -= (double)4/(double)(i+1);
283             tmp[0] -= 0.5*(mu1-1)*memTableVWmu[0];
284         }
285         else {
286             tmp[0] += 0.5*(mu1-1)*memTableVWmu[0];
287         }
288
289         tmp[0] /= (i+2.);
290
291         for (j = 1; j <= l; ++j) {
292             tmp[j] *= -i*mu1;
293             tmp[j] -= j*mu2*tmp[j-1];
294             tmp[j] += 0.5*( (mu1+1)*memTableVWpu[j] + (mu2+1)*memTableUWpv[i] );
295             if (i%2 == 0) {
296                 if (j%2 == 0) {
297                     tmp[j] -= (double)4/(double)((i+1)*(j+1));
298                 }
299                 tmp[j] -= 0.5 * (mu1-1) * memTableVWmu[j];
300             }
301             else {
302                 tmp[j] += 0.5 * (mu1-1) * memTableVWmu[j];
303             }
304
305             if (j%2 == 0) {
306                 tmp[j] -= 0.5 * (mu2-1) * memTableUWmv[i];
307             }
308             else {
309                 tmp[j] += 0.5 * (mu2-1) * memTableUWmv[i];
310             }
311
312             tmp[j] /= (i+j+2.);
313         }
314     }
315
316     output = tmp[l];
317     free(tmp);
318 }
319
320 free(memTableUWpv);
321 free(memTableUWmv);
322 free(memTableVWpu);
323 free(memTableVWmu);
324
325 return output;
326 }

```

4.2 Implementierung des K-Operators

Auch bei der Implementierung des K -Operators ist die C-Schnittstelle zu MATLAB durch die `mexFunction` gegeben, welche die Eingabeparameter einliest und den Speicher für die Matrix \mathbf{K} allokiert. Die Funktion `computeKP1S2` organisiert dann die Berechnung der

Einträge:

$$\mathbf{K}_{ij}^{(\ell m)} = -\frac{1}{2\pi} \int_{T_i} \int_{\text{supp}(\zeta_j^m)} \frac{(\mathbf{y} - \mathbf{x}) \cdot n(\mathbf{y})}{|\mathbf{x} - \mathbf{y}|^2} \zeta_j^m(\mathbf{y}) \chi_i^\ell(\mathbf{x}) ds_{\mathbf{y}} ds_{\mathbf{x}} \quad (4.12)$$

für $\ell \in \{0, 1\}$ und $m \in \{1, 2\}$.

Die Berechnung der Einträge für $m = 1$ läuft etwas anders als beim Einfachschichtpotential-Operator ab, da in diesem Fall $\text{supp}(\zeta_j^m)$ mehr als nur ein Element umfasst. Wir möchten an dieser Stelle nochmals hervorheben, dass j in diesem Fall die Menge der Knoten durchläuft, also $j \in \{1, \dots, \tilde{N}\}$. Sei für einen festen Eintrag $\mathbf{K}_{ij}^{(\ell 1)}$ der Matrix \mathbf{K} die zugehörige Basisfunktion $\zeta_j^1 \in \mathcal{S}^1(\mathcal{T}_h)$, die zu einem bestimmten Knoten \mathbf{z}_j gehört. Mit Hilfe der Darstellung von ζ_j^1 aus (3.9) und $\mathbf{K}_{ij}^{(\ell 1)}$ aus (3.23) gilt nun

$$\begin{aligned} \mathbf{K}_{ij}^{(\ell 1)} &= -\frac{1}{2\pi} \int_{T_i} \int_{T_{j_1}} \frac{(\mathbf{y} - \mathbf{x}) \cdot n(\mathbf{y})}{|\mathbf{x} - \mathbf{y}|^2} \zeta_j^1(\mathbf{y}) \chi_i^\ell(\mathbf{x}) ds_{\mathbf{y}} ds_{\mathbf{x}} \\ &\quad - \frac{1}{2\pi} \int_{T_i} \int_{T_{j_2}} \frac{(\mathbf{y} - \mathbf{x}) \cdot n(\mathbf{y})}{|\mathbf{x} - \mathbf{y}|^2} \zeta_j^1(\mathbf{y}) \chi_i^\ell(\mathbf{x}) ds_{\mathbf{y}} ds_{\mathbf{x}} \\ &= -\frac{\text{diam}(T_i) \text{diam}(T_{j_1})}{8\pi} \int_{-1}^1 \int_{-1}^1 \frac{(\gamma_{j_1}(t) - \gamma_i(s)) \cdot n(\gamma_{j_1}(s))}{|\gamma_i(s) - \gamma_{j_1}(t)|^2} \left(\frac{1+t}{2}\right) s^\ell dt ds \\ &\quad - \frac{\text{diam}(T_i) \text{diam}(T_{j_2})}{8\pi} \int_{-1}^1 \int_{-1}^1 \frac{(\gamma_{j_2}(t) - \gamma_i(s)) \cdot n(\gamma_{j_2}(s))}{|\gamma_i(s) - \gamma_{j_2}(t)|^2} \left(\frac{1-t}{2}\right) s^\ell dt ds. \end{aligned}$$

Bei der Implementierung in der Funktion `computeKP1S2` wird elementweise vorgegangen. Es wird also über alle Elemente iteriert. Da jedes Element genau zwei Randknoten hat, wird im entsprechenden Matrixeintrag $\mathbf{K}_{ij}^{(\ell 1)}$ für die Randknoten das dem Element entsprechende Doppelintegral addiert. Im Wesentlichen treten dabei für ein Element T_j zwei Integrale auf, die es zu berechnen gilt:

$$\begin{aligned} I_{0,i,\tilde{j}}^\ell &:= -\frac{\text{diam}(T_i) \text{diam}(T_{\tilde{j}})}{8\pi} \int_{-1}^1 \int_{-1}^1 \frac{(\gamma_{\tilde{j}}(t) - \gamma_i(s)) \cdot n(\gamma_{\tilde{j}}(t))}{|\gamma_i(s) - \gamma_{\tilde{j}}(t)|^2} \frac{1}{2} s^\ell dt ds \\ I_{1,i,\tilde{j}}^\ell &:= -\frac{\text{diam}(T_i) \text{diam}(T_{\tilde{j}})}{8\pi} \int_{-1}^1 \int_{-1}^1 \frac{(\gamma_{\tilde{j}}(t) - \gamma_i(s)) \cdot n(\gamma_{\tilde{j}}(t))}{|\gamma_i(s) - \gamma_{\tilde{j}}(t)|^2} \frac{t}{2} s^\ell dt ds. \end{aligned} \quad (4.13)$$

Damit erhalten wir nun

$$\mathbf{K}_{ij}^{(\ell 1)} = I_{0,i,j_1}^\ell + I_{1,i,j_1}^\ell + I_{0,i,j_2}^\ell - I_{1,i,j_2}^\ell. \quad (4.14)$$

Für den Fall $m = 2$ läuft die Berechnung der Einträge $\mathbf{K}_{ij}^{(\ell 2)}$ wieder so ähnlich wie beim V -Operator ab. Für $j \in \{1, \dots, N\}$ mit $\zeta_j^2(\gamma_j(t)) = 1/4(1-t^2)$ gilt also

$$\begin{aligned} \mathbf{K}_{ij}^{(\ell 2)} &= -\frac{1}{2\pi} \int_{T_i} \int_{T_j} \frac{(\mathbf{y} - \mathbf{x}) \cdot n(\mathbf{y})}{|\mathbf{x} - \mathbf{y}|^2} \zeta_j^2(\mathbf{y}) \chi_i^\ell(\mathbf{x}) ds_{\mathbf{y}} ds_{\mathbf{x}} \\ &= -\frac{\text{diam}(T_i) \text{diam}(T_j)}{32\pi} \int_{-1}^1 \int_{-1}^1 \frac{(\gamma_j(t) - \gamma_i(s)) \cdot n(\gamma_j(t))}{|\gamma_i(s) - \gamma_j(t)|^2} (1-t^2) s^\ell dt ds. \end{aligned} \quad (4.15)$$

für $\ell \in \{0, 1\}$.

Für die Einträge der Submatrix $\mathbf{K}^{(01)}$ (vgl.(3.17)) werden nun in der Funktion `computeKij` die Doppelintegrale $I_{0,i,\tilde{j}}^0$ und $I_{1,i,\tilde{j}}^0$ unter Anwendung des max-min-Kriteriums für alle Elemente $T_i, T_{\tilde{j}}$ berechnet. Für den Fall, dass die Elemente $T_i, T_{\tilde{j}}$ η -unzulässig sind oder die Zulässigkeitskonstante η gleich 0 ist, so werden die Doppelintegrale $I_{0,i,\tilde{j}}^0$ und $I_{1,i,\tilde{j}}^0$ analytisch berechnet. Da das Integral über das längere Randstück zuerst berechnet werden soll und anschließend das Integral über das kürzere Randstück, wird im Fall $\text{diam}(T_i) \leq \text{diam}(T_{\tilde{j}})$ die Funktion `computeKijAnalytic` aufgerufen, und ansonsten die Funktion `computeKijAnalyticSwapped`. Falls die Elemente $T_i, T_{\tilde{j}}$ η -min-zulässig sind, wird für $\text{diam}(T_i) \leq \text{diam}(T_{\tilde{j}})$ die Funktion `computeKijSemianalytic` aufgerufen und für $\text{diam}(T_{\tilde{j}}) < \text{diam}(T_i)$ die Funktion `computeKijSemianalyticSwapped`. Wenn die Elemente $T_i, T_{\tilde{j}}$ η -max-zulässig sind, berechnet die Funktion `computeKijFullQuadrature` die Doppelintegrale. Dabei ist eine Unterscheidung, welches der beiden Elemente $T_i, T_{\tilde{j}}$ den kleineren Durchmesser hat, nicht notwendig. Für ein Doppelintegral werden beide Integrale durch Quadratur ersetzt. Dabei werden nur Terme aufsummiert und daher spielt die Reihenfolge keine Rolle.

Für die analytische und semianalytische Berechnung der Doppelintegrale wird dann die exakte Berechnung von Integralen der Form

$$\int_{-1}^1 \frac{t^k}{|t\mathbf{p} + \mathbf{q}|^2} dt \quad \text{für } k \in \mathbb{N}_0 \text{ und } \mathbf{p}, \mathbf{q} \in \mathbb{R}^2$$

benötigt. Dies wird in der Funktion `d1p` realisiert.

Für die anderen Submatrizen $\mathbf{K}^{(02)}$, $\mathbf{K}^{(11)}$ und $\mathbf{K}^{(12)}$ werden die Einträge mit der Funktion `computeKP1S2ij` berechnet. Bei der Submatrix $\mathbf{K}^{(11)}$ werden nun für alle Elemente $T_i, T_{\tilde{j}}$ die Doppelintegrale $I_{0,i,\tilde{j}}^1$ und $I_{1,i,\tilde{j}}^1$ unter Anwendung des max-min-Kriteriums approximiert. Für die anderen zwei Submatrizen $\mathbf{K}^{(02)}$ und $\mathbf{K}^{(12)}$ wird nun für jeden Eintrag eine Approximation für das Doppelintegral (4.15) mit Hilfe des max-min-Kriteriums berechnet. In der Funktion `computeKP1S2ij` wird überprüft, ob die zwei Elemente $T_i, T_{\tilde{j}}$ über die integriert werden soll, eine Zulässigkeitsbedingung erfüllen. Falls diese η -unzulässig sind oder die Zulässigkeitskonstante η gleich 0 ist wird das geforderte Doppelintegral analytisch mit der Funktion `computeKP1S2ijAnalytic` berechnet. Für den Fall, dass die Elemente $T_i, T_{\tilde{j}}$ η -min-zulässig sind, wird die Funktion `computeKP1S2ijSemianalytic` aufgerufen. Wenn T_i und $T_{\tilde{j}}$ sogar η -max-zulässig sind, dann wird die Berechnung in der Funktion `computeKP1S2ijFullQuadrature` mittels Quadratur durchgeführt.

Für die analytische Berechnung der Doppelintegrale werden in weiterer Folge die Funktionen `doubleD1p` beziehungsweise `doubleD1pSwapped` benötigt, welche Integrale der Form

$$\int_{-1}^1 \int_{-1}^1 s^k t^\ell \frac{(\mathbf{w} + s\mathbf{u}) \cdot \mathbf{n}_v}{|\mathbf{w} + s\mathbf{u} + t\mathbf{v}|^2} dt ds \quad \text{für } k, \ell \in \mathbb{N}_0 \text{ und } \mathbf{u}, \mathbf{v}, \mathbf{w} \in \mathbb{R}^2$$

beziehungsweise

$$\int_{-1}^1 \int_{-1}^1 s^k t^\ell \frac{(\mathbf{w} + t\mathbf{v}) \cdot \mathbf{n}_u}{|\mathbf{w} + s\mathbf{u} + t\mathbf{v}|^2} dt ds \quad \text{für } k, \ell \in \mathbb{N}_0 \text{ und } \mathbf{u}, \mathbf{v}, \mathbf{w} \in \mathbb{R}^2$$

berechnen.

4.2.1 mexFunction

Als Eingabeparameter erhält die Funktion die Arrays `coordinates` und `elements`, welche die Triangulierung \mathcal{T}_h beschreiben. Wie bei der `mexFunction` der Implementierung des V -

Operators stehen in jeder Zeile der $\tilde{N} \times 2$ -Matrix `coordinates` die Koordinaten eines Randknotens aus \mathbb{R}^2 . Die $N \times 2$ -Matrix `elements` beschreibt die Randelemente, wobei in jeder Zeile die Indizes für die Zeile der zugehörigen Koordinaten aus `coordinates` stehen. Optional kann auch noch die Zulässigkeitskonstante η übergeben werden. Falls dies nicht geschieht, wird dafür der vordefinierte Wert `DEFAULT_ETA` verwendet.

Listing 15: mexFunction

```

25 void mexFunction(int nlhs, mxArray** plhs, int nrhs, const mxArray** prhs){
26     const char* functionName = mexFunctionName();
27     char errorMessage[150];
28     int nC=0, nE=0;
29     double eta = DEFAULT_ETA;
30     double* K=NULL;
31     const double* elements=NULL;
32     const double* coordinates=NULL;
33
34     if(nlhs!=1){
35         sprintf(errorMessage, "Invalid number of output arguments. Use either\n"
36             "    K=coordinates or\n"
37             "    K=coordinates,eta).\n",
38             functionName, functionName);
39         mexErrMsgTxt(errorMessage);
40     }
41
42     /* read input data */
43     switch(nrhs){
44         case 3:
45             eta = (double) mxGetScalar(prhs[2]);
46         case 2:
47             coordinates = (const double*) mxGetPr(prhs[0]);
48             elements = (const double*) mxGetPr(prhs[1]);
49             nC = mxGetM(prhs[0]);
50             nE = mxGetM(prhs[1]);
51             break;
52         default:
53             sprintf(errorMessage, "Invalid number of input arguments. Use either\n"
54                 "    K=coordinates or\n"
55                 "    K=coordinates,eta).\n",
56                 functionName, functionName);
57             mexErrMsgTxt(errorMessage);
58             break;
59     }
60
61     /* allocate output data */
62     plhs[0] = mxCreateDoubleMatrix(2*nE, nC+nE, mxREAL);
63     K = mxGetPr(plhs[0]);
64
65     computeKP1S2(K, coordinates, elements, nC, nE, eta);
66 }

```

4.2.2 computeKP1S2

Als Eingabeparameter werden die Arrays `coordinates` und `elements` und deren Dimensionen übergeben, also die Elementanzahl N und die Anzahl der Randknoten \tilde{N} . Zusätzlich werden noch ein Pointer, der auf den für die Matrix \mathbf{K} allokierten Speicher zeigt, und die Zulässigkeitskonstante η übergeben. Die Funktion durchläuft nun alle Kombinationen von Elementen $T_i \times T_j$ und berechnet dann entsprechende Doppelintegrale, die für die Einträge von \mathbf{K} notwendig sind.

Für die Submatrizen $\mathbf{K}^{(02)}$ und $\mathbf{K}^{(12)}$ wird dabei die Funktion `computeKP1S2ij` aufgerufen, um die entsprechenden Matrixeinträge $\mathbf{K}_{ij}^{(\ell 2)}$ (siehe (4.15)) mit $\ell = 0, 1$ zu berechnen.

Für die Submatrizen $\mathbf{K}^{(01)}, \mathbf{K}^{(11)} \in \mathbb{R}^{N \times \tilde{N}}$ läuft die Berechnung etwas anders ab, da die Spalten nicht nach Elementen, sondern nach Randknoten indiziert sind. Für die Kombination $T_i \times T_j$ mit $T_j = [c, d]$ wird für die Einträge der Submatrix $\mathbf{K}^{(01)}$ die Funktion

computeKij aufgerufen. Diese Funktion berechnet dann die Doppelintegrale $I_{0,i,j}^0$ und $I_{1,i,j}^0$ aus (4.13). Im Eintrag der zum Randknoten c gehört, wird dann $I_{0,i,j}^0 - I_{1,i,j}^0$ addiert, wobei im Eintrag der zu d gehört $I_{0,i,j}^0 + I_{1,i,j}^0$ addiert wird. Für die Submatrix $\mathbf{K}^{(11)}$ werden dann $I_{0,i,j}^1$ und $I_{1,i,j}^1$ aus (4.13) mit Hilfe der Funktion computeKP1S2ij berechnet. Im Eintrag der zum Randknoten c gehört, wird dann $I_{0,i,j}^1 - I_{1,i,j}^1$ addiert, wobei im Eintrag der zu d gehört $I_{0,i,j}^1 + I_{1,i,j}^1$ addiert wird. Da alle Elemente durchlaufen werden, wird auf diese Art und Weise sichergestellt, dass für alle Knoten z_j mit $j \in \{1, \dots, \tilde{N}\}$ die Einträge $\mathbf{K}_{ij}^{\ell_1}$ wie in (4.14) berechnet werden.

Listing 16: computeKP1S2

```

70 void computeKP1S2(double* K, const double* coordinates,
71                 const double* elements, int nC, int nE, double eta) {
72
73     int i=0, j=0;
74     int aidx=0, bidx=0, cidx=0, didx=0;
75     double a0=0.0, a1=0.0, b0=0.0, b1=0.0, c0=0.0, c1=0.0, d0=0.0, d1=0.0;
76     double linetest1=0.0, linetest2=0.0;
77     double I0=0.0, I1=0.0;
78     double J0=0.0, J1=0.0;
79
80     for (i=0;i<nE;++i) {
81         aidx = (int) elements[i]-1;           /* 1st node of Ti = [A,B] */
82         a0 = coordinates[aidx];
83         a1 = coordinates[aidx+nC];
84
85         bidx = (int) elements[i+nE]-1;       /* 2nd node of Ti = [A,B] */
86         b0 = coordinates[bidx];
87         b1 = coordinates[bidx+nC];
88
89         for (j=0;j<nE;++j) {
90             cidx = (int) elements[j]-1;       /* 1st node of Tj = [C,D] */
91             c0 = coordinates[cidx];
92             c1 = coordinates[cidx+nC];
93
94             didx = (int) elements[j+nE]-1;   /* 2nd node of Tj = [C,D] */
95             d0 = coordinates[didx];
96             d1 = coordinates[didx+nC];
97
98             linetest1 = fabs( (a0-c0)*(b1-a1) - (a1-c1)*(b0-a0) );
99             linetest2 = fabs( (a0-d0)*(b1-a1) - (a1-d1)*(b0-a0) );
100
101
102             if( linetest1>EPS*( sqrt((a0-c0)*(a0-c0)+(a1-c1)*(a1-c1)) ) ||
103                 linetest2>EPS*( sqrt((a0-d0)*(a0-d0)+(a1-d1)*(a1-d1)) ) ) {
104                 /* P0xS1 - part */
105                 computeKij(&I0,&I1,eta,a0,a1,b0,b1,c0,c1,d0,d1);
106                 K[i+cidx*2*nE] += I0-I1;
107                 K[i+didx*2*nE] += I0+I1;
108                 /* P1xS1 - part */
109                 J0 = computeKP1S2ij(a0,a1,b0,b1,c0,c1,d0,d1,1,0,eta);
110                 J1 = computeKP1S2ij(a0,a1,b0,b1,c0,c1,d0,d1,1,1,eta);
111                 K[i+nE+cidx*2*nE] += J0-J1;
112                 K[i+nE+didx*2*nE] += J0+J1;
113
114                 /* P0xS2 - part */
115                 K[2*nE*nC + i + j*2*nE] =
116                 computeKP1S2ij(a0,a1,b0,b1,c0,c1,d0,d1,0,2,eta);
117                 /* P1xS2 - part */
118                 K[2*nE*nC + nE + i + j*2*nE] =
119                 computeKP1S2ij(a0,a1,b0,b1,c0,c1,d0,d1,1,2,eta);
120             }
121         }
122     }
123 }
```

4.2.3 computeKij

Für die Elemente $T_i = [\mathbf{a}, \mathbf{b}]$ und $T_j = [\mathbf{c}, \mathbf{d}]$ erhält die Funktion die Randpunkte $\mathbf{a} = [a_0, a_1]$, $\mathbf{b} = [b_0, b_1]$, $\mathbf{c} = [c_0, c_1]$ und $\mathbf{d} = [d_0, d_1]$. Zusätzlich wird die Zulässigkeitskonstante η übergeben. Die Funktion `computeKij` ist nun für die Realisierung des max-min-Kriteriums zuständig, welche in den Zeilen 106-120 stattfindet. Hier wurde das min-Kriterium durch das max-min-Kriterium ersetzt. Davor wird noch sichergestellt, dass T_i das kürzere Randstück ist. Dies ist für den Fall der semianalytischen Berechnung wichtig, da dort das Integral über das kürzere Randelement durch Quadratur ersetzt wird. Gegebenenfalls werden also T_i und T_j vertauscht.

Zurückgegeben wird eine Approximation für die Integrale $I_{0,i,j}^0$ und $I_{1,i,j}^0$ (vgl. (4.13)).

Listing 17: `computeKij`

```

80 void computeKij(double* I0, double* I1, double eta,
81               double a0, double a1, double b0, double b1,
82               double c0, double c1, double d0, double d1) {
83
84     int swap = 0;
85     double tmp = 0.0;
86     double hi = (b0-a0)*(b0-a0)+(b1-a1)*(b1-a1);
87     double hj = (d0-c0)*(d0-c0)+(d1-c1)*(d1-c1);
88
89     if(hi>hj){
90         swap = 1;                               /* swap Tj and Ti */
91         tmp = hi;
92         hi = hj;
93         hj = tmp;
94     }
95
96     /* fully analytic computation */
97     if(eta == 0) {
98         if(swap == 0)
99             computeKijAnalytic(I0, I1, a0, a1, b0, b1, c0, c1, d0, d1);
100        else
101            computeKijSwappedAnalytic(I0, I1, a0, a1, b0, b1, c0, c1, d0, d1);
102    }
103
104    /* fully analytic or semianalytic */
105    else {
106        if(distanceSegmentToSegment(a0, a1, b0, b1, c0, c1, d0, d1)*eta >= sqrt(hj)) {
107            computeKijFullQuadrature(I0, I1, a0, a1, b0, b1, c0, c1, d0, d1);
108        }
109        else if(distanceSegmentToSegment(a0, a1, b0, b1, c0, c1, d0, d1)*eta >= sqrt(hi)) {
110            if(swap == 0)
111                computeKijSemianalytic(I0, I1, a0, a1, b0, b1, c0, c1, d0, d1);
112            else
113                computeKijSwappedSemianalytic(I0, I1, a0, a1, b0, b1, c0, c1, d0, d1);
114        }
115        else {
116            if(swap == 0)
117                computeKijAnalytic(I0, I1, a0, a1, b0, b1, c0, c1, d0, d1);
118            else
119                computeKijSwappedAnalytic(I0, I1, a0, a1, b0, b1, c0, c1, d0, d1);
120        }
121    }
122 }

```

4.2.4 computeKijAnalytic

Für $\text{diam}(T_i) \leq \text{diam}(T_j)$ berechnet die Funktion die Integrale $I_{0,i,j}^0$ und $I_{1,i,j}^0$ (vgl. (4.13)) analytisch. Für Details zur Berechnung möchten wir auf [10, Lemma 3.1] verweisen.

Listing 18: `computeKijAnalytic`

```

125 void computeKijAnalytic(double* I0, double* I1,

```

```

126             double a0, double a1, double b0, double b1,
127             double c0, double c1, double d0, double d1) {
128
129     double lambda=0.0, mu=0.0;
130     double det=0.0;
131
132     double n[2]={0.,0.}, u[2]={0.,0.}, v[2]={0.,0.}, w[2]={0.,0.};
133     double w_plus_u[2]={0.,0.}, w_minus_u[2]={0.,0.};
134     double w_plus_v[2]={0.,0.}, w_minus_v[2]={0.,0.};
135
136     double dot_u_n=0.0, dot_w_n=0.0;
137     double dot_w_plus_u_n=0.0, dot_w_minus_u_n=0.0;
138
139     /* hi=norm2(b-a)^2 ; hj=norm2(d-c)^2 */
140     double hi = (b0-a0)*(b0-a0)+(b1-a1)*(b1-a1);
141     double hj = (d0-c0)*(d0-c0)+(d1-c1)*(d1-c1);
142
143     n[0] = (d1-c1)/sqrt(hj);      n[1] = (c0-d0)/sqrt(hj);      /* normaleVector */
144     u[0] = a0-b0;                u[1] = a1-b1;                /* u=a-b */
145     v[0] = d0-c0;                v[1] = d1-c1;                /* v=d-c */
146
147     w[0] = c0+d0-a0-b0;          w[1] = c1+d1-a1-b1;          /* w=c+d-a-b */
148     w_plus_u[0] = w[0]+u[0];     w_plus_u[1] = w[1]+u[1];     /* w_plus_u=w+u */
149     w_minus_u[0] = w[0]-u[0];    w_minus_u[1] = w[1]-u[1];    /* w_minus_u=w-u */
150
151     w_plus_v[0] = w[0]+v[0];     w_plus_v[1] = w[1]+v[1];
152     w_minus_v[0] = w[0]-v[0];    w_minus_v[1] = w[1]-v[1];
153
154     dot_u_n = u[0]*n[0]+u[1]*n[1];      /* dot_u_n=<u,n>*/
155     dot_w_n = w[0]*n[0]+w[1]*n[1];
156     /* dot_w_plus_u_n=<w+u,n> */
157     dot_w_plus_u_n = w_plus_u[0]*n[0]+w_plus_u[1]*n[1];
158     dot_w_minus_u_n = w_minus_u[0]*n[0]+w_minus_u[1]*n[1];
159
160     det = u[0]*v[1]-u[1]*v[0];
161
162     /* u,v linearly dependent */
163     if (fabs(det)<=EPS*sqrt(hi*hj)) {
164         if (fabs(u[0])>fabs(u[1]))
165             mu = v[0]/u[0];
166         else
167             mu = v[1]/u[1];
168
169         *I0 = dot_w_n*( dlp(0,u,w_plus_v)+dlp(0,u,w_minus_v)
170 + mu*(dlp(1,v,w_minus_u)-dlp(1,v,w_plus_u)) );
171         *I1 = dot_w_n*( dlp(0,u,w_plus_v)-dlp(0,u,w_minus_v)
172 + mu*(dlp(2,v,w_minus_u)-dlp(2,v,w_plus_u)) )*0.5;
173     }
174
175     /* u,v linearly independent */
176     else {
177         if (a0==d0 && a1==d1){
178             *I0 = 2*( dot_w_plus_u_n*dlp(0,v,w_plus_u)+dot_u_n*dlp(1,u,w_minus_v)
179 + dot_w_n*dlp(0,u,w_minus_v) );
180             *I1 = dot_w_plus_u_n*dlp(1,v,w_plus_u)-dot_u_n*dlp(1,u,w_minus_v)
181 - dot_w_n*dlp(0,u,w_minus_v) + 0.5*( *I0);
182         }
183         else if (b0==c0 && b1==c1){
184             *I0 = 2*( dot_w_minus_u_n*dlp(0,v,w_minus_u)
185 + dot_u_n*dlp(1,u,w_plus_v)+dot_w_n*dlp(0,u,w_plus_v) );
186             *I1 = dot_w_minus_u_n*dlp(1,v,w_minus_u)
187 + dot_u_n*dlp(1,u,w_plus_v)+dot_w_n*dlp(0,u,w_plus_v)
188 - 0.5*( *I0);
189         }
190         else {
191             mu = (w[0]*v[1]-w[1]*v[0])/det;
192             lambda = (u[0]*w[1]-u[1]*w[0])/det;
193
194             *I0 = (mu+1)*dot_w_plus_u_n*dlp(0,v,w_plus_u)
195 - (mu-1)*dot_w_minus_u_n*dlp(0,v,w_minus_u)
196 + (lambda+1)*(dot_u_n*dlp(1,u,w_plus_v)
197 + dot_w_n*dlp(0,u,w_plus_v))
198 - (lambda-1)*(dot_u_n*dlp(1,u,w_minus_v)
199 + dot_w_n*dlp(0,u,w_minus_v));

```



```

200     *I1 = 0.5*( (mu+1)*dot_w_plus_u_n*d1p(1,v,w_plus_u)
201     - (mu-1)*dot_w_minus_u_n*d1p(1,v,w_minus_u)
202     + (lambda+1)*(dot_u_n*d1p(1,u,w_plus_v)
203     + dot_w_n*d1p(0,u,w_plus_v))
204     + (lambda-1)*(dot_u_n*d1p(1,u,w_minus_v)
205     + dot_w_n*d1p(0,u,w_minus_v))
206     - lambda*( *I0 ) );
207 }
208 }
209 *I0 *= -0.125*sqrt(hi*hj)/M_PI;
210 *I1 *= -0.125*sqrt(hi*hj)/M_PI;
211 }

```

4.2.5 computeKijSwappedAnalytic

Für den Fall, dass $\text{diam}(T_i) > \text{diam}(T_j)$ werden die beiden Integrale bei jeweils $I_{0,i,j}^0$ und $I_{1,i,j}^0$ (vgl. (4.13)) so vertauscht, dass das innere Integral dem Integral über T_i entspricht. Mit anderen Worten: Es soll wieder zuerst über das längere Randstück, in diesem Fall T_i , und danach über das kürzere Randstück T_j integriert werden. Genauer gesagt werden hier die Integrale

$$\begin{aligned}
& - \frac{\text{diam}(T_i)\text{diam}(T_j)}{8\pi} \int_{-1}^1 \int_{-1}^1 \frac{(\gamma_j(t) - \gamma_i(s)) \cdot n(\gamma_j(t))}{|\gamma_i(s) - \gamma_j(t)|^2} \frac{1}{2} ds dt, \\
& - \frac{\text{diam}(T_i)\text{diam}(T_j)}{8\pi} \int_{-1}^1 \int_{-1}^1 \frac{(\gamma_j(t) - \gamma_i(s)) \cdot n(\gamma_j(t))}{|\gamma_i(s) - \gamma_j(t)|^2} \frac{t}{2} ds dt
\end{aligned}$$

berechnet. Diese zwei Doppelintegrale werden nun mit Hilfe von [10, Lemma 3.1] anders als bei `computeKijAnalytic` berechnet. Auch hier möchten wir nicht auf die genaue Berechnung eingehen.

Listing 19: computeKijSwappedAnalytic

```

214 void computeKijSwappedAnalytic(double* I0, double* I1,
215                               double a0, double a1, double b0, double b1,
216                               double c0, double c1, double d0, double d1) {
217
218     double lambda = 0;
219     double mu = 0;
220     double det = 0;
221
222     /*hi=norm2(b-a)^2 ; hj=norm2(d-c)^2 */
223     double hi = (b0-a0)*(b0-a0)+(b1-a1)*(b1-a1);
224     double hj = (d0-c0)*(d0-c0)+(d1-c1)*(d1-c1);
225
226     double n[2], u[2], v[2], w[2];
227     double w_plus_u[2], w_minus_u[2], w_plus_v[2], w_minus_v[2];
228     double dot_v_n, dot_w_n, dot_w_plus_v_n, dot_w_minus_v_n;
229
230     n[0] = (d1-c1)/sqrt(hj);           n[1] = (c0-d0)/sqrt(hj);   /* normaleVector */
231     u[0] = d0-c0;                     u[1] = d1-c1;           /* u=d-c */
232     v[0] = a0-b0;                     v[1] = a1-b1;           /* v=a-b */
233
234     w[0] = c0+d0-a0-b0;                w[1] = c1+d1-a1-b1;   /* w=c+d-a-b */
235     w_plus_u[0] = w[0]+u[0];           w_plus_u[1] = w[1]+u[1]; /* w_plus_u=w+u */
236     w_minus_u[0] = w[0]-u[0];          w_minus_u[1] = w[1]-u[1]; /* w_minus_u=w-u */
237
238     w_plus_v[0] = w[0]+v[0];           w_plus_v[1] = w[1]+v[1];
239     w_minus_v[0] = w[0]-v[0];          w_minus_v[1] = w[1]-v[1];
240
241     dot_v_n = v[0]*n[0]+v[1]*n[1];     /* dot_u_n=<u,n> */
242     dot_w_n = w[0]*n[0]+w[1]*n[1];
243     /* dot_w_plus_u_n=<w+u,n> */
244     dot_w_plus_v_n = w_plus_v[0]*n[0]+w_plus_v[1]*n[1];
245     dot_w_minus_v_n = w_minus_v[0]*n[0]+w_minus_v[1]*n[1];

```

```

246
247   det = u[0]*v[1]-u[1]*v[0];
248
249   /* u,v linearly dependent */
250   if(fabs(det)<=EPS*sqrt(hi*hj)) {
251       if(fabs(u[0])>fabs(u[1]))
252           mu = v[0]/u[0];
253       else
254           mu = v[1]/u[1];
255
256       *I0 = dot_w_n*( dlp(0,u,w_plus_v)+dlp(0,u,w_minus_v)
257 + mu*(dlp(1,v,w_minus_u)-dlp(1,v,w_plus_u)) );
258       *I1 = dot_w_n*( dlp(1,u,w_plus_v)+dlp(1,u,w_minus_v)
259 + mu*( -dlp(1,v,w_minus_u)-dlp(1,v,w_plus_u)
260 +0.5*( dlp(0,u,w_plus_v)-dlp(0,u,w_minus_v)
261 + mu*(dlp(2,v,w_minus_u)-dlp(2,v,w_plus_u)))));
262   }
263
264   /* u,v linearly independent */
265   else{
266       if(a0==d0 && a1==d1){
267           *I0 = 2*( dot_v_n*dlp(1,v,w_minus_u)+dot_w_n*dlp(0,v,w_minus_u)
268 + dot_w_plus_v_n*dlp(0,u,w_plus_v) );
269           *I1 = dot_w_plus_v_n*dlp(1,u,w_plus_v)-dot_v_n*dlp(1,v,w_minus_u)
270 - dot_w_n*dlp(0,v,w_minus_u) + 0.5*( *I0);
271       }
272       else if(b0==c0 && b1==c1){
273           *I0 = 2*( dot_v_n*dlp(1,v,w_plus_u)
274 +dot_w_n*dlp(0,v,w_plus_u)+dot_w_minus_v_n*dlp(0,u,w_minus_v) );
275           *I1 = dot_v_n*dlp(1,v,w_plus_u)+dot_w_n*dlp(0,v,w_plus_u)
276 + dot_w_minus_v_n*dlp(1,u,w_minus_v) - 0.5*( *I0);
277       }
278       else {
279           mu = (w[0]*v[1]-w[1]*v[0])/det;
280           lambda = (u[0]*w[1]-u[1]*w[0])/det;
281
282           *I0 = (mu+1)*(dot_v_n*dlp(1,v,w_plus_u)+dot_w_n*dlp(0,v,w_plus_u))
283 - (mu-1)*(dot_v_n*dlp(1,v,w_minus_u)+dot_w_n*dlp(0,v,w_minus_u))
284 + (lambda+1)*dot_w_plus_v_n*dlp(0,u,w_plus_v)
285 - (lambda-1)*dot_w_minus_v_n*dlp(0,u,w_minus_v);
286           *I1 = 0.5*( (mu+1)*(dot_v_n*dlp(1,v,w_plus_u)+dot_w_n*dlp(0,v,w_plus_u))
287 +(mu-1)*(dot_v_n*dlp(1,v,w_minus_u)+dot_w_n*dlp(0,v,w_minus_u))
288 +(lambda+1)*dot_w_plus_v_n*dlp(1,u,w_plus_v)
289 -(lambda-1)*dot_w_minus_v_n*dlp(1,u,w_minus_v)-mu*( *I0));
290       }
291   }
292   *I0 **= -0.125*sqrt(hi*hj)/M_PI;
293   *I1 **= -0.125*sqrt(hi*hj)/M_PI;
294 }

```

4.2.6 computeKijSemianalytic

Diese Funktion berechnet nun die Doppelintegrale $I_{0,i,j}^0$ und $I_{1,i,j}^0$ (vgl. (4.13)) semianalytisch. Dabei wird das Integral über das kürzere Randstück, in unserem Fall T_i , durch Quadratur ersetzt. Es werden also

$$\begin{aligned}
I_{0,i,j}^0 &\simeq -\frac{\text{diam}(T_i)\text{diam}(T_j)}{8\pi} \sum_{k=0}^p \omega_k \int_{-1}^1 \frac{(\gamma_j(t) - \gamma_i(z_k)) \cdot n(\gamma_j(t))}{|\gamma_j(t) - \gamma_i(z_k)|^2} \frac{1}{2} dt, \\
I_{1,i,j}^0 &\simeq -\frac{\text{diam}(T_i)\text{diam}(T_j)}{8\pi} \sum_{k=0}^p \omega_k \int_{-1}^1 \frac{(\gamma_j(t) - \gamma_i(z_k)) \cdot n(\gamma_j(t))}{|\gamma_j(t) - \gamma_i(z_k)|^2} \frac{t}{2} dt
\end{aligned}$$

approximiert. Für unsere Berechnung ist der Quadraturgrad $p = \text{GAUSS_ORDER} - 1$ aus (4.4).

Listing 20: computeKijSemianalytic

```

297 void computeKijSemianalytic(double* I0, double* I1,
298                             double a0, double a1, double b0, double b1,
299                             double c0, double c1, double d0, double d1) {
300
301     /*hi=norm2(b-a)^2 hj=norm2(d-c)^2 */
302     double hi = (b0-a0)*(b0-a0)+(b1-a1)*(b1-a1);
303     double hj = (d0-c0)*(d0-c0)+(d1-c1)*(d1-c1);
304
305     int i=0;
306     double n[2], u[2], v[2], w[2], z[2];
307     double I0tmp = 0.0;
308     double I1tmp = 0.0;
309     double dot_z_n = 0.0;
310
311     /* 16-point Gaussian quadrature on [-1,1] */
312     const int order = 16;
313     const double* gauss_weight = getGaussWeights(order);
314     const double* gauss_point = getGaussPoints(order);
315
316     n[0] = (d1-c1)/sqrt(hj);      n[1] = (c0-d0)/sqrt(hj);      /* normaleVector */
317     u[0] = a0-b0;                u[1] = a1-b1;                /* u=a-b */
318     v[0] = d0-c0;                v[1] = d1-c1;                /* v=d-c */
319     w[0] = c0+d0-a0-b0;          w[1] = c1+d1-a1-b1;          /* w=c+d-a-b */
320
321     for (i=0;i<order;++i) {
322         z[0] = gauss_point[i]*u[0]+w[0];
323         z[1] = gauss_point[i]*u[1]+w[1];
324
325         dot_z_n = z[0]*n[0]+z[1]*n[1];
326
327         I0tmp += gauss_weight[i]*dot_z_n*d1p(0,v,z);
328         I1tmp += gauss_weight[i]*dot_z_n*d1p(1,v,z);
329     }
330
331     *I0 = -0.125*sqrt(hi*hj)*I0tmp/M_PI;
332     *I1 = -0.125*sqrt(hi*hj)*I1tmp/M_PI;
333 }

```

4.2.7 computeKijSwappedSemianalytic

Falls nun $\text{diam}(T_i) > \text{diam}(T_j)$, werden die beiden Integrale bei $I_{0,i,j}^0$ und $I_{1,i,j}^0$ (vgl. (4.13)) so vertauscht, dass das innere Integral dem Integral über T_i entspricht. Dann wird zuerst das Integral über T_i exakt berechnet und anschließend das äußere Integral über das kürzere Randstück T_j mittels Quadratur approximiert. Im Gegensatz zu `computeKijSemianalytic` sind die Approximationen nun leicht abgeändert:

$$I_{0,i,j}^0 \simeq -\frac{\text{diam}(T_i)\text{diam}(T_j)}{8\pi} \sum_{k=0}^p \omega_k \int_{-1}^1 \frac{(\gamma_j(z_k) - \gamma_i(s)) \cdot n(\gamma_j(z_k))}{|\gamma_j(z_k) - \gamma_i(s)|^2} \frac{1}{2} ds,$$

$$I_{1,i,j}^0 \simeq -\frac{\text{diam}(T_i)\text{diam}(T_j)}{8\pi} \sum_{k=0}^p \omega_k \int_{-1}^1 \frac{(\gamma_j(z_k) - \gamma_i(s)) \cdot n(\gamma_j(z_k))}{|\gamma_j(z_k) - \gamma_i(s)|^2} \frac{z_k}{2} ds.$$

Dabei ist $p = \text{GAUSS_ORDER} - 1$ aus (4.4).

Listing 21: computeKijSwappedSemianalytic

```

335 void computeKijSwappedSemianalytic(double* I0, double* I1,
336                                   double a0, double a1, double b0, double b1,
337                                   double c0, double c1, double d0, double d1) {
338
339     /*hi=norm2(b-a)^2 ; hj=norm2(d-c)^2 */
340     double hi = (b0-a0)*(b0-a0)+(b1-a1)*(b1-a1);
341     double hj = (d0-c0)*(d0-c0)+(d1-c1)*(d1-c1);
342
343     int i=0;
344     double n[2], u[2], v[2], w[2], z[2];

```

```

345 double dot_v_n, dot_w_n;
346 double I0tmp = 0.0;
347 double I1tmp = 0.0;
348
349 /* 16-point Gaussian quadrature on [-1,1] */
350 const int order = 16;
351 const double* gauss_weight = getGaussWeights(order);
352 const double* gauss_point = getGaussPoints(order);
353
354
355 n[0] = (d1-c1)/sqrt(hj);      n[1] = (c0-d0)/sqrt(hj);      /* normaleVector */
356 u[0] = d0-c0;                u[1] = d1-c1;                /* u=d-c          */
357 v[0] = a0-b0;                v[1] = a1-b1;                /* v=a-b          */
358 w[0] = c0+d0-a0-b0;         w[1] = c1+d1-a1-b1;         /* w=c+d-a-b     */
359
360 dot_v_n = v[0]*n[0]+v[1]*n[1];
361 dot_w_n = w[0]*n[0]+w[1]*n[1];
362
363 for (i=0;i<order;++i) {
364     z[0] = gauss_point[i]*u[0]+w[0];
365     z[1] = gauss_point[i]*u[1]+w[1];
366
367     I0tmp += gauss_weight[i]*( dot_v_n*d1p(1,v,z) + dot_w_n*d1p(0,v,z) );
368     I1tmp += gauss_weight[i]*gauss_point[i]*( dot_v_n*d1p(1,v,z)
369 + dot_w_n*d1p(0,v,z) );
370 }
371
372 *I0 = -0.125*sqrt(hi*hj)*I0tmp/M_PI;
373 *I1 = -0.125*sqrt(hi*hj)*I1tmp/M_PI;
374 }

```

4.2.8 computeKijFullQuadrature

Diese Funktion gibt nun eine approximative Berechnung von $I_{0,i,j}^0$ und $I_{1,i,j}^0$ (vgl. (4.13)) zurück, wobei nun beide Integrale mit Quadratur angenähert werden. Für $p = \text{GAUSS_ORDER} - 1$ aus (4.4) gilt:

$$I_{0,i,j}^0 \simeq -\frac{\text{diam}(T_i)\text{diam}(T_j)}{8\pi} \sum_{k=0}^p \sum_{m=0}^p \omega_k \omega_m \frac{(\gamma_j(z_m) - \gamma_i(z_k)) \cdot n(\gamma_j(z_m))}{|\gamma_j(z_m) - \gamma_i(z_k)|^2} \frac{1}{2},$$

$$I_{1,i,j}^0 \simeq -\frac{\text{diam}(T_i)\text{diam}(T_j)}{8\pi} \sum_{k=0}^p \sum_{m=0}^p \omega_k \omega_m \frac{(\gamma_j(z_m) - \gamma_i(z_k)) \cdot n(\gamma_j(z_m))}{|\gamma_j(z_m) - \gamma_i(z_k)|^2} \frac{z_m}{2}.$$

Listing 22: computeKijFullQuadrature

```

806 void computeKijFullQuadrature(double* I0, double* I1,
807                             double a0, double a1, double b0, double b1,
808                             double c0, double c1, double d0, double d1) {
809
810     /*hi=norm2(b-a)^2 hj=norm2(d-c)^2 */
811     double hi = (b0-a0)*(b0-a0)+(b1-a1)*(b1-a1);
812     double hj = (d0-c0)*(d0-c0)+(d1-c1)*(d1-c1);
813
814     int i=0,k=0;
815     double n[2], u[2], v[2], w[2], z[2], r[2];
816     double I0tmp = 0.0;
817     double I1tmp = 0.0;
818     double dot_z_n = 0.0;
819
820     /* 16-point Gaussian quadrature on [-1,1] */
821     const int order = 16;
822     const double* gauss_weight = getGaussWeights(order);
823     const double* gauss_point = getGaussPoints(order);
824
825     n[0] = (d1-c1)/sqrt(hj);      n[1] = (c0-d0)/sqrt(hj);      /* normaleVector */
826     u[0] = a0-b0;                u[1] = a1-b1;                /* u=a-b          */

```

```

827 v[0] = d0-c0;          v[1] = d1-c1;          /* v=d-c      */
828 w[0] = c0+d0-a0-b0;   w[1] = c1+d1-a1-b1;   /* w=c+d-a-b  */
829
830 for (i=0;i<order;++i) {
831     z[0] = gauss_point[i]*u[0]+w[0];
832     z[1] = gauss_point[i]*u[1]+w[1];
833
834     dot_z_n = z[0]*n[0]+z[1]*n[1];
835
836     for (k=0;k<order;++k) {
837         r[0] = w[0]+gauss_point[k]*v[0]+gauss_point[i]*u[0];
838         r[1] = w[1]+gauss_point[k]*v[1]+gauss_point[i]*u[1];
839
840         I0tmp += gauss_weight[i]*gauss_weight[k]*dot_z_n/(r[0]*r[0]+r[1]*r[1]);
841         I1tmp += gauss_weight[i]*gauss_weight[k]*gauss_point[k]*
842             dot_z_n/(r[0]*r[0]+r[1]*r[1]);
843     }
844 }
845
846 *I0 = -0.125*sqrt(hi*hj)*I0tmp/M_PI;
847 *I1 = -0.125*sqrt(hi*hj)*I1tmp/M_PI;
848 }

```

4.2.9 computeKP1S2ij

Die Funktion erhält die Elemente $T_i = [\mathbf{a}, \mathbf{b}]$, $T_j = [\mathbf{c}, \mathbf{d}]$ in Form ihrer Randpunkte $\mathbf{a} = [a_0, a_1]$, $\mathbf{b} = [b_0, b_1]$, $\mathbf{c} = [c_0, c_1]$ und $\mathbf{d} = [d_0, d_1]$. Zusätzlich wird die Zulässigkeitskonstante η übergeben. Darüber hinaus werden auch noch Werte $\text{tfun} = \ell \in \{0, 1\}$ und $\text{afun} = m \in \{1, 2\}$ übergeben. Die benötigten Doppelintegrale werden nun mit Hilfe des max-min-Kriteriums, welches in den Zeilen 620-628 realisiert ist, berechnet. Dabei wird sichergestellt, dass $\text{diam}(T_i) \leq \text{diam}(T_j)$. Andernfalls werden die beiden Elemente vertauscht.

In Abhängigkeit der übergebenen Werte ℓ, m werden nun unterschiedliche Integrale berechnet. Falls $m = 2$ und $\ell \in \{0, 1\}$ wird das Integral

$$-\frac{\text{diam}(T_i)\text{diam}(T_j)}{32\pi} \int_{-1}^1 \int_{-1}^1 \frac{(\gamma_j(t) - \gamma_i(s)) \cdot n(\gamma_j(t))}{|\gamma_i(s) - \gamma_j(t)|^2} (1-t^2)s^\ell dt ds \quad (4.16)$$

berechnet. Für $m \in \{0, 1\}$ und $\ell = 1$ wird das Integral

$$-\frac{\text{diam}(T_i)\text{diam}(T_j)}{16\pi} \int_{-1}^1 \int_{-1}^1 \frac{(\gamma_j(t) - \gamma_i(s)) \cdot n(\gamma_j(t))}{|\gamma_i(s) - \gamma_j(t)|^2} t^m s dt ds \quad (4.17)$$

berechnet.

Listing 23: computeKP1S2ij

```

595 double computeKP1S2ij(double a0, double a1, double b0, double b1,
596                     double c0, double c1, double d0, double d1, int tfun, int afun,
597                     double eta) {
598
599     int swap = 0;
600     double tmp = 0.0;
601     double hi = (b0-a0)*(b0-a0)+(b1-a1)*(b1-a1);
602     double hj = (d0-c0)*(d0-c0)+(d1-c1)*(d1-c1);
603
604     double val = 0.0;
605
606     if (hi>hj){
607         swap = 1;
608         tmp = hi;
609         hi = hj;
610         hj = tmp;

```

```

611 }
612
613 /* fully analytic computation */
614 if(eta == 0) {
615     return computeKP1S2ijAnalytic(a0,a1,b0,b1,c0,c1,d0,d1,tfun,afun,swap);
616 }
617
618 /* fully analytic or semianalytic */
619 else {
620     if(distanceSegmentToSegment(a0,a1,b0,b1,c0,c1,d0,d1)*eta >= sqrt(hj)) {
621         return computeKP1S2ijFullQuadrature(a0,a1,b0,b1,c0,c1,d0,d1,tfun,afun,swap);
622     }
623     else if(distanceSegmentToSegment(a0,a1,b0,b1,c0,c1,d0,d1)*eta >= sqrt(hi)) {
624         return computeKP1S2ijSemianalytic(a0,a1,b0,b1,c0,c1,d0,d1,tfun,afun,swap);
625     }
626     else {
627         return computeKP1S2ijAnalytic(a0,a1,b0,b1,c0,c1,d0,d1,tfun,afun,swap);
628     }
629 }
630 }

```

4.2.10 computeKP1S2ijAnalytic

Die Funktion berechnet die Integrale (4.16) für $m = 2$ und $\ell \in \{0,1\}$ und (4.17) für $m \in \{0,1\}$ und $\ell = 1$ exakt. Falls $\text{diam}(T_i) > \text{diam}(T_j)$ wird der wesentliche Teil der Integralberechnung über die Funktion `doubleDlpSwapped` realisiert. Andernfalls wird die Funktion `doubleDlp` verwendet um die Integrale zu berechnen.

Listing 24: computeKP1S2ijAnalytic

```

746 double computeKP1S2ijAnalytic(double a0, double a1, double b0, double b1,
747     double c0, double c1, double d0, double d1, int tfun, int afun, int swap) {
748
749     double val = 0.0;
750
751     int i=0;
752     int j=0;
753     int A_eq_D = 0, B_eq_C = 0;
754
755     double u[2] = {0.,0.}, v[2] = {0.,0.}, w[2] = {0.,0.};
756
757     double hi = (b0-a0)*(b0-a0) + (b1-a1)*(b1-a1);
758     double hj = (d0-c0)*(d0-c0) + (d1-c1)*(d1-c1);
759
760     u[0] = a0-b0; u[1] = a1-b1;
761     v[0] = d0-c0; v[1] = d1-c1;
762     w[0] = c0+d0-a0-b0; w[1] = c1+d1-a1-b1;
763
764     /* Check if A==D || B == C */
765     if(a0 == d0 && a1 == d1)
766         A_eq_D = 1;
767     if(b0 == c0 && b1 == c1)
768         B_eq_C = 1;
769
770     /* Check if segments were swapped */
771     if(swap) {
772         if( tfun==0 && afun==2) {
773             val = -0.0625/M_PI * sqrt(hi*hj) *
774                 (doubleDlpSwapped(0,0,v,u,w,A_eq_D,B_eq_C) -
775                 doubleDlpSwapped(2,0,v,u,w,A_eq_D,B_eq_C) );
776         }
777         else if( tfun==1 && afun==2) {
778             val = -0.0625/M_PI * sqrt(hi*hj) *
779                 (doubleDlpSwapped(0,1,v,u,w,A_eq_D,B_eq_C) -
780                 doubleDlpSwapped(2,1,v,u,w,A_eq_D,B_eq_C) );
781         }
782         else if( tfun == 1 && afun == 0)
783             val = -0.125/M_PI * sqrt(hi*hj) * doubleDlpSwapped(0,1,v,u,w,A_eq_D,B_eq_C);
784         else if( tfun ==1 && afun == 1)
785             val = -0.125/M_PI * sqrt(hi*hj) * doubleDlpSwapped(1,1,v,u,w,A_eq_D,B_eq_C);

```

```

786
787 }
788 else {
789     if( tfun==0 && afun==2 ) {
790         val = -0.0625/M_PI * sqrt(hi*hj) * (doubleDlp(0,0,u,v,w,A_eq_D,B_eq_C) -
791         doubleDlp(0,2,u,v,w,A_eq_D,B_eq_C) );
792     }
793     else if( tfun ==1 && afun==2) {
794         val = -0.0625/M_PI * sqrt(hi*hj) * (doubleDlp(1,0,u,v,w,A_eq_D,B_eq_C) -
795         doubleDlp(1,2,u,v,w,A_eq_D,B_eq_C) );
796     }
797     else if( tfun == 1 && afun == 0)
798         val = -0.125/M_PI * sqrt(hi*hj) * doubleDlp(1,0,u,v,w,A_eq_D,B_eq_C);
799     else if ( tfun ==1 && afun == 1)
800         val = -0.125/M_PI * sqrt(hi*hj) * doubleDlp(1,1,u,v,w,A_eq_D,B_eq_C);
801 }
802 return val;
803 }

```

4.2.11 computeKP1S2ijSemianalytic

Die Funktion berechnet die Integrale (4.16) für $m = 2$ und $\ell \in \{0, 1\}$ und (4.17) für $m \in \{0, 1\}$ und $\ell = 1$ semianalytisch. An dieser Stelle möchten wir nochmals hervorheben, dass in beiden Fällen das innere Integral dem Integral über T_j und das äußere dem Integral über T_i entspricht. Die Darstellungen (4.16) und (4.17) sind dann durch Transformation entstanden. Für den Fall $\text{diam}(T_i) \leq \text{diam}(T_j)$ werden die inneren Integrale über T_j exakt berechnet und die äußeren Integrale über das kürzere Randstück T_i mittels Quadratur approximiert. Für $m = 2$ und $\ell \in \{0, 1\}$ wird also

$$-\frac{\text{diam}(T_i)\text{diam}(T_j)}{32\pi} \sum_{k=0}^p \omega_k z_k^\ell \int_{-1}^1 \frac{(\gamma_j(t) - \gamma_i(z_k)) \cdot n(\gamma_j(t))}{|\gamma_i(z_k) - \gamma_j(t)|^2} (1-t^2) dt$$

berechnet. Für $m \in \{0, 1\}$ und $\ell = 1$ wird

$$-\frac{\text{diam}(T_i)\text{diam}(T_j)}{16\pi} \sum_{k=0}^p \omega_k z_k \int_{-1}^1 \frac{(\gamma_j(t) - \gamma_i(z_k)) \cdot n(\gamma_j(t))}{|\gamma_i(z_k) - \gamma_j(t)|^2} t^m dt$$

berechnet. Für den Fall, dass $\text{diam}(T_i) > \text{diam}(T_j)$ werden die Integrale vertauscht und das innere Integral über T_i wird nun exakt berechnet wohingegen das äußere Integral über T_j durch Quadratur ersetzt wird. Für $m = 2$ und $\ell \in \{0, 1\}$ wird also

$$-\frac{\text{diam}(T_i)\text{diam}(T_j)}{32\pi} \sum_{k=0}^p \omega_k (1-z_k^2) \int_{-1}^1 \frac{(\gamma_j(z_k) - \gamma_i(s)) \cdot n(\gamma_j(z_k))}{|\gamma_i(s) - \gamma_j(z_k)|^2} s^\ell ds$$

berechnet. Für $m \in \{0, 1\}$ und $\ell = 1$ wird

$$-\frac{\text{diam}(T_i)\text{diam}(T_j)}{16\pi} \sum_{k=0}^p \omega_k z_k^m \int_{-1}^1 \frac{(\gamma_j(z_k) - \gamma_i(s)) \cdot n(\gamma_j(z_k))}{|\gamma_i(s) - \gamma_j(z_k)|^2} s ds$$

berechnet. In allen Fällen gilt $p = \text{GAUSS_ORDER} - 1$.

Listing 25: computeKP1S2ijSemianalytic

```

632 double computeKP1S2ijSemianalytic(double a0, double a1, double b0, double b1,
633     double c0, double c1, double d0, double d1, int tfun, int afun, int swap) {
634
635     double val = 0.0;

```

```

636
637 double hi = (b0-a0)*(b0-a0) + (b1-a1)*(b1-a1);
638 double hj = (d0-c0)*(d0-c0) + (d1-c1)*(d1-c1);
639
640 int i = 0;
641 double n[2], u[2], v[2], w[2], z[2];
642 double dot_z_n=0.0;
643 double dot_u_n=0.0;
644 double dot_w_n=0.0;
645
646 /* 16 point Gauss quadr on [-1,1] */
647 const int order = 16;
648 const double* gauss_weight = getGaussWeights(order);
649 const double* gauss_point = getGaussPoints(order);
650
651 n[0] = (d1-c1)/sqrt(hj); n[1] = (c0-d0)/sqrt(hj);
652 u[0] = a0-b0; u[1] = a1-b1;
653 v[0] = d0-c0; v[1] = d1-c1;
654 w[0] = c0+d0-a0-b0; w[1] = c1+d1-a1-b1;
655
656 dot_u_n = u[0]*n[0]+u[1]*n[1];
657 dot_w_n = w[0]*n[0]+w[1]*n[1];
658
659 if(swap) { /* Aufpassen! hier werden u und v getauscht!! */
660     if(tfun==0 && afun ==2) {
661         for(i=0; i<order; ++i) {
662             z[0] = gauss_point[i]*v[0]+w[0];
663             z[1] = gauss_point[i]*v[1]+w[1];
664
665             val += gauss_weight[i]*(1-gauss_point[i]*gauss_point[i]) *
666                 (dot_u_n*d1p(1,u,z) + dot_w_n*d1p(0,u,z));
667         }
668         val = -0.0625/M_PI*sqrt(hi*hj)*val;
669     }
670     else if(tfun==1 && afun ==2) {
671         for(i=0; i<order; ++i) {
672             z[0] = gauss_point[i]*v[0]+w[0];
673             z[1] = gauss_point[i]*v[1]+w[1];
674
675             val += gauss_weight[i]*(1-gauss_point[i]*gauss_point[i]) *
676                 (dot_u_n*d1p(2,u,z) + dot_w_n*d1p(1,u,z));
677         }
678         val = -0.0625/M_PI*sqrt(hi*hj)*val;
679     }
680     else if(tfun==1 && afun ==0) {
681         for(i=0; i<order; ++i) {
682             z[0] = gauss_point[i]*v[0]+w[0];
683             z[1] = gauss_point[i]*v[1]+w[1];
684
685             val += gauss_weight[i]*
686                 (dot_u_n*d1p(2,u,z) + dot_w_n*d1p(1,u,z));
687         }
688         val = -0.125/M_PI*sqrt(hi*hj)*val;
689     }
690     else if(tfun==1 && afun ==1) {
691         for(i=0; i<order; ++i) {
692             z[0] = gauss_point[i]*v[0]+w[0];
693             z[1] = gauss_point[i]*v[1]+w[1];
694
695             val += gauss_weight[i]*gauss_point[i]*
696                 (dot_u_n*d1p(2,u,z) + dot_w_n*d1p(1,u,z));
697         }
698         val = -0.125/M_PI*sqrt(hi*hj)*val;
699     }
700 }
701 else {
702     if(tfun==0 && afun ==2) {
703         for(i=0; i<order; ++i) {
704             z[0] = gauss_point[i]*u[0]+w[0];
705             z[1] = gauss_point[i]*u[1]+w[1];
706             dot_z_n = z[0]*n[0]+z[1]*n[1];
707
708             val += gauss_weight[i]*dot_z_n*(d1p(0,v,z)-d1p(2,v,z));
709         }

```



```

710     val = -1/(16*M_PI)*sqrt(hi*hj)*val;
711 }
712 else if(tfun==1 && afun==2) {
713     for(i=0; i<order; ++i) {
714         z[0] = gauss_point[i]*u[0]+w[0];
715         z[1] = gauss_point[i]*u[1]+w[1];
716         dot_z_n = z[0]*n[0]+z[1]*n[1];
717
718         val += gauss_weight[i]*gauss_point[i]*dot_z_n*( dlp(0,v,z)-dlp(2,v,z));
719     }
720     val = -1/(16*M_PI)*sqrt(hi*hj)*val;
721 }
722 else if(tfun==1 && afun ==0) {
723     for(i=0; i<order; ++i) {
724         z[0] = gauss_point[i]*u[0]+w[0];
725         z[1] = gauss_point[i]*u[1]+w[1];
726         dot_z_n = z[0]*n[0]+z[1]*n[1];
727
728         val += gauss_weight[i]*gauss_point[i]*dot_z_n* dlp(0,v,z);
729     }
730     val = -1/(8*M_PI)*sqrt(hi*hj)*val;
731 }
732 else if(tfun==1 && afun ==1) {
733     for(i=0; i<order; ++i) {
734         z[0] = gauss_point[i]*u[0]+w[0];
735         z[1] = gauss_point[i]*u[1]+w[1];
736         dot_z_n = z[0]*n[0]+z[1]*n[1];
737
738         val += gauss_weight[i]*gauss_point[i]*dot_z_n* dlp(1,v,z);
739     }
740     val = -1/(8*M_PI)*sqrt(hi*hj)*val;
741 }
742 }
743 return val;
744 }

```

4.2.12 computeKP1S2ijFullQuadrature

Die Funktion berechnet die Integrale (4.16) für $m = 2$ und $\ell \in \{0, 1\}$ und (4.17) für $m \in \{0, 1\}$ und $\ell = 1$, wobei alle Integrale mittels Gauß-Quadratur approximiert werden. Für $m = 2$ und $\ell \in \{0, 1\}$ wird also

$$-\frac{\text{diam}(T_i)\text{diam}(T_j)}{32\pi} \sum_{k=0}^p \sum_{h=0}^p \omega_k \omega_h z_k^\ell (1 - z_h^2) \frac{(\gamma_j(z_h) - \gamma_i(z_k)) \cdot n(\gamma_j(z_h))}{|\gamma_i(z_k) - \gamma_j(z_h)|^2}$$

berechnet. Für $m \in \{0, 1\}$ und $\ell = 1$ wird

$$-\frac{\text{diam}(T_i)\text{diam}(T_j)}{16\pi} \sum_{k=0}^p \sum_{h=0}^p \omega_k \omega_h z_k z_h^m \frac{(\gamma_j(z_h) - \gamma_i(z_k)) \cdot n(\gamma_j(z_h))}{|\gamma_i(z_k) - \gamma_j(z_h)|^2}$$

berechnet. Dabei gilt $p = \text{GAUSS_ORDER} - 1$.

Listing 26: computeKP1S2ijFullQuadrature

```

900 double computeKP1S2ijFullQuadrature(double a0, double a1, double b0,
901     double b1, double c0, double c1, double d0, double d1, int tfun,
902     int afun, int swap) {
903     /* tfun - Ordnung der P-Funktionen */
904     /* afun - Ordnung der S-Funktionen */
905
906     double val = 0.0;
907
908     double hi = (b0-a0)*(b0-a0) + (b1-a1)*(b1-a1);
909     double hj = (d0-c0)*(d0-c0) + (d1-c1)*(d1-c1);
910

```

```

911 int i = 0, k = 0;
912 double n[2], u[2], v[2], w[2], z[2], r[2];
913 double dot_z_n=0.0;
914 double dot_u_n=0.0;
915 double dot_w_n=0.0;
916
917 /* 16 point Gauss quadr on [-1,1] */
918 const int order = 16;
919 const double* gauss_weight = getGaussWeights(order);
920 const double* gauss_point = getGaussPoints(order);
921
922 n[0] = (d1-c1)/sqrt(hj); n[1] = (c0-d0)/sqrt(hj);
923 u[0] = a0-b0; u[1] = a1-b1;
924 v[0] = d0-c0; v[1] = d1-c1;
925 w[0] = c0+d0-a0-b0; w[1] = c1+d1-a1-b1;
926
927 if(tfun==0 && afun ==2) {
928     for(i=0; i<order; ++i) {
929         z[0] = gauss_point[i]*u[0]+w[0];
930         z[1] = gauss_point[i]*u[1]+w[1];
931         dot_z_n = z[0]*n[0]+z[1]*n[1];
932
933         for(k=0; k<order; ++k) {
934             r[0] = w[0]+gauss_point[k]*v[0]+gauss_point[i]*u[0];
935             r[1] = w[1]+gauss_point[k]*v[1]+gauss_point[i]*u[1];
936
937             val += gauss_weight[i]*gauss_weight[k]*dot_z_n*
938                 (1-gauss_point[k]*gauss_point[k])/(r[0]*r[0]+r[1]*r[1]);
939         }
940     }
941     val = -1/(16*M_PI)*sqrt(hi*hj)*val;
942 }
943 else if(tfun==1 && afun==2) {
944     for(i=0; i<order; ++i) {
945         z[0] = gauss_point[i]*u[0]+w[0];
946         z[1] = gauss_point[i]*u[1]+w[1];
947         dot_z_n = z[0]*n[0]+z[1]*n[1];
948
949         for(k=0; k<order; ++k) {
950             r[0] = w[0]+gauss_point[k]*v[0]+gauss_point[i]*u[0];
951             r[1] = w[1]+gauss_point[k]*v[1]+gauss_point[i]*u[1];
952
953             val += gauss_weight[i]*gauss_point[i]*gauss_weight[k]*dot_z_n*
954                 (1-gauss_point[k]*gauss_point[k])/(r[0]*r[0]+r[1]*r[1]);
955         }
956     }
957     val = -1/(16*M_PI)*sqrt(hi*hj)*val;
958 }
959 else if(tfun==1 && afun ==0) {
960     for(i=0; i<order; ++i) {
961         z[0] = gauss_point[i]*u[0]+w[0];
962         z[1] = gauss_point[i]*u[1]+w[1];
963         dot_z_n = z[0]*n[0]+z[1]*n[1];
964
965         for (k=0;k<order;++k) {
966             r[0] = w[0]+gauss_point[k]*v[0]+gauss_point[i]*u[0];
967             r[1] = w[1]+gauss_point[k]*v[1]+gauss_point[i]*u[1];
968
969             val += gauss_weight[i]*gauss_weight[k]*gauss_point[i]*dot_z_n/
970                 (r[0]*r[0]+r[1]*r[1]);
971         }
972     }
973     val = -1/(8*M_PI)*sqrt(hi*hj)*val;
974 }
975 else if(tfun==1 && afun ==1) {
976     for(i=0; i<order; ++i) {
977         z[0] = gauss_point[i]*u[0]+w[0];
978         z[1] = gauss_point[i]*u[1]+w[1];
979         dot_z_n = z[0]*n[0]+z[1]*n[1];
980
981         for (k=0;k<order;++k) {
982             r[0] = w[0]+gauss_point[k]*v[0]+gauss_point[i]*u[0];
983             r[1] = w[1]+gauss_point[k]*v[1]+gauss_point[i]*u[1];
984

```

```

985         val += gauss_weight[i]*gauss_weight[k]*gauss_point[i]*
986             gauss_point[k]*dot_z_n/(r[0]*r[0]+r[1]*r[1]);
987     }
988 }
989     val = -1/(8*M_PI)*sqrt(hi*hj)*val;
990 }
991 return val;
992 }

```

4.2.13 dlp

Die Funktion berechnet für $k \in \mathbb{N}_0$ und $\mathbf{p}, \mathbf{q} \in \mathbb{R}^2$ das Integral

$$\int_{-1}^1 \frac{t^k}{|t\mathbf{p} + \mathbf{q}|} dt.$$

Für Details zur Berechnung möchten wir auf [10, Lemma 2.1] verweisen.

Listing 27: dlp

```

23 double dlp(int k, double* p, double* q) {
24     double a = p[0]*p[0]+p[1]*p[1];           /* a = |p|^2 */
25     double b = 2*( p[0]*q[0]+p[1]*q[1] );     /* b = 2*<p,q> */
26     double c = q[0]*q[0]+q[1]*q[1];         /* c = |q|^2 */
27     double D = 4*a*c-b*b;
28     double root_D = 0.0;
29     double c_minus_a = c-a;
30     double G0 = 0.0;
31     double G1 = 0.0;
32
33     double Gn = 0.0;
34
35     assert(D>=-EPS*4*a*c);
36     if(D > EPS*4*a*c)
37         root_D = sqrt(D);
38     else
39         D=0.0;
40
41     if(D==0.0){
42         G0 = 2./c_minus_a;
43     }
44     else {
45         if(fabs(c_minus_a)<EPS*fabs(c))
46             G0 = M_PI/root_D;
47
48         else if(a<c)
49             G0 = 2.*atan(root_D/c_minus_a)/root_D;
50
51         else
52             G0 = 2.*(atan(root_D/c_minus_a)+M_PI)/root_D;
53     }
54     if(k>=1){
55         G1 = -b*G0;
56         if(a+b+c>EPS*a)
57             G1 += log(a+b+c);
58
59         if(a-b+c>EPS*a)
60             G1 -= log(a-b+c);
61
62         G1 /= (2.*a);
63
64         if(k==2)
65             return (2.-b*G1-c*G0)/a;
66         else if(k>2) {
67             Gn = -b*dlp(k-1,p,q) - c*dlp(k-2,p,q);
68             if(k % 2 == 0)
69                 return (2.0/(1.0+k)+Gn)/a;
70             else /* k ungerade */
71                 return Gn/a;

```

```

72     }
73     return G1;
74 }
75
76     return G0;
77 }

```

4.2.14 doubleDlp

Die Funktion berechnet

$$\int_{-1}^1 \int_{-1}^1 s^{k\ell} \frac{(w + su) \cdot n_v}{|w + su + tv|^2} dt ds \quad \text{für } k, \ell \in \mathbb{N}_0 \text{ und } u, v, w \in \mathbb{R}^2.$$

Für Details möchten wir auch hier auf [10, Lemma 3.1] verweisen.

Listing 28: doubleDlp

```

376 double doubleDlp(int k, int l, double* u, double* v, double* w, int A_eq_D, int
377 B_eq_C) {
378     double val = 0.0;
379
380     double lambda=0.0, mu=0.0, det=0.0;
381
382     double n[2]={0.0,0.0};
383     double w_plus_u[2]={0.0,0.0}, w_minus_u[2]={0.0,0.0};
384     double w_plus_v[2]={0.0,0.0}, w_minus_v[2]={0.0,0.0};
385
386     double dot_u_n=0.0, dot_w_n=0.0;
387     double dot_w_plus_u_n=0.0, dot_w_minus_u_n=0.0;
388
389     double hi = u[0]*u[0] + u[1]*u[1];
390     double hj = v[0]*v[0] + v[1]*v[1];
391
392     int mk = (k % 2 == 0) ? 1 : -1; /* if (-1)^k = 1 if k is even */
393     int ml = (l % 2 == 0) ? 1 : -1;
394
395     n[0] = v[1]/sqrt(hj);
396     n[1] = -v[0]/sqrt(hj);
397
398     w_plus_u[0] = w[0] + u[0];           w_plus_u[1] = w[1] + u[1];
399     w_minus_u[0] = w[0] - u[0];        w_minus_u[1] = w[1] - u[1];
400     w_plus_v[0] = w[0] + v[0];         w_plus_v[1] = w[1] + v[1];
401     w_minus_v[0] = w[0] - v[0];        w_minus_v[1] = w[1] - v[1];
402
403     dot_u_n = u[0]*n[0] + u[1]*n[1];
404     dot_w_n = w[0]*n[0] + w[1]*n[1];
405     dot_w_plus_u_n = w_plus_u[0]*n[0] + w_plus_u[1]*n[1];
406     dot_w_minus_u_n = w_minus_u[0]*n[0] + w_minus_u[1]*n[1];
407
408     det = u[0]*v[1] - u[1]*v[0];
409
410     /* u,v linearly dependent */
411     if(fabs(det) <= EPS*sqrt(hi*hj)) {
412         if(fabs(u[0])>fabs(u[1]))
413             mu = v[0]/u[0];
414         else
415             mu = v[1]/u[1];
416         if(fabs(dot_w_n) < EPS) { /* Hier muesste man auch checken koennen ob mu==1?*/
417             val = 0.0;
418         }
419     }
420     else
421         val = dot_w_n*( dlp(k,u,w_plus_v) + ml*dlp(k,u,w_minus_v) +
422             mu*(mk*dlp(l+1,v,w_minus_u)-dlp(l+1,v,w_plus_u)) );
423
424     if(k==0)
425         return val/( 1.0 + l );
426     else
427         return (val+k*mu*doubleDlp(k-1,l+1,u,v,w,A_eq_D,B_eq_C))/(1.0 + l);

```

```

428 else {
429     if(A_eq_D) {
430         val = 2*( dot_w_plus_u_n*dlp(1,v,w_plus_u) +
431             ml*(dot_u_n*dlp(k+1,u,w_minus_v) + dot_w_n*dlp(k,u,w_minus_v)));
432         if(k==0 && l==0)
433             return val;
434         else if(k==0)
435             return (val+l*doubleDlp(k,l-1,u,v,w,A_eq_D,B_eq_C))/(1.0+l);
436         else if(l==0)
437             return (val-k*doubleDlp(k-1,l,u,v,w,A_eq_D,B_eq_C))/(1.0+k+1);
438         else {
439             val = val - k*doubleDlp(k-1,l,u,v,w,A_eq_D,B_eq_C)
440                 + l*doubleDlp(k,l-1,u,v,w,A_eq_D,B_eq_C);
441             return val/(1.0+k+1);
442         }
443     }
444     else if(B_eq_C) {
445         val = 2*( mk*dot_w_minus_u_n*dlp(1,v,w_minus_u) +
446             dot_u_n*dlp(k+1,u,w_plus_v)+dot_w_n*dlp(k,u,w_plus_v));
447         if(k==0 && l==0)
448             return val;
449         else if(k==0)
450             return (val-l*doubleDlp(k,l-1,u,v,w,A_eq_D,B_eq_C))/(1.0+l);
451         else if(l==0)
452             return (val+k*doubleDlp(k-1,l,u,v,w,A_eq_D,B_eq_C))/(1.0+k);
453         else {
454             val = val + k*doubleDlp(k-1,l,u,v,w,A_eq_D,B_eq_C)
455                 - l*doubleDlp(k,l-1,u,v,w,A_eq_D,B_eq_C);
456             return val/(1.0+k+1);
457         }
458     }
459     else {
460         mu = (w[0]*v[1]-w[1]*v[0])/det;
461         /*mu = dot_w_n/dot_u_n;*/
462         lambda = (u[0]*w[1]-u[1]*w[0])/det;
463         /*lambda = (u[0]*w[1]-u[1]*w[0])/(u[0]*v[1]-u[1]*v[0]);*/
464
465         val = (mu+1.0)*dot_w_plus_u_n*dlp(1,v,w_plus_u)
466             - mk*(mu-1.0)*dot_w_minus_u_n*dlp(1,v,w_minus_u) + (lambda+1.0) *
467             ( dot_u_n*dlp(k+1,u,w_plus_v) + dot_w_n*dlp(k,u,w_plus_v))
468             -ml*(lambda-1)*(dot_u_n*dlp(k+1,u,w_minus_v)
469             +dot_w_n*dlp(k,u,w_minus_v));
470
471         if(k==0 && l==0)
472             return val;
473         else if(k==0)
474             return (val-l*lambda*doubleDlp(k,l-1,u,v,w,A_eq_D,B_eq_C))/(1.0+l);
475         else if(l==0)
476             return (val-k*mu*doubleDlp(k-1,l,u,v,w,A_eq_D,B_eq_C))/(1.0+k);
477         else {
478             val = val - k*mu*doubleDlp(k-1,l,u,v,w,A_eq_D,B_eq_C)
479                 - l*lambda*doubleDlp(k,l-1,u,v,w,A_eq_D,B_eq_C);
480             return val/(1.0+k+1);
481         }
482     }
483 }
484 }

```

4.2.15 doubleDlpSwapped

Im Vergleich zu `doubleDlp` berechnet die Funktion

$$\int_{-1}^1 \int_{-1}^1 s^k t^\ell \frac{(w + tv) \cdot n_u}{|w + su + tv|^2} dt ds \quad \text{für } k, \ell \in \mathbb{N}_0 \text{ und } u, v, w \in \mathbb{R}^2.$$

Dabei wurden die Rollen der Vektoren u und v vertauscht. Die tatsächliche Berechnung läuft dann wieder ähnlich wie bei der Funktion `doubleDlp` ab.

Listing 29: `doubleDlpSwapped`

```

486 double doubleDlpSwapped(int k, int l, double* u, double* v, double* w,
487     int A_eq_D, int B_eq_C) {
488     double val = 0.0;
489
490     double lambda=0.0, mu=0.0, det=0.0;
491
492     double n[2]={0.0,0.0};
493     double w_plus_u[2]={0.0,0.0}, w_minus_u[2]={0.0,0.0};
494     double w_plus_v[2]={0.0,0.0}, w_minus_v[2]={0.0,0.0};
495
496     double dot_v_n=0.0, dot_w_n=0.0;
497     double dot_w_plus_v_n=0.0, dot_w_minus_v_n=0.0;
498
499     double hi = u[0]*u[0] + u[1]*u[1];
500     double hj = v[0]*v[0] + v[1]*v[1];
501
502     int mk = (k % 2 == 0) ? 1 : -1; /* if (-1)^k = 1 if k is even */
503     int ml = (l % 2 == 0) ? 1 : -1;
504
505     n[0] = u[1]/sqrt(hi); n[1] = -u[0]/sqrt(hi);
506
507     w_plus_u[0] = w[0] + u[0];          w_plus_u[1] = w[1] + u[1];
508     w_minus_u[0] = w[0] - u[0];       w_minus_u[1] = w[1] - u[1];
509     w_plus_v[0] = w[0] + v[0];        w_plus_v[1] = w[1] + v[1];
510     w_minus_v[0] = w[0] - v[0];       w_minus_v[1] = w[1] - v[1];
511
512     dot_v_n = v[0]*n[0] + v[1]*n[1];
513     dot_w_n = w[0]*n[0] + w[1]*n[1];
514     dot_w_plus_v_n = w_plus_v[0]*n[0] + w_plus_v[1]*n[1];
515     dot_w_minus_v_n = w_minus_v[0]*n[0] + w_minus_v[1]*n[1];
516
517     det = u[0]*v[1] - u[1]*v[0];
518
519     /* u,v linearly dependent */
520     if(fabs(det) <= EPS*sqrt(hi*hj)) {
521         if(fabs(u[0])>fabs(u[1]))
522             mu = v[0]/u[0];
523         else
524             mu = v[1]/u[1];
525         if(fabs(dot_w_n) < EPS) { /* Hier muesste man auch checken koennen ob mu==1?*/
526             val = 0.0;
527         }
528         else
529             val = dot_w_n*( dlp(k,u,w_plus_v) + ml*dlp(k,u,w_minus_v) +
530                 mu*(mk*dlp(l+1,v,w_minus_u)-dlp(l+1,v,w_plus_u)) );
531
532         if(k==0)
533             return val/( 1.0 + l );
534         else
535             return (val+k*mu*doubleDlpSwapped(k-1,l+1,u,v,w,A_eq_D,B_eq_C))/(1.0 + l);
536     }
537     else {
538         if(A_eq_D) {
539             val = 2*(mk*(dot_v_n*dlp(l+1,v,w_minus_u) + dot_w_n*dlp(l,v,w_minus_u))
540                 + dot_w_plus_v_n*dlp(k,u,w_plus_v) );
541             if(k==0 && l==0)
542                 return val;
543             else if(k==0)
544                 return (val - l*doubleDlpSwapped(k,l-1,u,v,w,A_eq_D,B_eq_C))/(1.0+l);
545             else if(l==0)
546                 return (val + k*doubleDlpSwapped(k-1,l,u,v,w,A_eq_D,B_eq_C))/(1.0+k);
547             else {
548                 val = val + k*doubleDlpSwapped(k-1,l,u,v,w,A_eq_D,B_eq_C)
549                     - l*doubleDlpSwapped(k,l-1,u,v,w,A_eq_D,B_eq_C);
550                 return val/(1.0+k+l);
551             }
552         }
553         else if(B_eq_C) {
554             val = 2*(dot_v_n*dlp(l+1,v,w_plus_u) + dot_w_n*dlp(l,v,w_plus_u) +
555                 ml*dot_w_minus_v_n*dlp(k,u,w_minus_v) );
556             if(k==0 && l==0)
557                 return val;
558             else if(k==0)
559                 return (val + l*doubleDlpSwapped(k,l-1,u,v,w,A_eq_D,B_eq_C))/(1.0+l);

```

```

560     else if(l==0)
561         return (val -k*doubleDlpSwapped(k-1,l,u,v,w,A_eq_D,B_eq_C))/(1.0+k);
562     else {
563         val = val - k*doubleDlpSwapped(k-1,l,u,v,w,A_eq_D,B_eq_C)
564             + l*doubleDlpSwapped(k,l-1,u,v,w,A_eq_D,B_eq_C);
565         return val/(1.0+k+1);
566     }
567 }
568 else {
569     mu = (w[0]*v[1]-w[1]*v[0])/det;
570     /*mu = dot_w_n/dot_u_n;*/
571     lambda = (u[0]*w[1]-u[1]*w[0])/det;
572     /*lambda = (u[0]*w[1]-u[1]*w[0])/(u[0]*v[1]-u[1]*v[0]);*/
573
574     val = (mu+1.0)*(dot_v_n*dlp(l+1,v,w_plus_u) + dot_w_n*dlp(l,v,w_plus_u) )
575         - mk*(mu-1.0)*(dot_v_n*dlp(l+1,v,w_minus_u) + dot_w_n*dlp(l,v,w_minus_u) )
576         + (lambda+1.0)*dot_w_plus_v_n*dlp(k,u,w_plus_v)
577         - ml*(lambda-1.0)*dot_w_minus_v_n*dlp(k,u,w_minus_v);
578
579     if(k==0 && l==0)
580         return val;
581     else if(k==0)
582         return (val -l*lambda*doubleDlpSwapped(k,l-1,u,v,w,A_eq_D,B_eq_C))/(1.0+l);
583     else if(l==0)
584         return (val -k*mu*doubleDlpSwapped(k-1,l,u,v,w,A_eq_D,B_eq_C))/(1.0+k);
585     else {
586         val = val - k*mu*doubleDlpSwapped(k-1,l,u,v,w,A_eq_D,B_eq_C)
587             - l*lambda*doubleDlpSwapped(k,l-1,u,v,w,A_eq_D,B_eq_C);
588         return val/(1.0+k+1);
589     }
590 }
591 }
592 }

```

Literatur

- [1] MAYR MARKUS: *Stabile Implementierung der Randelementmethode auf stark adaptierten Netzen*, Bachelorarbeit, 2010.
- [2] BÖRM STEFFEN und GRASEDYCK LARS: *Low-Rank Approximation of Integral Operators by Interpolation*, Computing 72, 325-32, Springer-Verlag, 2004.
- [3] BÖRM STEFFEN, LÖHNDORF MAIKE und MELENK JENS MARKUS: *Approximation of integral operators by variable-order interpolation*, Numer. Math., 99(4):605-643, 2005.
- [4] PLATO ROBERT: *Numerische Mathematik kompakt*, Vieweg+Teubner Verlag, 2010.
- [5] KALTENBÄCK MICHAEL: *Analysis 3 für Technische Mathematik, WS 2012/2013*, Vorlesungsskriptum, Technische Universität Wien, 2012.
- [6] AUZINGER WINFRIED, KOCH OTHMAR und PRAETORIUS DIRK: *Numerische Mathematik*, Vorlesungsskriptum, Technische Universität Wien, 2012.
- [7] RIVLIN J. THEODORE: *The Chebyshev Polynomials*, John Wiley & Sons, 1974.
- [8] KÖNIGSBERGER KONRAD: *Analysis 2*, Springer-Verlag, 2004
- [9] PRAETORIUS DIRK: *Introduction to Boundary Element Method*, Technische Universität Wien, 2007.
- [10] MAISCHAK MATTHIAS: *The analytical computation of the Galerkin elements for the Laplace, Lamé and Helmholtz equation in 2D-BEM*, Institut für Angewandte Mathematik, Leibnitz Universität Hannover, 2001.
- [11] AURADA MARKUS, EBNER MICHAEL, FEISCHL MICHAEL, FERRAZ-LEITE SAMUEL, FÜHRER THOMAS, GOLDENITS PETRA, KARKULIK MICHAEL, MAYR MARKUS, und PRAETORIUS DIRK: *A MATLAB implementation of adaptive 2D-BEM*, ASC Report, 24/2011, Technische Universität Wien, 2011.
- [12] AURADA MARKUS, EBNER MICHAEL, FEISCHL MICHAEL, FERRAZ-LEITE SAMUEL, FÜHRER THOMAS, GOLDENITS PETRA, KARKULIK MICHAEL, MAYR MARKUS, und PRAETORIUS DIRK: *Hilbert (Release 3): A Matlab implementation of adaptive BEM*, <http://www.asc.tuwien.ac.at/abem/hilbert/>, 2013.
- [13] HENRY O. JACOBS: *How to stare at the higher-order n-dimensional chain rule without losing your marbles*, arXiv:1410.3493v3 [math.CA]
- [14] CARSTENSEN CARSTEN, FAERMANN BIRGIT: *Mathematical foundation of a posteriori error estimates and adaptive mesh-refining algorithms for boundary integral equations of the first kind*, Elsevier Science Ltd., 2001.
- [15] HACKBUSCH WOLFGANG *Hierarchische Matrizen*, Springer-Verlag Berlin Heidelberg, 2009.